

131220

**SPRAY PYROLYSIS YÖNTEMİ İLE ELDE EDİLEN  
Zn İLAVELİ CuInS<sub>2</sub> FILMLERİNİN BAZI FİZİKSEL  
ÖZELLİKLERİ**

Başar ALTIOKKA  
Yüksek Lisans Tezi

Fen Bilimleri Enstitüsü  
Fizik Anabilim Dalı  
Eylül – 2003

**Y.O. YÜKSEKÖĞRETİM KURULU  
DOKÜMAN ATŞÜV MƏMƏLİZİ**

131220

## JÜRİ VE ENSTİTÜ ONAYI

**Barış Altıokka'ın Spray Pyrolysis Yöntemi İle Elde Edilen Zn İlaveli CuInS<sub>2</sub> Filmlerinin Bazı Fiziksel Özellikleri başlıklı Fizik Anabilim Dalındaki, Yüksek Lisans tezi. 19.09.03 tarihinde, aşağıdaki jüri tarafından Anadolu Üniversitesi Lisansüstü Eğitim-Öğretim ve Sınav Yönetmeliğinin ilgili maddeleri uyarınca değerlendirilerek kabul edilmiştir.**

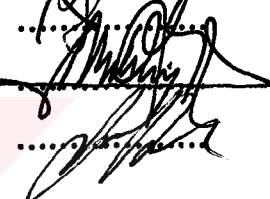
Adı-Soyadı

Üye (Tez Danışmanı) : Yrd.Doç.Dr. SABIHA AKSAY

Üye : Prof.Dr. MUHSİN ZOR

Üye : Yrd.Doç.Dr. ŞENOL AYBEK

İmza



Anadolu Üniversitesi Fen Bilimleri Enstitüsü Yönetim Kurulu'nun  
24.09.2003.. tarih ve 31/4... sayılı kararıyla onaylanmıştır.

  
Enstitü Müdürü  
Prof. Dr. Osman ÖZER  
Fen Bilimleri Enstitüsü  
Müdürlü

## ÖZET

### Yüksek Lisans Tezi

### SPRAY PYROLYSIS YÖNTEMİ İLE ELDE EDİLEN Zn İLAVELİ CuInS<sub>2</sub> FİMLERİN BAZI FİZİKSEL ÖZELLİKLERİ

BARIŞ ALTIOOKKA

Anadolu Üniversitesi  
Fen Bilimleri Enstitüsü  
Fizik Anabilim Dalı

Danışman: Yrd.Doç.Dr.Sabiha AKSAY

2003, 103 sayfa

Bu çalışmada, CuInS<sub>2</sub> yarıiletken bileşiği içerisinde %10-50 arasında değişen oranlarda Zn ilave edilerek Cu(Zn)InS<sub>2</sub> filmlerinin bazı fizikalî özellikleri incelenmiştir. Filmler spray pyrolysis yöntemiyle 225-275 °C taban sıcaklıklarında elde edilmiştir. Elde edilen filmlerin p-tipi oldukları ve yasak enerji aralığı değerlerinin 1,51-2,70 eV arasında değiştiği belirlenmiştir. Temel absorpsiyon spektrumlarından geçirgenlik, yansima, kırılma indisleri, sönüüm katsayısı ve dielektrik sabitleri grafikleri çizilmiştir. X-ışını kırınım desenlerinden filmlerin chalcopyrite ve hezagonal yapıda oldukları saptanmıştır. Taramalı elektron mikroskopu (SEM) fotoğraflarından yüzey morfolojileri incelenmiştir ve filmelerin hemen hemen homojen yapıda oldukları görülmüştür.

**Anahtar Kelimeler:** CuInS<sub>2</sub>, Yarıiletken, Spray Pyrolysis, Temel Absorpsiyon, Chalcopyrite

**ABSTRACT****Master of Science Thesis****SOME PHYSICAL CHARACTERISTICS OF Zn ADDED CuInS<sub>2</sub> FILMS  
PRODUCED BY SPRAY PYROLYSIS METHOD****BARIŞ ALTIOKKA**

Anadolu University  
Graduate School of Natural and Applied Sciences  
Physics Program

**Supervisor: Asst.Prof.Dr. Sabiha AKSAY**

**2003, 103 pages**

In this thesis, some physical characteristics of Cu(Zn)InS<sub>2</sub> films were studied. 10-50% of Zn was added into the semiconductor CuInS<sub>2</sub>. The films were grown by the spray pyrolysis method at 225-275 °C substrate temperatures. It was determined that the films were p-type and band gap energy values were ranged between 1,51-2,70 eV. The transmission, reflectivity, refractive index, extinction coefficient and dielectric coefficient graphics were obtained from the fundamental absorption spectra. By means of X-ray difractions, the films were determined to exhibit chalcopyrite and hegzagonal structures. The surface morphologies were studied via scanning electron microscopy (SEM) and shown that films have almost been homogenous structure.

**Keywords:** CuInS<sub>2</sub>, Semiconductor, Spray Pyrolysis, Fundamental Absorption, Chalcopyrite

## TEŞEKKÜR

Bu çalışmanın gerçekleşmesini sağlayan ve bilgilerinden yararlandığım hocam Yrd.Doç.Dr. Sabiha AKSAY'a sonsuz teşekkürlerimi sunarım.

Konularımın her aşamasında bilimsel yardımlarını gördüğüm Prof.Dr. Muhsin ZOR'a, Yrd.Doç.Dr. Şenol AYBEK'e ve Yrd.Doç.Dr. Metin KUL'a, X-ışını kırınım desenlerini çektirmemde yardımcı olan Hacettepe Üniversitesi Öğretim Üyelerinden Prof.Dr. Atilla EREN'e ve Prof.Dr. Tuncer HÖKELEK'e, absorpsiyon spekturumlarını çektirmemde yardımcı olan Kimya Bölüm Başkanı Prof.Dr. Lale ZOR'a, Eczacılık Fakültesi Öğretim Üyesi Yrd.Doç.Dr. Göksel ALTIOOKKA'ya ve tüm çalışanlarına teşekkür ederim.

Çalışmalarım sırasında sonsuz desteklerini ve basklarını gördüğüm aileme, Prof.Dr. Mehmet Rıza ALTIOOKKA'ya, çalışma arkadaşım Öğr.Gör. Abide Banu GÜNDÜZ'e, Öğr.Gör. Ebru GÜNEY'e, Öğr.Gör. İbrahim KILIÇ'a, Tkr. İsmail FUNDA'ya teşekkür ederim.

## İÇİNDEKİLER

	<u>Sayfa</u>
ÖZET .....	i
ABSTRACT .....	ii
TEŞEKKÜR .....	iii
İÇİNDEKİLER .....	iv
ŞEKİLLER DİZİNİ .....	vii
ÇİZELGELER DİZİNİ .....	xi
SİMGELER VE KISALTMALAR DİZİNİ .....	xii
<b>1. GİRİŞ VE AMAÇ .....</b>	<b>1</b>
1.1. Giriş .....	1
1.2. I-III-VI <sub>2</sub> Grup Yarıiletken Bileşikler .....	2
1.3. CuInS <sub>2</sub> Üçlü Bileşığının Özellikleri .....	5
1.4. Amaç .....	7
<b>2. YARIİLETKENLER.....</b>	<b>8</b>
2.1. Giriş .....	8
2.2. Kristal ve Bant Oluşumu .....	9
2.3. Fermi Enerji Seviyesi .....	12
2.4. Elektron İstatistiği.....	12
2.5. Has (Intrinsic) Yarıiletkenler .....	15
2.6. Katkılı (Extrinsic) Yarıiletkenler .....	17
2.6.1. n-tipi yarıiletkenler.....	17
2.6.2. p-tipi yarıiletkenler .....	20
2.7. Elektriksel İletkenlik ve Mobilite .....	23
<b>3. Cu(Zn)InS<sub>2</sub> FİMLERİNİN ELDE EDİLMESİ.....</b>	<b>27</b>
3.1. Giriş .....	27
3.2. Spray Pyrolysis Yöntemi .....	27
3.3. Cu(Zn)InS <sub>2</sub> Filmelerinin Elde Edilmesi .....	30

	<u>Sayfa</u>
3.3.1. Çözeltilerin hazırlanışı .....	31
3.3.2. Püskürme kabini.....	32
3.3.3. Püskürme basıncı ve seçilen basınç .....	33
3.3.4. Isıtıcı, sıcaklık kontrolü ve seçilen sıcaklıklar .....	33
3.3.5. Püskürme başlığı ve seçilen yükseklik.....	34
3.3.6. Çözelti akış miktarı ve seçilen miktar (spray-rate) .....	35
3.3.7. Deneyin yapılışı .....	35
3.4. Elde Edilen Filmlerin Kalınlıkları .....	36
<b>4. Cu(Zn)InS<sub>2</sub> FİMLERİNİN TEMEL ABSORPSİYONU .....</b>	<b>38</b>
4.1. Giriş .....	38
4.2. Temel Absorpsiyon.....	39
4.2.1. Direkt geçiş .....	40
4.2.2. İndirekt geçiş .....	42
4.3. Cu(Zn)InS <sub>2</sub> Filmlerinin Temel Absorpsiyon Grafikleri ve Yasak Enerji Aralıkları .....	44
4.4. Cu(Zn)InS <sub>2</sub> Filmlerinin Bazı Optik Özellikleri .....	55
4.5. Elde Edilen Cu(Zn)InS <sub>2</sub> Filmlerinin Optik Özellikleri .....	59
<b>5. Cu(Zn)InS<sub>2</sub> FİMLERİNİN X-IŞINI KIRINIM DESENLERİ .....</b>	<b>66</b>
5.1. Giriş .....	66
5.2. Cu(Zn)InS <sub>2</sub> Filmlerinin X-Işını Kırınım Desenleri.....	68
<b>6. Cu(Zn)InS<sub>2</sub>        FİMLERİNİN        TARAMALI        ELEKTRON                           MİKROSKOBU (SEM) GÖRÜNTÜLERİ .....</b>	<b>82</b>
6.1. Giriş .....	82
6.2. Elde Edilen Cu(Zn)InS <sub>2</sub> Filmlerinin Taramalı Elektron Mikroskopu (SEM) Görüntüleri .....	85
<b>7. TARTIŞMA VE SONUÇ .....</b>	<b>97</b>

Sayfa

**KAYNAKLAR.....99**



## ŞEKİLLER DİZİNİ

	<u>Sayfa</u>
1.1. Yarıiletkenlerin yıllara göre Megawatt cinsinden dünyada kullanımı (Gootzberger 2003).....	2
1.2. Tetrahedral düzende üçlü ve dörtlü bileşik yarıiletkenlerin türetilişleri (Matsushita ve Katsui 2001).....	3
1.3. Grup II-VI ve I-III-VI yapıları (a) zincblende (b) chalcopyrite (Olvera ve ark. 1999).....	4
1.4. Chalcopyrite yapı (a) tanecik gösterimi (Nikiforov 1999) (b) sanal atomik gösterimi (Nomura ve Endo 2002).....	4
1.5. CuInS <sub>2</sub> bileşığının chalcopyrite yapısı (Su ve ark. 2000).....	6
2.1. (a) tek atomun (b) iki atomun (c) üç atomun (d) katının enerji düzeyleri (Oral 1979).....	10
2.2. (a) iki atomun (b) altı atomun (c) n atomun (http-1) ve (d) karbon atomlarının aralarındaki mesafeye bağlı olarak enerji düzeylerinin yarılmaları (http-2).....	11
2.3. Yarıiletkenerde (a) T=0 K'da (b) T>0 K'da yük taşıyıcılarının durumu.....	11
2.4. (a) T=0 K'da ve T>0 K'da Fermi dağılım fonksiyonu (b) T=0 K'da ve T>0 K'da elektronların enerji durumlarını doldurma olasılığı (http-3).....	13
2.5. Has yarıiletkenerde T=0 K'da Fermi enerji seviyesi.....	16
2.6. As katkılanmış Ge kristali (Oral 1979).....	18
2.7. Donör atomların enerji düzeyi (Oral 1979).....	18
2.8. n-tipi yarıiletkenerde Fermi enerji seviyesi (Allison 1989).....	20
2.9. In atomu katkılanmış Ge kristali (Oral 1979).....	21
2.10. İyonlaşmış akseptör atomlarının yasak bant aralığındaki konumu (Oral 1979).....	21
2.11. p-tipi yarıiletkenerde Fermi enerji seviyesi (Allison 1989).....	22
3.1. Spray pyrolysis yönteminde püskürtülen çözelti damalarının aerodinamiği (Siebert 1984).....	30
3.2. Spray pyrolysis deney seti.....	31
3.3. Deneyde kullanılan spray başlığı ve püskürtme konisinin şematik gösterimi (Kul 1996 ve Aybek 1996).....	34

Sayfa

4.1. Yarıiletkenlerde gelen ışının dalga boyuna karşı absorpsiyon grafiği.....	40
4.2. Bir yarıiletkende direkt bant geçişinin şematik gösterimi.....	41
4.3. Bir yarıiletkende indirekt bant geçişinin şematik gösterimi.....	43
4.4. Bir yarıiletkende $(\alpha h\nu)^{1/n}$ ,in $h\nu$ 'ye göre değişimini grafiginden faydalananarak yasak bant aralığının belirlenmesi.....	44
4.5. $225 \pm 5$ °C taban sıcaklığında elde edilen CuInS <sub>2</sub> filminin oda sıcaklığında (a) temel absorpsiyon spekturumu (b) $(\alpha h\nu)^2 \approx h\nu$ değişimi.....	47
4.6. $250 \pm 5$ °C taban sıcaklığında elde edilen CuInS <sub>2</sub> filminin oda sıcaklığında (a) temel absorpsiyon spekturumu (b) $(\alpha h\nu)^2 \approx h\nu$ değişimi.....	48
4.7. $275 \pm 5$ °C taban sıcaklığında elde edilen CuInS <sub>2</sub> filminin oda sıcaklığında (a) temel absorpsiyon spekturumu (b) $(\alpha h\nu)^2 \approx h\nu$ değişimi.....	49
4.8. $275 \pm 5$ °C taban sıcaklığında üretilen % 10 Zn ilaveli CuInS <sub>2</sub> filminin oda sıcaklığında (a) temel absorpsiyon spekturumu (b) $(\alpha h\nu)^2 \approx h\nu$ değişimi.....	50
4.9. $275 \pm 5$ °C taban sıcaklığında üretilen % 20 Zn ilaveli CuInS <sub>2</sub> filminin oda sıcaklığında (a) temel absorpsiyon spekturumu (b) $(\alpha h\nu)^2 \approx h\nu$ değişimi.....	51
4.10. $275 \pm 5$ °C taban sıcaklığında üretilen % 30 Zn ilaveli CuInS <sub>2</sub> filminin oda sıcaklığında (a) temel absorpsiyon spekturumu (b) $(\alpha h\nu)^2 \approx h\nu$ değişimi.....	52
4.11. $275 \pm 5$ °C taban sıcaklığında üretilen % 40 Zn ilaveli CuInS <sub>2</sub> filminin oda sıcaklığında (a) temel absorpsiyon spekturumu (b) $(\alpha h\nu)^2 \approx h\nu$ değişimi.....	53
4.12. $275 \pm 5$ °C taban sıcaklığında üretilen % 50 Zn ilaveli CuInS <sub>2</sub> filminin oda sıcaklığında (a) temel absorpsiyon spekturumu (b) $(\alpha h\nu)^2 \approx h\nu$ değişimi.....	54
4.13. Işının materyale dik gelmesi durumunda soğurulma, geçirilme ve yansımaya süreci (Bilgin 2003).....	56
4.14. Elde edilen filmlerin dalga boyuna karşı absorpsiyon katsayılarının grafiği .....	62
4.15. Elde edilen filmlerin dalga boyuna karşı geçirgenliklerinin grafiği.....	63
4.16. Elde edilen filmlerin dalga boyuna karşı yansımaya katsayılarının grafiği.....	63
4.17. Elde edilen filmlerin dalga boyuna karşı kırılma indislerinin grafiği.....	64
4.18. Elde edilen filmlerin dalga boyuna karşı sönm katsayılarının grafiği.....	64
4.19. Elde edilen filmlerin dalga boyuna karşı dielektrik sabitlerinin grafiği.....	65

Savfa

4.20. Elde edilen filmlerin dalga boyuna karşı sanal dielektrik sabitlerinin grafiği .....	65
5.1. Kristallerde x-işını kırınımı (Cullity 1996).....	67
5.2. $225 \pm 5$ °C taban sıcaklığında elde edilen CuInS <sub>2</sub> filminin x-işını kırınım deseni.....	74
5.3. $250 \pm 5$ °C taban sıcaklığında elde edilen CuInS <sub>2</sub> filminin x-işını kırınım deseni.....	75
5.4. $275 \pm 5$ °C taban sıcaklığında elde edilen CuInS <sub>2</sub> filminin x-işını kırınım deseni.....	76
5.5. $275 \pm 5$ °C taban sıcaklığında elde edilen %10 Zn ilaveli CuInS <sub>2</sub> filminin x-işını kırınım deseni.....	77
5.6. $275 \pm 5$ °C taban sıcaklığında elde edilen %20 Zn ilaveli CuInS <sub>2</sub> filminin x-işını kırınım deseni.....	78
5.7. $275 \pm 5$ °C taban sıcaklığında elde edilen %30 Zn ilaveli CuInS <sub>2</sub> filminin x-işını kırınım deseni.....	79
5.8. $275 \pm 5$ °C taban sıcaklığında elde edilen %40 Zn ilaveli CuInS <sub>2</sub> filminin x-işını kırınım deseni.....	80
5.9. $275 \pm 5$ °C taban sıcaklığında elde edilen %50 Zn ilaveli CuInS <sub>2</sub> filminin x-işını kırınım deseni.....	81
6.1. SEM cihazının ana parçaları (http-9).....	83
6.2. Numune yüzeyine gelen elektronlarla numune etkileşmesi (http-10).....	84
6.3. $225 \pm 5$ °C taban sıcaklığında elde edilen CuInS <sub>2</sub> filminin (a) 1000 (b) 4000 kez büyütülmüş SEM görüntülerı.....	89
6.4. $250 \pm 5$ °C taban sıcaklığında elde edilen CuInS <sub>2</sub> filminin (a) 1000 (b) 4000 kez büyütülmüş SEM görüntülerı.....	90
6.5. $275 \pm 5$ °C taban sıcaklığında elde edilen CuInS <sub>2</sub> filminin (a) 1000 (b) 2000 kez büyütülmüş SEM görüntülerı.....	91
6.6. $275 \pm 5$ °C taban sıcaklığında elde edilen %10 Zn ilaveli CuInS <sub>2</sub> filminin (a) 750 (b) 5000 kez büyütülmüş SEM görüntülerı.....	92

Sayfa

6.7. $275\pm5$ °C taban sıcaklığında elde edilen %20 Zn ilaveli CuInS <sub>2</sub> filminin (a) 750 (b) 5000 kez büyütülmüş SEM görüntüleri.....	93
6.8. $275\pm5$ °C taban sıcaklığında elde edilen %30 Zn ilaveli CuInS <sub>2</sub> filminin (a) 750 (b) 5000 kez büyütülmüş SEM görüntüleri.....	94
6.9. $275\pm5$ °C taban sıcaklığında elde edilen %40 Zn ilaveli CuInS <sub>2</sub> filminin (a) 500 (b) 5000 kez büyütülmüş SEM görüntüleri.....	95
6.10. $275\pm5$ °C taban sıcaklığında elde edilen %50 Zn ilaveli CuInS <sub>2</sub> filminin (a) 500 (b) 5000 kez büyütülmüş SEM görüntüleri.....	96

## ÇİZELGELER DİZİNİ

	<u>Sayfa</u>
3.1. Filmlerin $\mu\text{m}$ cinsinden kalınlıkları .....	37
5.1. $225 \pm 5$ °C taban sıcaklığında elde edilen $\text{CuInS}_2$ yarıiletken filminin kristal - özellikleri, yapılanma katsayıları ve x-işını kırınım desenlerinden elde edilen pik şiddetleri.....	71
5.2. $250 \pm 5$ °C taban sıcaklığında elde edilen $\text{CuInS}_2$ yarıiletken filminin kristal özellikleri, yapılanma katsayıları ve x-işını kırınım desenlerinden elde edilen pik şiddetleri.....	71
5.3. $275 \pm 5$ °C taban sıcaklığında elde edilen $\text{CuInS}_2$ yarıiletken filminin kristal özellikleri, yapılanma katsayıları ve x-işını kırınım desenlerinden elde edilen pik şiddetleri.....	72
5.4. $275 \pm 5$ °C taban sıcaklığında % 10, 20, 30, 40 ve 50 Zn ilaveli $\text{CuInS}_2$ filmlerinin kristal özellikleri .....	73

## SİMGELER VE KISALTMALAR DİZİNİ

<b>A</b>	:Absorbans
<b>c</b>	:İşik hızı
<b>D<sub>(E)</sub></b>	:Durum yoğunluğu
<b>E<sub>a</sub></b>	:Akseptör enerji seviyesi
<b>E<sub>c</sub></b>	:İletkenlik bantı alt kıyı enerji seviyesi
<b>E<sub>F</sub></b>	:Fermi enerji seviyesi
<b>E<sub>fi</sub></b>	:Has yarıiletkenlerde Fermi enerji seviyesi
<b>E<sub>g</sub></b>	:Yasak enerji bant aralığı
<b>E<sub>H</sub></b>	:Hidrojen atomu iyonlaşma enerjisi
<b>E<sub>v</sub></b>	:Valans bantı üst kıyısı enerji seviyesi
<b>eV</b>	:Elektronvolt
<b>E<sub>o</sub></b>	:Urbach parametresi
<b>f<sub>(E)</sub></b>	:Fermi-Dirac dağılım fonksiyonu
<b>h</b>	:Plank sabiti
<b>J</b>	:Akım yoğunluğu
<b>J<sub>e</sub></b>	:Elektron akım yoğunluğu
<b>J<sub>h</sub></b>	:Hole akım yoğunluğu
<b>k</b>	:Boltzman sabiti, dalga vektörü, kompleks kırılma indisı
<b>m<sub>e</sub></b>	:Elektron kütlesi
<b>m<sub>h</sub></b>	:Hole kütlesi
<b>m<sub>e</sub>*</b>	:Elektron etkin kütlesi
<b>m<sub>h</sub>*</b>	:Hole etkin kütlesi
<b>n</b>	:Birim hacimdeki serbest elektron sayısı, kırılma indisı
<b>N<sub>A</sub></b>	:Akseptör yoğunluğu
<b>n<sub>a</sub></b>	:Birim hacimdeki yük sayısı
<b>N<sub>C</sub></b>	:İletim bantındaki etkin durum yoğunluğu
<b>N<sub>D</sub></b>	:Donör yoğunluğu
<b>n<sub>i</sub></b>	:Has yarıiletkenlerde serbest taşıyıcı yoğunluğu
<b>N<sub>V</sub></b>	:Valans bantındaki etkin durum yoğunluğu
<b>p</b>	:Birim hacimdeki serbest hole yoğunluğu

## SİMGELER ve KISALTMALAR DİZİNİ (Devam)

R	:Yansıma katsayısı
SEM	:Elektron mikroskopu
T	:Sıcaklık, yansıtma katsayısı
TC	:Yapılanma sabiti
t	:Film kalınlığı
$V_e$	:Elektronun sürüklendirme hızı
$V_h$	:Hole'nin sürüklendirme hızı
$\epsilon$	:Dielektrik sabiti
$\epsilon_r$	:Yarıiletkenin bağıl permitivitesi
$\hbar$	: $h/2\pi$
$\mu_e$	:Elektron mobilitesi
$\mu_h$	:Hole mobilitesi
$\tau_e$	:Elektronun ortalama çarpışma süresi
$\tau_h$	:Hole'ün ortalama çarpışma süresi
$\sigma$	:Öz iletkenlik
$\rho$	:Film yoğunluğu
$\alpha$	:Absorpsiyon katsayısı
$\lambda$	:Fotonun dalga boyu
$hv$	:Foton enerjisi
$\hbar\Omega$	:Fonon enerjisi

## 1. GİRİŞ VE AMAÇ

### 1.1. Giriş

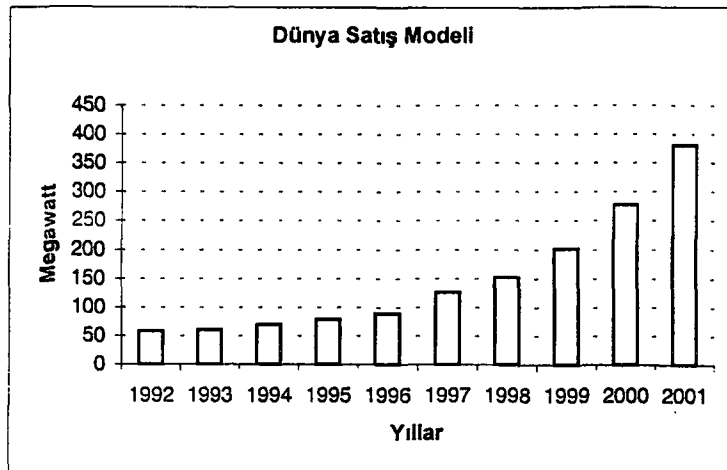
Teknolojide yarıiletkenler oldukça önemli bir yer tutmaktadır. Elektronikteki baş döndüren hızlı gelişmeler yarıiletkenlerin çok amaçlı olarak kullanılmasıyla başarılı olmuştur.

Yüzlerce yıl önce soy metallerin ince filmleri cam ve seramikler üzerine dekorasyon olarak kullanılmışlardır. Yedinci yüzyılda gümüş tuzundan cam yüzeyler üzerinde gümüş filmelerinin elde edilmesi biliniyordu (Zor 1982). Yarıiletkenlerin tarihi Edmond Becquerel ve Faraday'a kadar uzanır. 1839'da Edmond Becquerel aynı elektrolit içine batırılmış iki elektrottan biri üzerine ışık düşürüldüğü zaman bunlar arasında potansiyel fark olduğunu gözlemiştir (Haug 2001 ve Oral 1979). 1877'de Adams ve Smith günümüzde de halen fotoğraflarda ışık ölçer olarak kullanılan benzer bir etkiyi selenyum'da keşfetmişlerdir (Haug 2001). Faraday 1883 yılında gümüş sülfatın direncinin sıcaklık ile değişim katsayısının negatif olduğunu keşfetmiştir. 1920'de selenyum ve bakır oksit dedektörleri kullanılmıştır. 1923'de Schotty kuru redresörlerin teorisini yayımladı. Bu yarıiletkenlerin incelenmesinde ilk teorik adım oldu. 1958'de Amerika Birleşik Devletleri'nde Brattain ve Bordein tarafından nokta temaslı transistör keşfedildi. Çok geçmeden Shockley yüzey temaslı transistörü keşfetti. Bu gelişmeler durmadı ve halen devam etmektedir (Oral 1979).

Yarıiletkenler kızıl ötesi mercekler, güneş pilleri, ışık dedektörleri, çeşitli diyon ve taransistörler ve bilgi depolayıcısı gibi bir çok alanda kullanılmaktadırlar (Beiser 1997).

1973 teki petrol kırızından sonra petrole olan bağımlılığı azaltmak için sürekli bir enerji kaynağı olan güneş pillerine yönelinmiştir (Kul 1996). Artan enerji ihtiyacına karşın güneş pilleri doğayı temiz tutmaktadır. Yarıiletkenlerin sadece son on yılda fotovoltaik alandaki gelişimi bile yarıiletkenler hakkında bir çok bilgiyi vermektedir. Şekil 1.1'den görüldüğü gibi yarıiletkenlerin kullanımı 1999'dan itibaren hızlı bir artış göstermiştir.

Yarıiletken filmler kalınlıklarına göre iki sınıfa ayrırlılar. Kalınlığı 1  $\mu\text{m}$



Şekil 1.1. Yarıiletkenlerin yıllara göre Megawatt cinsinden dünyada kullanımı (Gootzberger 2003)

ve daha ince olanlar ince film (thin film), kalınlığı 1  $\mu\text{m}$ 'den daha fazla olanlar kalın film (thick film) olarak adlandırılırlar.

## 1.2. I-III-VI<sub>2</sub> Grup Yarıiletken Bileşikler

En çok bilinen yarıiletken materyaller periyodik tablonun IV. grup elementlerinden olan silisyum ve germanium elementleridir. Bu elementler kovalent bağ yapısına sahiptirler ve valans bantlarındaki elektronlarını düşük bir enerjiyle bile iletim bantlarına geçirebilirler.

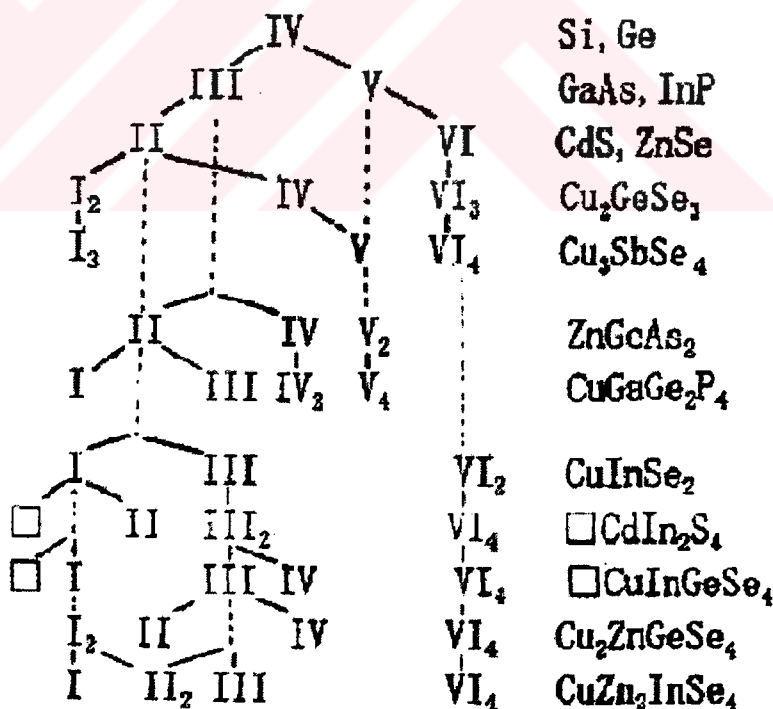
Sanayinin ve teknolojinin hızlı gelişimi, hemen hemen bu alanın tamamında kullanılan yarıiletken materyallerin de araştırılmalarına neden olmuştur. Uygulama alanlarına göre değişik bant aralıklarına sahip yarıiletkenlere ihtiyaç duyulmaktadır. Bunlar önce son yörüngelerinde yine dört elektron ihtiva eden III-V ve II-VI yarıiletken materyalleri olmuştu. Araştırmalar, ilerledikçe üçlü, dörtlü hatta beşli bileşiklerden oluşan yarıiletkenlere doğru kaymıştır. Bu araştırmalar halen devam etmektedir. Bu materyallerden birisi de I-III-VI<sub>2</sub> yarıiletken materyalleridir.

Üçlü bileşiklere doğru ilerledikçe termoelektrik, non-lineer optik ve solar-cell materyaller olarak kullanılabilcek bileşiklerle karşılaşılır (Zor 1982; Aksay 1996 ve Zhaochun 1998).

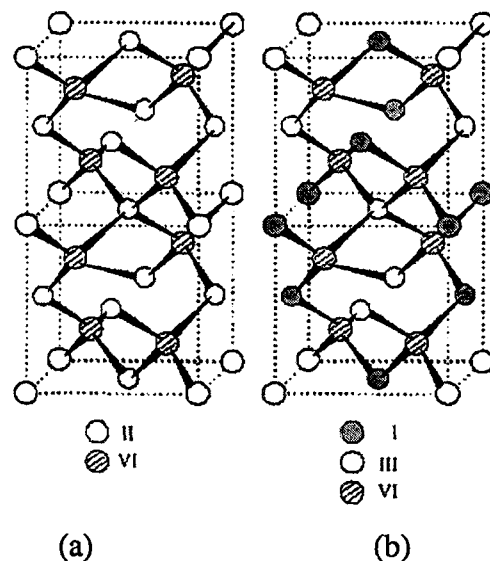
I-III-VI<sub>2</sub> tipi yarıiletkenler optoelektronik ve güneş pilleri olarak kullanım potansiyeli çok yüksek materyallerdir (Reddy ve Chalapathy 1999). I-III-VI<sub>2</sub> ve II-IV-V<sub>2</sub> bileşikleri sırasıyla II-VI ve III-V ikili bileşiklerin benzeri üçlü bileşiklerdir (Zor 1982 ve Aksay 1996).

Nanometre boyutundaki yapıların, non-lineer ve solar-cell olarak kullanılması sırasında I-III-VI<sub>2</sub> bileşikler diğer yarıiletken bileşikler arasında daha önemli bir sınıfa girerler (Mandale ve ark. 2002). I-III-VI<sub>2</sub> grup yarıiletkenler chalcopyrite (tetragonal) yapıdadırlar (Reddy ve Chalapathy 1999 ve Zor 1982). Tetrahedral düzende üçlü ve dörtlü bileşik yarıiletkenlerin Pamplin tarafından türetilişleri Şekil 1.2'deki gibi verilmiştir (Matsushita ve Katsui 2001).

Metal atomlarının düzenli yerleşimleri tetragonal süper bölgeyi oluşturup her grup I ve grup III atomu tetrahedral olarak dört tane grup VI atomu ile bağlanırlar ve her grup VI atomu da tetrahedral olarak iki tane grup I ve iki tane grup III atomu ile düzenli bir şekilde bağlanırlar (Zor 1982). Şekil 1.3'te grup II-VI'dan grup I-III-VI<sub>2</sub>'ye geçiş görülmektedir.

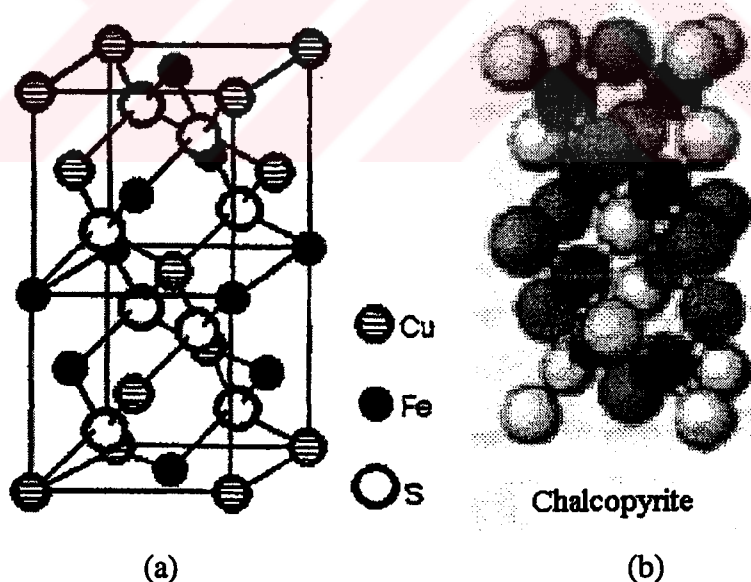


Şekil 1.2. Tetrahedral düzende üçlü ve dörtlü bileşik yarıiletkenlerin türetilişleri (Matsushita ve Katsui 2001)



Şekil 1.3. Grup II-VI ve I-III-VI yapıları (a) zincblende (b) chalcopyrite (Olvera ve ark. 1999)

Doğada  $\text{CuFeS}_2$  chalcopyrite yapıda bulunur ve bilinen en eski yarıiletken materyaldir. Bu materyal 2500 yıl önce antika olarak kullanılıyordu (Nikiforov 1999). Şekil 1.4'te  $\text{CuFeS}_2$  ve chalcopyrite yapı gösterilmektedir.



Şekil 1.4. Chalcopyrite yapı (a) tanecik gösterimi (Nikiforov 1999) (b) sanal atomik gösterimi (Nomura ve Endo 2002)

I-III-VI<sub>2</sub> bileşikleri nispeten diğerlerine göre daha da bant aralıklarına sahiptirler. Cu temelli Cu-III-VI<sub>2</sub> bileşiklerinin bant aralıkları 1.0-1.7 eV aralığı civarında değişmektedir (Miyake ve Hiramatsu 2001).

Yarıiletkenler fiziksel özellikleri farklı olan, single ve polikristal yapı olmak üzere iki temel grupta incelenirler.

Single kristal I-III-VI<sub>2</sub> bileşikler buharlaştırma, eritme ve çözelti teknikleri ile üretilirler. Buharlaştmayla üretme çok kaliteli olmasına rağmen üretilen filmler küçük ve düzensiz olabilmektedirler (Miyake ve Hiramatsu 2001). I-III-VI<sub>2</sub> yarıiletken filmlerinin üretimi için literatürde electrodeposition, vapour transport method, spray deposition, chemical bath deposition, solvothermal reaction route ve traditional solid state reaction metotları mevcuttur (Mandale ve ark. 2002).

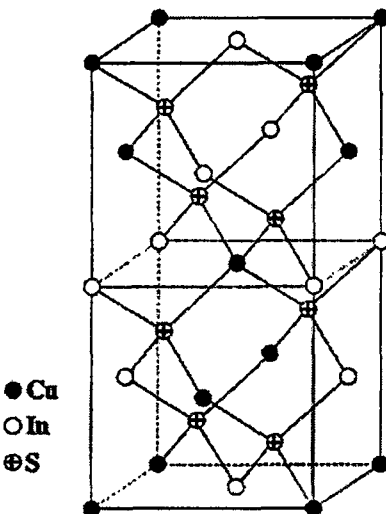
Polikristal filmler single kristal filmlere nazaran daha kolay elde edilebilmektedir. Bunun yanı sıra teknolojide de kullanılmalarından dolayı tercih edilirler (Aksay 1996).

### **1.3. CuInS<sub>2</sub> Üçlü Bileşiğinin Özellikleri**

CuInS<sub>2</sub> yasak bant aralığının dar olmasından dolayı yarıiletkenler içerisinde önemli bir yer oluşturmaktadır. CuInS<sub>2</sub> yarıiletken materyali fotovoltaik aygıtlarda (Krunk ve ark. 2000; He ve ark. 2002 ve Krunk ve ark. 1999), optik aygıtlarda (Mandale ve ark. 2002) ve solar-cell (güneş pilleri)'de (Ito ve Hashimoto 2001; Ortega-Lopez ve Morales-Acevedo 1998 ve Krunk ve ark. 2002) kullanılmaktadır.

CuInS<sub>2</sub> materyali I-III-VI<sub>2</sub> bileşiklerinden birisidir ve chalcopyrite yapıdadır (Krunk ve ark. 1999; Yamamoto ve ark. 2000; Reddy ve Chalapathy 1999 ve Hernandez ve ark. 2002). CuInS<sub>2</sub> yarıiletken materyalinin birim hücresi tetragonal yapıdadır (Ito ve Hashimoto 2001). CuInS<sub>2</sub> materyalinin chalcopyrite yapısı Şekil 1.5'te gösterilmektedir.

Cu temeline dayalı Cu-III-VI<sub>2</sub> materyallerinin yasak bant aralığı 1.0-1.7 eV arasında değişmektedir (Miyake ve Hiramatsu 2001). Burada III üçüncü grup elementlerini, VI altıncı grup elementlerini ifade etmektedir.



Şekil 1.5. CuInS<sub>2</sub> bileşığının chalcopyrite yapısı (Su ve ark. 2000)

CuInS<sub>2</sub> materyali direkt bant yapısına sahiptir (Krunk's ve ark. 2000; He ve Ark. 2002 ve Ito ve Hashimoto 2001). CuInS<sub>2</sub> materyali ile yapılan çalışmalarında 1.50 eV civarında yasak bant aralığına rastlanmıştır. Yapılan çalışmalar ve bant aralıkları sırasıyla verildiği gibidir. Ortega-Lopez ve Morales-Acevedo (1998) 1.55 eV, Krunk's ve ark. (2002) ve Mandale ve ark. (2002) 1.47 eV. Düşük sıcaklıklarda (250 °C civarı) üretilen CuInS<sub>2</sub> yarıiletken filmlerinin ise absorpsiyon kiyisinin kısa dalga boylarına kaydığı ve bant aralığının büyüğü saptanmıştır (Krunk's ve ark. 1999). Bu değerler sırasıyla isme ve bant aralığına göre belirtilmiştir. Krunk's ve ark. (1999) 1.60-1.70 eV, Mandale ve ark. (2002) 1.74 eV.

CuInX<sub>2</sub> (X=S,Se) yüksek absorpsiyon katsayısına ( $10^5 \text{ cm}^{-1}$ ) sahiptir (Krunk's ve ark. 1999 ve He ve ark. 2002). CuInS<sub>2</sub>'nin serbest taşıyıcı yoğunluğu  $10^{16}$ - $10^{17} \text{ cm}^{-3}$  civarında ve hole'lerden oluşur (He ve ark. 2002). Ayrıca CuInS<sub>2</sub>'nin öz direnci 0,35-4,24 ohmcm, hall mobilitesi  $1,15$ - $4,15 \text{ cm}^2/\text{Vs}$  350 K'dan 77 K'ya verildiği değerlerde değişimektedir (He ve ark. 2001).

CuInS<sub>2</sub>'nin p-tipi iletkenlik gösterdiği saptanmıştır (Ortega-Lopez ve Morales-Acevedo 1998).

Ayrıca püskürtülerek üretilmiş CuInS<sub>2</sub> materyalinin bileşimi ve elektriksel yapısı üretilme sıcaklığı ve çözelti solüsyonuna bağlıdır (Krunk's ve ark. 1999).

CuInS<sub>2</sub> yarıiletken materyali RF reactively sputtered, rapid thermal process, single source evaporation, coevaporation, sulfurization, chemical vapor deposition, sputtering, electrodeposition ve spray pyrolysis yöntemleriyle üretilmektedir (He ve ark. 2001).

CuInS<sub>2</sub> yarıiletken materyali üretilmesi için spray pyrolysis tekniği diğerlerine nazaran daha basit yapıda ve daha ekonomiktir (Krunko ve ark. 1999).

#### **1.4. Amaç**

Bu çalışmadaki amacımız, pratik ve ekonomik bir yöntem olan spray pyrolysis yöntemiyle I-III-VI<sub>2</sub> bileşiklerinden olan CuInS<sub>2</sub> yarıiletken bileşiği elde ederek bu filmlerin bazı fiziksel özelliklerini incelemektir. Başlangıç olarak, CuInS<sub>2</sub> yarıiletken filmleri püskürtme yöntemiyle  $225 \pm 5$  °C,  $250 \pm 5$  °C ve  $275 \pm 5$  °C taban sıcaklıklarında elde edilip, daha sonra  $275 \pm 5$  °C taban sıcaklığında, %10-50 arasında değişen oranlarda Zn ilave edilerek Cu(Zn)InS<sub>2</sub> filmleri elde edilmiştir. Son olarak elde edilen filmlerin oda sıcaklığındaki optik absorpsiyonundan enerji bant aralığını hesaplamak, x-ışını kırınım desenlerinden kristal yapıları hakkında bilgi edinmek ve SEM görüntülerinden yüzey morfolojilerini incelemek hedeflenmiştir.

## 2. YARIİLETKENLER

### 2.1. Giriş

Yarıiletkenler silisyum ve germanyum gibi periyodik tablonun IV. grup elementlerinden oluşup son yörüngelerinde dört elektron bulundururlar. Yine son yörüngelerindeki elektron atom oranlarını dörde tamamlayacak GaAs, InSb gibi III-V, ZnO, CdS ve ZnS gibi II-VI, I-III-VI, II-IV-V ve dörtlü beşli bileşikler gibi bir çok yarıiletken materyaller vardır.

Maddeler elektriksel iletimleri bakımından iletkenler, yarıiletkenler ve yalıtkanlar olarak sınıflandırılabilirler.

Enerji bant yapıları bakımından incelenirse, yalıtkan maddelerin izinli enerji bantlarından, iletim bantları tamamen doludur veya tamamen boştur, bundan dolayı iletim bandında elektronlar ya hiç olmazlar yada hareket edecek alan bulamazlar. Yarıiletkenlerin iletim bantları ise doluya veya boşu yakındırlar. Mutlak sıfır sıcaklıkta ise yarıiletkenler tamamen yalıtkan olurlar. Yarımetallerin iletkenlik bant kiyısı valans bant kiyısından hafifçe düşüktür. Bunlara da uygun katkılardır asılanabilir. Fakat bant kiyalarındaki örtüşme basınçla büyük oranda değişir ve her ilkel hücrede iki iyon on valans elektronu vardır. Valans elektronları çift olduğu için yarımetaller yalıtkan olabilirler. İletkenlerin iletim bantları ise yarıya kadar doludurlar (Kittel 1996).

Optik özellikleri bakımından incelenirse yarıiletkenlerin yasak bant aralıkları genişlikleri yaklaşık olarak görünür ışığın enerjisile aynıdır. Görünür ışığın enerjisi ise yaklaşık olarak 1-3 eV civarındadır. Düşük frekansdaki kızıl ötesi ışık için ise saydamdır. Bundan dolayı yarıiletken maddelerden kızıl ötesi ışık mercekleri yapılmaktadır. Öte yandan yalıtkanlar saydam, iletkenler ise soğurucudurlar. Yalıtkanların saydam görünmemelerinin sebebi düzensiz yapılarından dolayı fotonları saçmalarından ileri gelmektedir (Beiser 1997).

Yarıiletkenlerin başlıca kendilerine has özelliklerinden ikisi sıcaklık artarken öz dirençlerinin hızlıca azalmaları ve görünür ışığı absorplamalarıdır. Buna karşın metallerin sıcaklıkla iletkenlikleri düşmektedir. Yalıtkanlarda ise yasak enerji bant aralıklarının çok geniş olması iletim bandına yük taşıyıcılarının

geçmesini engeller ya da çok yüksek enerjiye ihtiyaç duyarlar.

Yarıiletkenlerin yalıtkanların ve metallerin özdirençleri sırasıyla  $10^{-2}$ - $10^9$ ,  $10^{14}$ - $10^{22}$  ve  $10^6$  ohmcm dir.

## 2.2. Kristal ve Bant Oluşumu

Tek başına bir atom ele alınırsa, ortada elektronlarına göre daha ağır pozitif yüklü çekirdek ve çekirdek etrafında Pauli ilkesine göre ancak belli seviyelerde bulunabilen elektronlar vardır. Elektronlar çekirdek etrafında en alt seviyeden başlayarak dışa doğru dolarlar. En dıştaki elektronlara valans elektronları denir ve bir çok maddede bu elektronlar bağlanmaya katılırlar. Çünkü içteki elektronlar çekirdeğe daha sıkı bağlıdır.

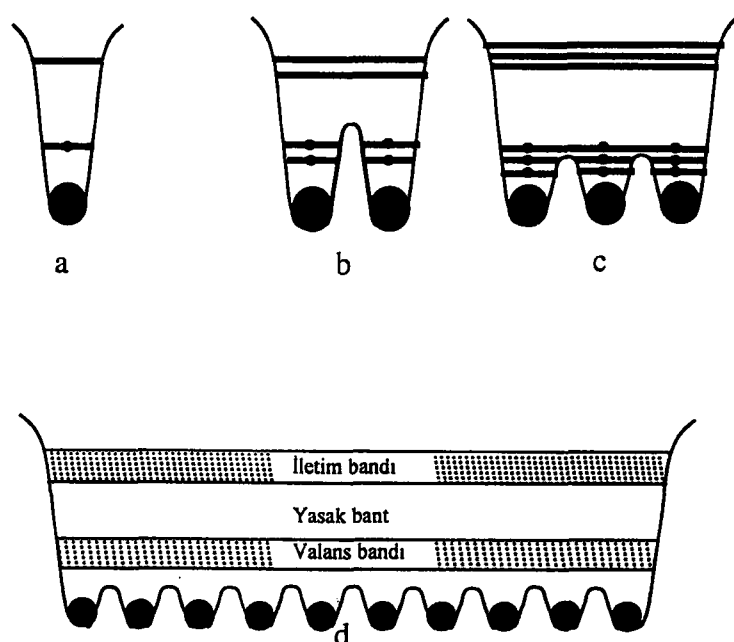
Bir kristal, kararlı bir atomda büyümeye başlarsa, birbirine özdeş yapıların art arda eklenmesi ile meydana gelir. Kristal, atom gruplarından oluşan üç boyutlu bir örgüdür (Kittel 1996).

Yarıiletkenler dahil herhangi bir katının özellikleri katayı teşkil eden atomların yapısına ve bunların gruplaşma tarzına bağlıdır (Oral 1979).

Atomlar kristali oluşturmak için birbirlerine iyice yaklaştıklarında atomların dış yörüngeleri iç içe geçer. Dolayısıyla en dışta bulunan valans elektronları diğer atomlar tarafından eşit miktarlarda çekilirler ve elektronlar bir atoma değil tüm kristale ait olurlar. Pauli ilkesine göre dört kuantum sayısı birbirine eşit olan iki elektron bir atomda bulunamayacağı için tüm katıya ait bu elektronlarda bu kurala uyarlar. Bunun sonucu olarak kristali oluşturan atomların her enerji seviyesi, Şekil 2.1'de görüldüğü gibi atom sayısı kadar, birbirine çok yakın seviyelere ayrılır. Birbirine çok yakın bu seviyeler bir bant görüntüsü verirler bundan dolayı bunlara enerji bantları denir (Oral 1979).

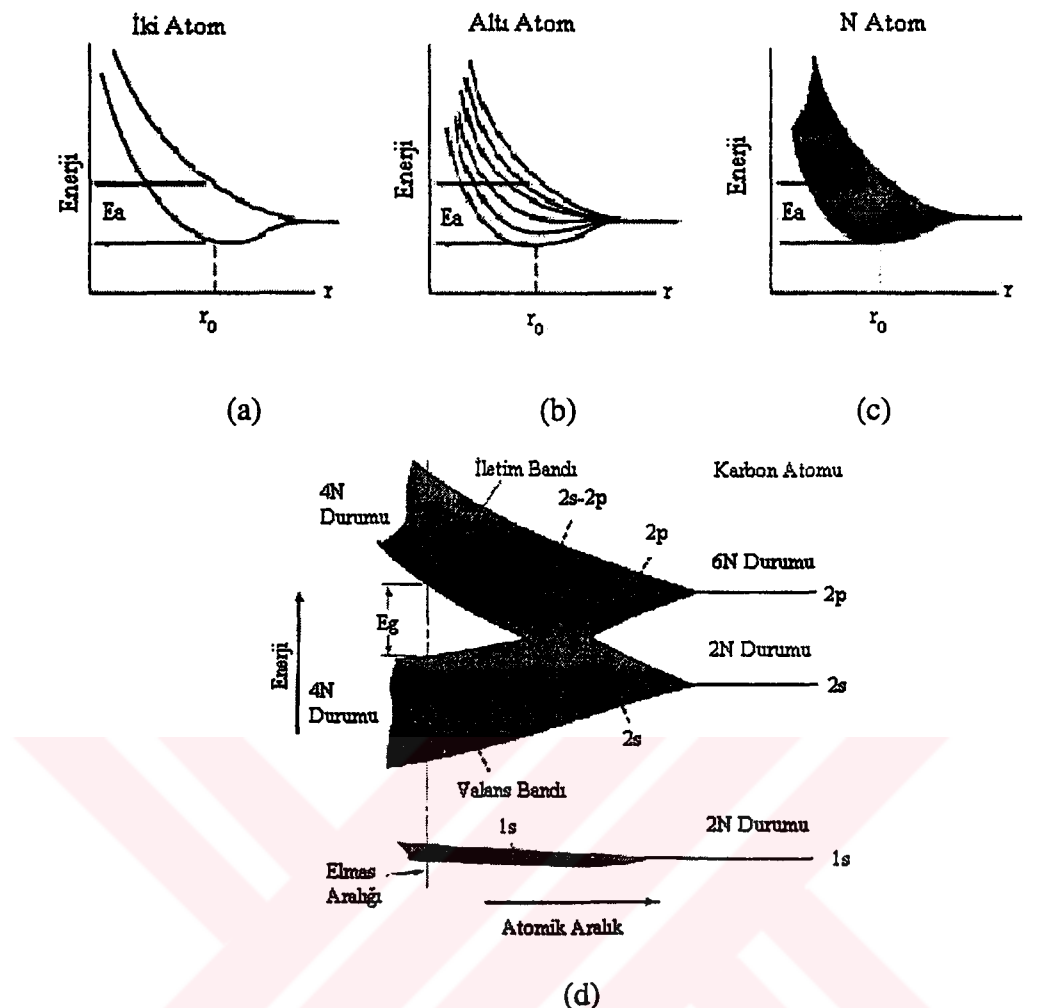
Daha önceden bahsedildiği gibi yarıiletkenlerin ve katıların yapıları katayı oluşturan atomlara ve bağlanma türlerine bağlıdır. Şekil 2.2'den de görüldüğü gibi enerji düzeylerindeki yarılmalar, atomlar arası mesafelere direk olarak bağlıdır.

Eğer valans bandındaki elektrona ısı veya foton absorpsiyonu vasıtasiyla yeterli miktarda enerji aktarılırsa elektron valans bandından iletim bandına

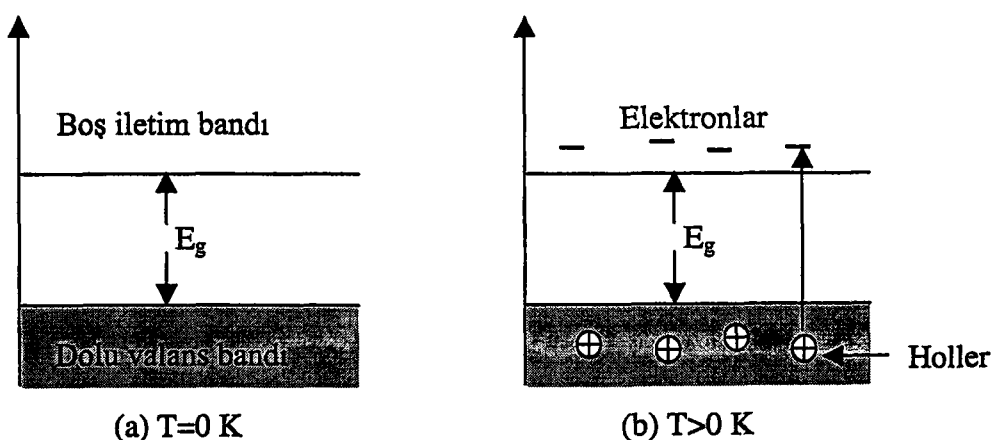


Şekil 2.1. (a) tek atomun (b) iki atomun (c) üç atomun (d) katının enerji düzeyleri (Oral 1979)

atlayabilir. İletim bandındaki bu elektron valans bandında bir boşluk (hole) bırakır. Yarıiletkenlerde Şekil 2.3.a'da görüldüğü gibi mutlak sıcaklık 0 K'da valans bandı tamamen dolu iletim bandı tamamen boştur, bu sıcaklıkta yarıiletken tamamen yalıtkandır. Şekil 2.3.b'de görüldüğü gibi sıcaklık arttıkça yani sıcaklık mutlak sıcaklık 0 K'yi geçtikten sonra gerekli enerjiyi alan elektronlar iletim bantlarına atlarlar. Bu durum yarıiletkenlerde sıcaklık arttıkça yük taşıyıcılarının hareket alanı bulduğu anlamına gelir. Yük taşıyıcılarının sıcaklıkla artması iletkenlerin aksine yarıiletkenlerde iletimin sıcaklıkla artmasına neden olmaktadır. Elektronun iletim bandına atlaması için gerekli olan minimum enerji valans bandının üst sınırı ile iletim bandının alt sınırı arasındaki enerji aralığına eşit enerji miktarıdır. Bu aralığa yasak enerji aralığı ( $E_g$ ) denir.



Şekil 2.2. (a) iki atomun (b) altı atomun (c) n atomun (http-1) ve (d) karbon atomlarının aralarındaki mesafeye bağlı olarak enerji düzeylerinin yarılmaları (http-2)



Şekil 2.3. Yarıiletkenlerde (a) T=0 K'da (b) T>0 K'da yük taşıyıcılarının durumu

### 2.3. Fermi Enerji Seviyesi

Pauli'nin dışarlama ilkesine uyan parçacıklara Fermi parçacıkları denir. Fermi enerjisi ( $E_F$ ) mutlak sıcaklık 0 K'da elektronların bulunabileceği maksimum enerji seviyesidir. Bir maddenin enerji durumu sıfırdan başlanarak doldurulursa Fermi enerjisi hesaplanabilir. Bir metaldeki Fermi enerjisi mutlak sıcaklık 0 K'de Allison (1989) tarafından Eşitlik 2.1' deki gibi ifade edilir.

$$E_F = \frac{h^2}{8m_e} \left( \frac{3n}{\pi} \right)^{\frac{2}{3}} \quad (2-1)$$

Burada;  $h$ , plank sabitini

$m_e^*$ , elektronun etkin kütlesini

$n$ , birim hacimdeki serbest elektron sayısını ifade etmektedir.

### 2.4. Elektron İstatistiği

Yarıiletkenler elektron ve hole yoğunlukları bakımından has (intrinsic) ve kataklı (extrinsic) olmak üzere iki grupta incelenirler. Önceki kesimlerde de belirtildiği gibi valans elektronları ısıl veya foton yardımıyla uyarılırlar ve iletim bandına atlarlar. Bu nedenle iletim bandında elektronlar valans bandında ise hole'ler meydana gelir.

Yarıiletkenlerin elektriksel iletkenliğini bilmek için serbest yük taşıyıcılarının (elektronlar ve hole'ler) yoğunlıklarının bilinmesi gereklidir. Bunun için uygun bir dağılım fonksiyonu kullanılmalıdır. Bu çalışmada enerji miktarının elektronlar ve hole'ler arasındaki muhtemel dağılımını yani kaç tane parçacığın hangi enerjide bulunduğu belirlemeye Fermi-Dirac dağılım fonksiyonu kullanılmıştır.

İstatistiksel mekanikte herhangi spinli özdeş parçacıklar (gaz molekülleri) için Maxwell-Boltzman, sıfır ve tam sayı spinli özdeş parçacıklar (fotonlar) için Bose-Einstein ve 1/2 spinli özdeş parçacıklar (elektronlar) için Fermi-Dirac dağılım fonksiyonu kullanılır. Fermi-Dirac dağılım fonksiyonu

$$f_{(E)} = \frac{1}{e^{(E-E_F)/kT} + 1} \quad (2-2)$$

ile verilir.

Burada; E, herhangi bir enerji seviyesini

$E_F$ , Fermi enerji seviyesini

k, Boltzman sabitini

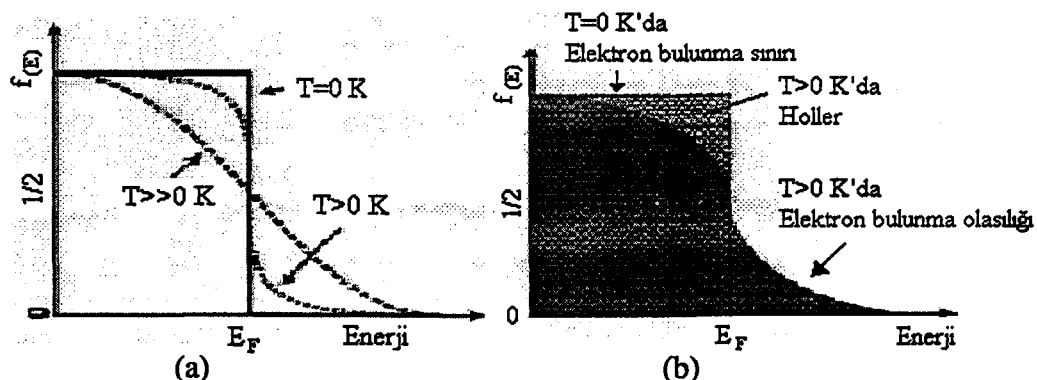
T, sıcaklığı ifade etmektedir (Sze 1985 ve Singh 1995).

Şekil 2.4'de görüldüğü gibi T=0 K'da  $f_{(E)}$  kare şeklindedir ve  $E_F$  ile sınırlıdır. T sıcaklığı 0 K'yi geçtikten sonra doğru orantılı olarak fonksiyon  $E_F$ 'nin altında azalma  $E_F$ 'nin üzerinde artma gösterir. T=0 K'da  $E_F$ 'ye kadar enerji durumları tamamen elektronla doludur ve hole bulunmamaktadır, T=0 K'yi geçtikten sonra enerji alan elektronlar üst seviyelere çıkarlar ve geride hole'ler bırakırlar.

Birim enerji aralığındaki yörünge sayısına durum yoğunluğu ( $D_{(E)}$ ) denir ve

$$D_{(E)} = \frac{V}{2\pi^2} \left( \frac{2m^*}{\hbar^2} \right)^{3/2} (E)^{1/2} \quad (2-3)$$

eşitliği ile verilir (Kittel 1996).



Şekil 2.4. (a) T=0 K'da ve T>0 K'da Fermi dağılım fonksiyonu (b) T=0 K'da ve T>0 K'da elektronların enerji durumlarını doldurma olasılığı (http-3)

İletim bandı için Fermi-Dirac dağılım fonksiyonu ele alınırsa  $E \gg E_F$  olur.

Bu durumda  $f_{(E)e}$  ve  $D_{(E)e}$

$$f_{(E)e} \approx e^{(E_F - E)/kT} \quad (2-4)$$

$$D_{(E)e} = \frac{1}{2\pi^2} \left( \frac{2m_e^*}{\hbar^2} \right)^{3/2} (E - E_c)^{1/2} \quad (2-5)$$

ifadeleri ile verilir. İletim bandındaki elektron yoğunluğu ( $n$ )

$$n = \int_{E_c}^{\infty} D_{(E)e} f_{(E)e} dE = \frac{1}{2\pi^2} \left( \frac{2m_e^*}{\hbar^2} \right)^{3/2} e^{E_F/kT} \int_{E_c}^{\infty} (E - E_c)^{1/2} e^{-E/kT} dE \quad (2-6)$$

ifadesi ile verilir. Buradan

$$n = 2 \left( \frac{m_e^* k T}{2\pi \hbar^2} \right)^{3/2} e^{(E_F - E_c)/kT} = N_c e^{(E_F - E_c)/kT} \quad (2-7)$$

elde edilir.

Burada;  $N_c$ , iletim bandındaki etkin durum yoğunluğuudur.

Valans bandındaki hole yoğunluğu ( $p$ ) ele alınırsa  $E_F \gg E$  olur. Bu durumda

$$f_{(E)h} = 1 - f_{(E)e} \quad (2-8)$$

$$f_{(E)h} \approx e^{(E - E_F)/kT} \quad (2-9)$$

eşitliği elde edilir. Hole için durum yoğunluğu

$$D_{(E)h} = \frac{1}{2\pi^2} \left( \frac{2m_h^*}{\hbar^2} \right)^{3/2} (E_v - E)^{1/2} \quad (2-10)$$

ifadesi ile verilir. Valans bandındaki hole yoğunluğu

$$p = \int_{-\infty}^{E_c} D_{(E)h} f_{(E)h} dE = 2 \left( \frac{m_h^* kT}{2\pi\hbar^2} \right)^{3/2} e^{(E_v - E_F)/kT} = N_v e^{(E_v - E_F)/kT} \quad (2-11)$$

eşitliği ile verilir.

Burada;  $N_v$ , valans bandındaki etkin durum yoğunluğuudur (Sze 1985; http-4; Kittel 1996; McKelvey 1966; Allison 1989 ve Singh 1995).

## 2.5. Has (Intrinsic) Yarıiletkenler

Valans elektronları uyarıldıkları zaman iletim bandına geçerler. Eğer bir yarıiletkenin iletim bandındaki elektron yoğunluğu ile valans bandındaki hole yoğunluğu birbirine eşitse bu tip yarıiletkenlere has (intrinsic) yarıiletkenler denir.

Eşitlik 2-6 ve 2-11 çarpılırsa

$$np = n_i^2(T) \quad (2-12)$$

şeklinde elde edilir.

Bu çarpım elektronların ve hole'lerin yoğunlıklarının çarpımının sadece sıcaklığına bağlı olduğunu gösterir. Fermi enerjisine bağımlı olmayan bu denklem mass action yasası olarak bilinir (Sze 1985 ve http-4).

Has yarıiletkenlerin hole ve elektron taşıyıcı yoğunlukları birbirine eşitse  $n = p = n_i$  denilebilir. Buradan  $n_i = \sqrt{np}$  elde edilir.

$$n_i = 2 \left( \frac{kT}{2\pi\hbar^2} \right)^{3/2} (m_e^* m_h^*)^{3/4} e^{-E_g/2kT} \quad (2-13)$$

elde edilir. Eşitlik 2-6 ve 2-11 birbirine eşitlenirse

$$E_F = \frac{E_v + E_c}{2} + \frac{3}{4}kT \ln\left(\frac{m_h^*}{m_e^*}\right) \quad (2-14)$$

eşitliği elde edilir (Sze 1985 ve http-4).

Eşitlik 2-14'te T sıcaklığı 0 alınırsa has yarıiletkenlerde  $E_F$  için

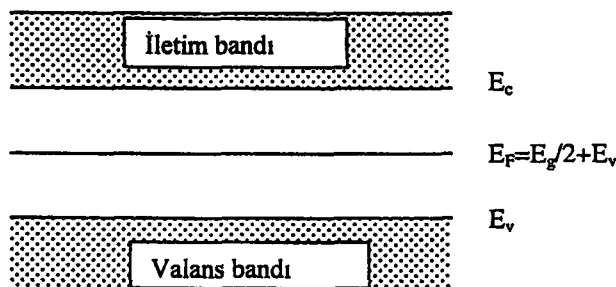
$$E_F = \frac{E_v + E_c}{2} \quad (2-15)$$

eşitliği elde edilir.

Burada;  $E_v$ , valans bandının üst enerji seviyesini

$E_c$ , iletim bandının alt enerji seviyesini ifade etmektedir.

Şekil 2.5'te  $T=0$  K'da has yarıiletkenlerde Fermi enerji seviyesi görülmektedir. Eşitlik 2-15'te elde edildiği gibi Fermi enerji seviyesi  $T=0$  K'da  $E_v$  ile  $E_c$  nin toplamının yarısına denk gelmektedir. Bu durum Fermi enerji seviyesinin iletim bandı ile valans bandının tam ortasında bulunmasına neden olmaktadır. Bir yarıiletkende yasak enerji aralığı( $E_g$ )  $E_c-E_v$ 'ye denk gelmektedir. Eşitlik 2-15'te gerekli değişiklikler yapılarsa  $E_F$  seviyesi  $E_g/2+E_v$ 'ye eşit olur. Bu  $E_F$ 'nin, aynı zamanda  $E_v$ 'den  $E_g/2$  kadar daha yukarıda olduğu veya  $E_c$ 'den  $E_g/2$  kadar aşağıda olduğu anlamına gelmektedir.



Şekil 2.5. Has yarıiletkenlerde  $T=0$  K'da Fermi enerjisi seviyesi

## 2.6. Katkılı (Extrinsic) Yarıiletkenler

Has yarıiletkenlerde elektriksel iletim eşit miktarlardaki elektronlar ve hole'ler vasıtasyyla sağlanmaktadır.

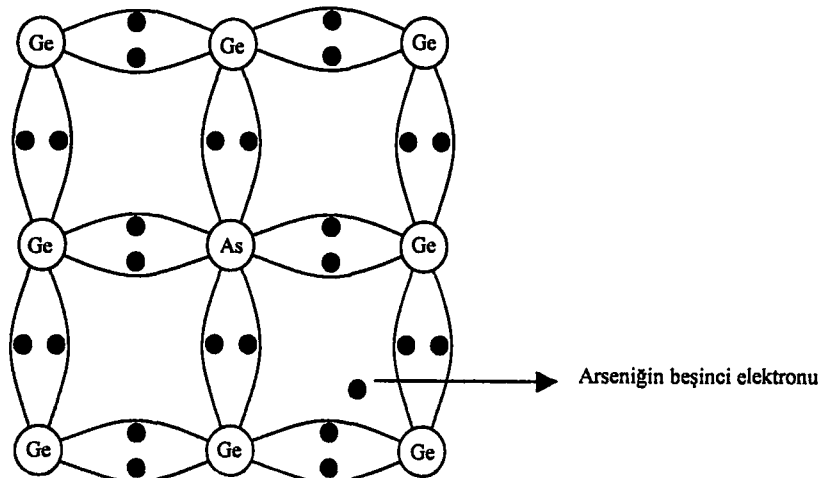
Yarıiletkeye uygun başka bir atom katkilanırsa yarıiletkenin iletim bandındaki elektron yoğunluğunun valans bandındaki hole yoğunluğuna olan eşitliği bozulur. Bu durumda iletim ya büyük ölçüde iletim bandındaki elektronlarla ve kısmen de valans bandındaki hole'lerle ya da valans bandındaki hole'ler ve kısmen de iletim bandındaki elektronlarla sağlanır. Bu tür yarıiletkenlere katkılı yarıiletkenler denir.

### 2.6.1. n-tipi yarıiletkenler

Yarıiletkenlerde iletim çoğunlukla iletim bandındaki elektronlarla sağlanıyorsa bu tip yarıiletkenlere n-tipi yarıiletkenler denir. Bu tip yarıiletkenlerde elektron yoğunluğu hole yoğunluğundan çok fazladır.

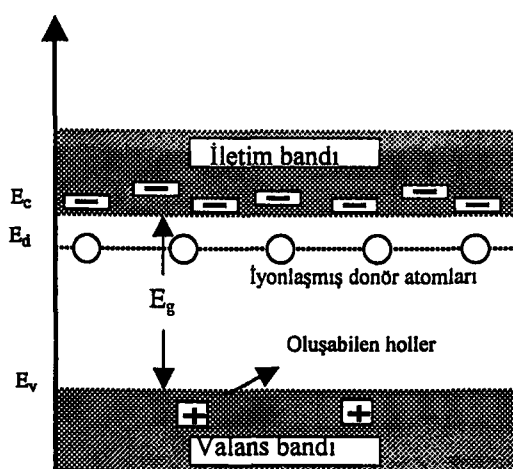
IV. grup elementlerinden Si veya Ge ele alınırsa her iki element de komşu dört atomla, dört valans elektronu aracılığıyla kovalent bağ yapısında bulunurlar. Bu elementlere periyodik sıralımın V. grup elementlerinden herhangi birisi katkilanırsa valansı beş olan katkı atomları örgüdeki ara yerlere değil normal atomların yerine geçerler (Kittel 1996). V. grup elementlerinin valans elektron sayıları beşir ve bunların dört elektronu Si veya Ge ile kovalent bağ yaparlar. V. grup atomun kovalent bağa katılmayan bir elektronu atoma çok zayıf bağlı olur. Zayıf bağlı olan bu elektronun iletim bandına geçmesi kolaylaşır. Oda sıcaklığında bile zayıf bağlı beşinci elektronlar iletim bandına kolayca atlayabilir.

Şekil 2.6'da As elementi katkilanmış Ge kristali görülmektedir. As beş valans elektronuna sahip bir elementtir. As'nin dört valans elektronu ile Ge'nin dört valans elektronu ortak kullanılır ve aralarında ortak kullanımdan dolayı kovalent bağ oluşur. As'nin kovalent bağa katılmayan beşinci elektronu As atomuna çok zayıf bağlı hale geçer. As atomuna çok zayıf bağlı olan beşinci elektron düşük bir enerjiyle bile iletim bandına atlar ve dolayısıyla As atomu çok kolay iyonlaşır.



Şekil 2.6 As katkılılmış Ge kristali (Oral 1979)

Elektronunu çok kolay veren bu tür atomlara donör atomları denir. Donör atomlarının beşinci elektronları atomunu çok kolay terk eder ve katkı atomları iyonlaşırlar. Şekil 2.7'de görüldüğü gibi donör enerji seviyesi iletim bandına yakın bir yerde bulunur. Donör atomlarının enerji seviyesi valans bandının içinde olmadığı için iyonlaşsalar yani hole sahip bile olsalar oluşan hole'ler iletme katılamazlar. İletime çoğunluk olarak iletim bandındaki beşinci elektronlar ve az sayıda valans bandından iletim bandına atlayan elektronlar ve geride bıraktıkları hole'ler katılır. Çoğunluk taşıyıcılar daima elektronlardır.



Şekil 2.7. Donör atomların enerji düzeyi (Oral 1979)

Donör enerji seviyesi RJ Nicholas (http-4) tarafından

$$E_d = \frac{1}{\epsilon_r^2} \left( \frac{m_e^*}{m_e} \right) E_H \quad (2-16)$$

şeklinde verilir.

Burada;  $E_H$ , hidrojen atomunun iyonlaşma enerjisini  
 $\epsilon_r$ , yarıiletkenin bağıl dielektrik sabitini ifade etmektedir.

Yarıiletkenlerde katkı atomlarına bağlı olarak Fermi enerji seviyesi de  
değişir.  $E_F$

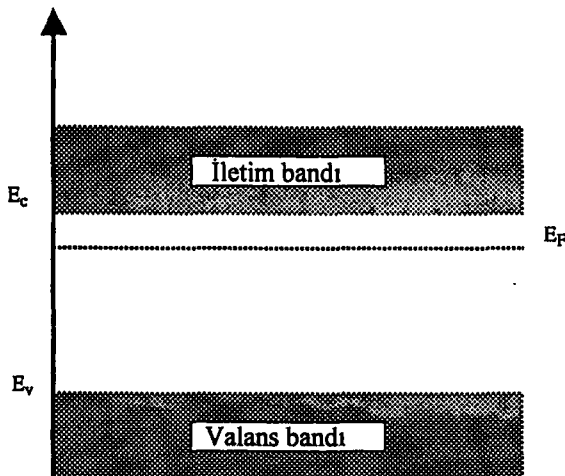
$$E_F = E_Fi + kT \sinh^{-1} \left( \frac{N_D - N_A}{2n_i} \right) \quad (2-17)$$

ifadesiyle verilir.

Burada;  $E_{Fi}$ , has yarıiletkenin Fermi seviyesini  
 $N_D$ , donör yoğunluğunu  
 $N_A$ , akseptör yoğunluğunu ifade etmektedir.

Fermi seviyesi ( $N_D - N_A$ )'ya bağlıdır (McKelvey 1966).

Has bir yarıiletkene elektron verici atomlar katkılansırsa ortamda bağ  
oluştuktan sonra fazladan elektron kalır. Elektronlar mutlak sıcaklık 0 K'da taban  
enerji durumundan başlayarak numunenin enerji durumlarını Pauli dışarlama  
ilkesine göre doldururlar. Fazladan kalan bu elektronlar numunenin enerji  
durumlarına katılır ve bir miktar da bunlar numunenin enerji durumlarını işgal  
ederler. Dolayısıyla Şekil 2.8'de görüldüğü gibi mutlak sıcaklık 0 K'da  
elektronların alabileceği maksimum enerji seviyesi artar. Yani Fermi enerji  
seviyesi yükselir ve iletim bandına doğru kayar.



Şekil 2.8. n-tipi yarıiletkenlerde Fermi enerji seviyesi (Allison 1989)

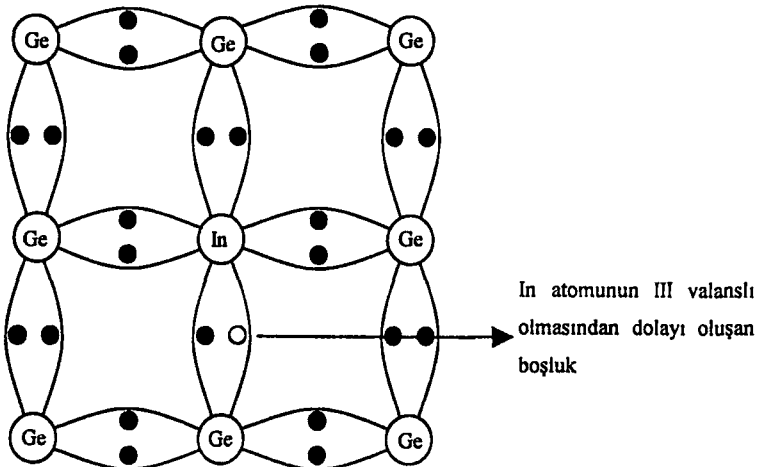
### 2.6.2. p-tipi yarıiletkenler

Bir yarıiletkende elektriksel iletim çoğunlukla hole'ler sayesinde oluyorsa bu tip yarıiletkenlere p-tipi yarıiletkenler denir. p-tipi yarıiletkenlerde hole yoğunluğu elektron yoğunluğundan çok fazladır.

IV. grup elementlerinden Si ve Ge ele alınırsa önceki konuda da bahsedildiği gibi bunların her atomu diğer atomlarla dörtlü kovalent bağ yapısındadır. IV. grup elementlerinden Si ve Ge içine III. grup elementlerinden birisi katkılansınrsa, III. grup elementi Si veya Ge ile kovalent bağ yapar. Fakat III. grup elementlerinin valans elektronları üç olduğu için sadece üç elektronu kovalent bağa katılırlar. Bu durumda oluşması gereken dördüncü kovalent bağıda bir elektron eksikliği (hole) meydana gelir. Bu tip yarıiletkenlerde elektriksel iletimler hole'ler sayesinde olur.

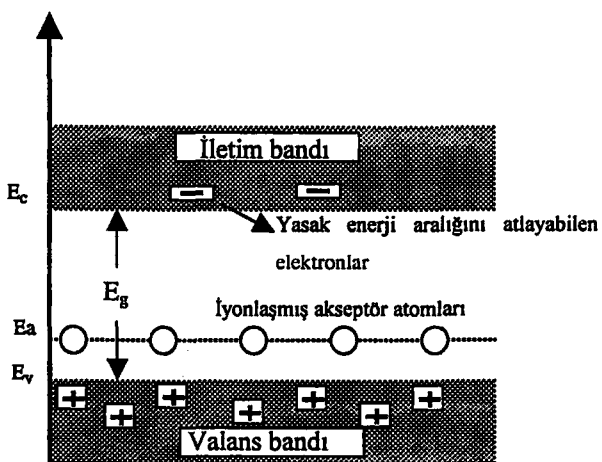
Şekil 2.9'da indiyum atomu katkıllanmış germanyum kristali görülmektedir. In atomunun valans elektron sayısı üçtür. Dolayısıyla In atomunun sadece üç elektronu Ge atomlarıyla bağ yapar. Bu da In ve Ge arasındaki dördüncü bağıda bir eksiklik (hole) oluşmasına neden olur.

Bu tip yarıiletkenlerde Şekil 2.10'da görüldüğü gibi çoğunluk taşıyıcı hole'lerdir. Ortamda az miktarda da olsa ışıl veya foton yardımıyla enerji aralığını atlayan elektronlar ve bunların valans bandında bıraktıkları hole'ler vardır.



Şekil 2.9. In atomu katkılanmış Ge kristali (Oral 1979)

Elektron alıcı olarak davranış gösteren bu katkı atomlarına elektron alıcı (akseptör) atomları denir. Şekil 2.10'da akseptör enerji seviyesi görülmektedir. Akseptör enerji seviyesi valans bandına yakın bir noktadadır ve akseptör atomları da düşük bir enerjiyle iyonlaşırlar. Yalnız donör atomlarından farklı olarak akseptör atomları elektron alarak iyonlaşırlar. Bunun sonucu olarak valans bandında boşluklar bırakırlar. Akseptör enerji seviyesi iletim bandının içinde olmadığı için aldığı elektronlar iletme katılmazlar. İletime çoğunluk olarak hole'ler az sayıda da yasak enerji aralığını geçen elektronlar katkıda bulunurlar. Yani çoğunluk yük taşıyıcıları hole'lerdir.



Şekil 2.10. İyonlaşmış akseptör atomlarının yasak bant aralığındaki konumu (Oral 1979)

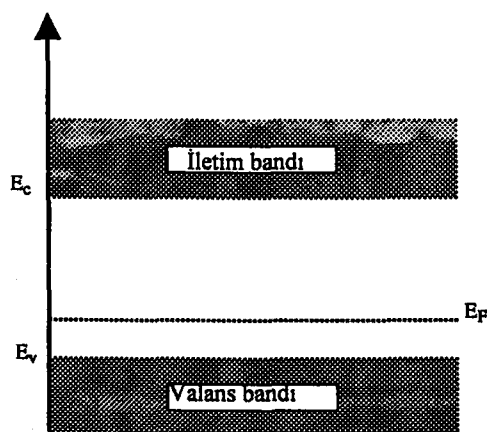
Akseptör enerji seviyesi RJ Nicholas (<http://4>) tarafından

$$E_a = \frac{1}{\epsilon_r^2} \left( \frac{m_h^*}{m_e} \right) E_H \quad (2-18)$$

bağıntısıyla verilmiştir.

p-tipi yarıiletkenlerde Fermi enerji seviyesi Şekil 2.11'de gösterilmiştir. p-tipinde Fermi enerji seviyesi n-tipine göre daha farklıdır. Katkılanan atomlarda kovalent bağ için gerekli elektron sayısı bir tane eksiktir. Bu durumda mutlak sıcaklık 0 K'da numunenin enerji durumu eksik elektrondan dolayı has yarıiletkeninkine göre daha az dolar. Bu da Fermi enerjisinin valans bandına yani aşağıya kaymasına neden olur.

Yarıiletkenlerin tipini (p, n) belirlemeye genellikle sıcak uç (hot-probe) yöntemi kullanılır. Bu yöntem oldukça basit ve yarıiletkenlerin tipini belirlemeye güvenilir bir yöntemdir. Bu yöntemde tipi belirlenecek yarıiletkenin iki ucuna birer metalleştirilir. Metal uçlardan birisi ısıtılp diğeri oda sıcaklığında tutulur. Voltmetrenin pozitif ucu ısıtılan metale diğer ucu oda sıcaklığında tutulan metale değiştirilir. Voltmetrede görünen pozitif sapma yarıiletkenin n-tipi, negatif sapma ise p-tipi olduğunu gösterir. Bunlardan n-tipi yarıiletken ele alınıp incelenirse ısıtılan bölgede donör atomları iyonlaşır ve elektronları iletim bandına atlarlar. Bu anda iyon ve elektron sayıları eşit olduğu için voltmetrede sapmaya rastlanmaz.



Şekil 2.11. p-tipi yarıiletkenlerde Fermi enerji seviyesi (Allison 1989)

Fakat termal enerji almış elektronlar difüzyon yoluyla soğuk ucu doğru hareket ederler. Bu durumda sıcak bölgedeki pozitif iyon sayısı elektron sayısını, soğuk bölgedeki elektron sayısı da pozitif yük sayısını geçer. Voltmetrenin pozitif ucu ısıtılan bölgeye, negatif ucu oda sıcaklığında tutulan bölgeye deendirilirse, voltmetre pozitif sapacak ve n-tipi belirlenecektir. n-tipi yerine p-tipi yarıiletken kullanılırsa voltmetre negatif sapacaktır.

Bu çalışmada elde edilen filmlerin tipleri sıcak-uç metodu ile ölçülmüş ve elde edilen tüm filmlerin p-tipi iletkenlik gösterdikleri saptanmıştır.

## 2.7. Elektriksel İletkenlik ve Mobilite

Yarıiletkenlerdeki elektriksel iletkenlik, iletkenlerinkine göre farklılık gösterir. Yarıiletkenlerde iletkenlik sadece iletim bandındaki elektronlarla olmaz. İletkenliğine iletim bandındaki elektronlarla birlikte valans bandındaki hole'ler de katılır.

Mobilite birim elektrik alanındaki sürüklendirme hızının (hareketliliğinin) büyüklüğüdür ve elektronlarla hole'lerin mobilitesi farklıdır. Mobilite

$$\mu_e = \frac{V_e}{E} \quad (2-19)$$

$$\mu_h = \frac{V_h}{E} \quad (2-20)$$

ifadesi ile verilir.

Burada;  $\mu_e$ , elektronun mobilitesini

$\mu_h$ , hole'ün mobilitesini

$V_e$ , elektronun sürüklendirme hızını

$V_h$ , hole'ün sürüklendirme hızını

$E$ , elektrik alanının büyüklüğünü ifade etmektedir (Kittel 1996).

Buradan da anlaşılacağı gibi elektronların ve hole'lerin sürüklendirme hızlarının büyüklüğü uygulanan elektrik alanı ile doğru orantılıdır. Numune içinde

serbest yükler birbirleriyle, örgü atomlarıyla ve katkı atomlarıyla çarpışırlar. Bu çarpışmalar serbest yüklerin saçılmasına ve net hızlarının düşmelerine sebep olurlar. Bir yarıiletkende hole'lerin ve elektronların mobilitesi birbirine eşit değildir. Bunun nedeni elektronun etkin kütlesinin hole'lerin etkin kütlesinden daha düşük olması ve valans bandı kıyısında katlılık oluşmasıdır. Katlı bantlar arası saçılmalarda hole'lerin mobilitesinin elektronun mobilitesine göre büyük ölçüde küçülmesine neden olur.

Yarıiletkende hole'lerin ve elektronların iletme katkısı vardır ve bunlar ayrı ayrı ele alınırsa,

Elektrona elektrik alanda uygulanan kuvvet  $-e\vec{E}$  ise,

$$m_e^* \vec{V}_e = -e\vec{E} \tau_e \quad (2-21)$$

$$\vec{V}_e = \frac{-e\vec{E} \tau_e}{m_e^*} \quad (2-22)$$

$$\mu_e = \frac{e \tau_e}{m_e^*} \quad (2-23)$$

$$\vec{V}_e = -\mu_e \vec{E} \quad (2-24)$$

eşitlikleri elde edilir. Aynı elektrik alanda hole uygulanan kuvvet ise  $e\vec{E}'$  dir.

$$m_h^* \vec{V}_h = e\vec{E} \tau_h \quad (2-25)$$

$$\vec{V}_h = \frac{e\vec{E} \tau_h}{m_h^*} \quad (2-26)$$

$$\mu_h = \frac{e \tau_h}{m_h} \quad (2-27)$$

$$\bar{V}_h = \mu_h \bar{E} \quad (2-28)$$

eşitlikleri elde edilir.

Burada;  $\tau_e$ , elektronların ortalama çarpışma süresini  
 $\tau_h$ , hole'lerin ortalama çarpışma süresini ifade etmektedir.

Elektrik alanda hole'lerin ve elektronların akım yoğunlukları incelenecek olursa; akım yoğunluğu ( $\bar{J}$ ) birim hacimdeki yük sayısının ( $n_a$ ), yükün ve bu yüklerin ortalama hızlarının çarpımına eşittir (Sze 1985).

$$\bar{J} = n_a e \bar{V} \quad (2-29)$$

Dikkat edilmesi gereken bir husus elektrik alanında elektronlar negatif yönde hareket ediyorlarsa, hole'ler pozitif yönde hareket ederler.

$$\bar{J}_e = -n_a e \bar{V}_e = n_e \mu_e \bar{E} \quad (2-30)$$

$$\bar{J}_h = n_a e \bar{V}_h = p_e \mu_h \bar{E} \quad (2-31)$$

Akıma her ikisi de katıldığına göre;

$$\bar{J} = e(n \mu_e + p \mu_h) \bar{E} \quad (2-32)$$

ifadesi elde edilir.

Bir materyalin öz iletkenliği ( $\sigma$ )

$$\sigma = \frac{J}{E} \quad (2-33)$$

ifadesi ile verilir (Sze 1985). Dolayısıyla yarıiletkenin öz iletkenliği;

$$\sigma = e(n\mu_e + p\mu_h) = \sigma_e + \sigma_h \quad (2-34)$$

yazılabilir. Has iletkenlerde  $n=p=n_i$  olduğuna göre has yarıiletkenin öz iletkenliği ( $\sigma_i$ ),

$$\sigma_i = 2e(\mu_e + \mu_h) \left( \frac{kT}{2\pi\hbar^2} \right)^{\frac{3}{2}} \left( m_e^* m_h^* \right)^{\frac{3}{4}} e^{-\frac{E_g}{2kT}} \quad (2-35)$$

elde edilir.

Yarıiletkenlerde sıcaklık arttığı zaman termal hareketlilik artar ve çarpışma süresi azalır, bu da akımı ters olarak etkiler. Katkı atomları yarıiletkenlerdeki saçılımaları arttırır. Bu nedenle gerekenden fazla katkı, akımı büyük ölçüde etkiler.

### **3. Cu(Zn)InS<sub>2</sub> FILMLERİNİN ELDE EDİLMESİ**

#### **3.1. Giriş**

Yüzyılın üzerinde sayısız materyaller bilimsel araştırmalardan dolayı ince film olarak hazırlanmaktadır ve halen araştırmalar devam etmektedir (Patil 1999).

Spray pyrolysis tekniği ile film elde etme çalışmalarının başlangıcı 1940'lı yıllara dayanır. Saydam SnO<sub>2</sub> bu yöntemle elde edilen ilk filmdir (Zor 1982). Spray pyrolysis tekniği ince film formundaki materyallerin çok çeşitli depolanmasında son on yıldır ana teknik olarak kullanılmaktadır. Bu sebeple son yıllarda spray pyrolysis tekniği değiştirip çeşitlendirilmiştir. Bunlar improved spray pyrolysis, corona spray pyrolysis, elektrostatik spray pyrolysis ve microprocessor based spray pyrolysis teknikleridir (Patil 1999).

Spray pyrolysis yöntemi kimyasal püskürme veya sıcak püskürme olarak da adlandırılır. Spray pyrolysis tekniği metal oksitlerin I-VI, II-VI, III-VI, IV-VI, V-VI, VIII-VI ikili bileşiklerinde I-III-VI, II-II-VI, II-III-VI, II-VI-VI, V-II-VI üçlü bileşiklerde ve çoklu bileşiklerin ince film olarak üretilmelerinde oldukça kullanışlıdır (Patil 1999).

Son yıllarda spray pyrolysis tekniği elektroseramik materyallerde yüksek sıcaklık seramik süper iletkenlerde, iyonik iletkenlerde ve karışım halindeki elektronik iletkenlerde kullanılmaktadır (Schonman 2000).

#### **3.2. Spray Pyrolysis Yöntemi**

Spray pyrolysis yöntemi, adını kendisini oluşturan iki temel aşamadan alır. Birincisi akışkan haldeki çözeltinin basınçlı taşıyıcı gaz yardımı ile çok küçük parçacıklar haline getirilmesi ve ikinci olarak kimyasal reaksiyonun ısı yardımı ile olduğu pyrolysisdir.

Spray pyrolysis, soy metaller, metal oksitler ve çoklu bileşiklerin ince filmlerini elde etmede çok iyi bilinen bir kimyasal tekniktir (Koreko ve ark. 2001).

Spray pyrolysis tekniği diğer tekniklerle kıyaslanacak olursa, diğer tekniklere göre daha avantajlıdır. Spray pyrolysis metodu, oldukça basit yapıda olmasından, gerekli tertibat yönünden daha ekonomik olmasından, üretim işleminde müdahale için elverişli yapıda olmasından, ince film üretimi için vakum ortamına ihtiyaç duyulmaması ve üretim işleminin adım adım takip edilebilmesinden dolayı diğer metotlara göre çok daha avantajlıdır (Seeber ve ark. 1999). Ayrıca bu teknik n-tipi ve p-tipi katkılamaya da izin verir (Riyad ve Ahmad-Bitar 2000).

Bu teknikte püskürtücü gaz olarak azot veya hava kullanılır.

Hazırlanacak çözeltide çözücü olarak deionize su veya etil alkol (etonol) kullanılır. Etil alkol ancak 200 °C' ye kadar kullanılabilir (Arabacı 2001).

Spray pyrolysis tekniği ile üretilen filmlerin düzgün yapıda olması için genellikle taban sıcaklığı 100-500 °C aralığında değiştirilir (Patil 1999). Bu yöntemle üretilen filmlerin fiziksel özellikleri düzeneği oluşturan elemanlara bağlıdır. Üretimecek materyalin yapısal özelliği daha çok film üretim aşamasındaki sıcaklığa, soğumaya bırakılırken ki sıcaklığa, çözelti oranlarına, çözelti ve gaz akış hızına bağlıdır (Abou-Helal ve Seeber 1997). Üretilen film kalınlıkları taban sıcaklığına, çözelti oranına, çözelti miktarına ve spray başlığının konumuna bağlıdır (Patil 1999). Filmlerin yapısı ve şekillerinde ise, başlangıçta kullanılan bileşik ve çözeltiler anahtar rol oynar (Koreko ve ark. 2001). Spray pyrolysis tekniği iki aşamada gerçekleşir. Birincisi sıcak taban üzerine spray işlemi ve daha sonraki sıcak taban üzerindeki film oluşma sürecidir (Schonman 2000 ve Bouzidi ve ark. 2002). Spray pyrolysis'in iki aşamada oluşmasının önceden istege göre tercihli iş yapılması, karışımın kontrol edilmesi ve değişik film morfolojisinin elde edilmesi ve kolayca ölçeklendirilmesi gibi çok avantajları vardır.

Birinci aşama çözeltiyi basınçla atomize edip pyrolysis'in olduğu tabana gönderilmesiyle başlanmaktadır (Schonman 2000). Birinci aşamada atomize olmuş çözelti sıcak taban üzerine homojen bir dağılım ve birleştirme etkisi olsun diye yanal yani dairesel hareketle çarptırılır.

Atomize olmuş zerreçiklerin sıcaklığı spray başlığı ve taban arasındaki sıcaklık farkından dolayı, hızı aerodinamik yapısından dolayı, büyülüğu ve bileşimi buharlaşmadan dolayı değişir. Bu değişim miktarı taşıyıcı gazın ve

çözeltinin doğasına, akış hızına, spray pyrolysis başlığı ve taban arasındaki sıcaklığa ve son olarak ta ekipmanların geometrisine bağlıdır.

Uygun deney koşulları altında atomize olmuş zerreler sıcak tabana yaklaştırıldıklarında sıvı evre ve sıcak taban arasındaki direkt teması engelleyecek şekilde zerre etrafında önce buğú oluşur. Daha sonra taban üzerinde termal etkiler sonucu kimyasal bağlar ve filmler meydana gelir (Correa-Lozano ve ark. 1996).

Spray pyrolysis tekniğinde sıcaklığındaki ilk kararsız ve dalgalı durum ortadan kalktıktan sonra spray başlığı ve sıcak taban arasında çözeltiyi etkileyen sıcaklık sabit kalır ve bu sıcaklık boyutsuz olan

$$\frac{T}{T_{\max}} = A \left( \frac{x}{h} \right)^\gamma (R_e)^\beta \quad (3-1)$$

eşitliği ile verilir.

Burada;  $x$ , zerenin sıcak tabana olan uzaklığını

$h$ , spray başlığının en alt uc kısmının sıcak tabana olan uzaklığını

$R_e$ , spray başlığının uc kısmındaki Reynold sayısını

$A$ ,  $\gamma$ ,  $\beta$ , deneysel verilerle elde edilen sabitleri

$T_{\max}$ , taban sıcaklığını ifade etmektedir.

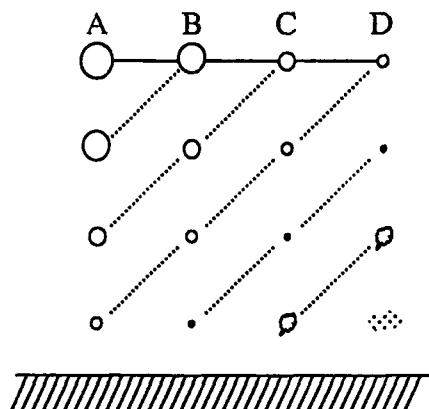
Kararlı akışlarda  $R_e$  sayısı sabit olacağından Eşitlik 3-1

$$\frac{T}{T_{\max}} = A Z \left( \frac{x}{h} \right)^\gamma \quad (3-2)$$

$$\ln \left( \frac{T}{T_{\max}} \right) = \ln A' + \gamma \ln \left( \frac{x}{h} \right) \quad (3-3)$$

değerlerini alır.  $A'$  ve  $\gamma$  sabitleri deneyelerle elde edilebilmektedir (Correa-Lozano ve ark. 1996).

Atomize olmuş zerreler tabana Şekil 3.1'de gösterildiği gibi dört farklı şekilde ulaşabilirler.



**Şekil 3.1.** Spray pyrolysis yoneminde püskürtülen çözelti damlalarının aerodinamiği (Siefert 1984)

A sürecinde zerreler büyük olduğu için çevreden absorpladığı ısı ve zerre yüzey alanı zerreyi buhar haline getirmeye yetmez. Dolayısıyla buhar olmadan tabana çarpan zerre kurur ve yüzeyde çökelti oluşur.

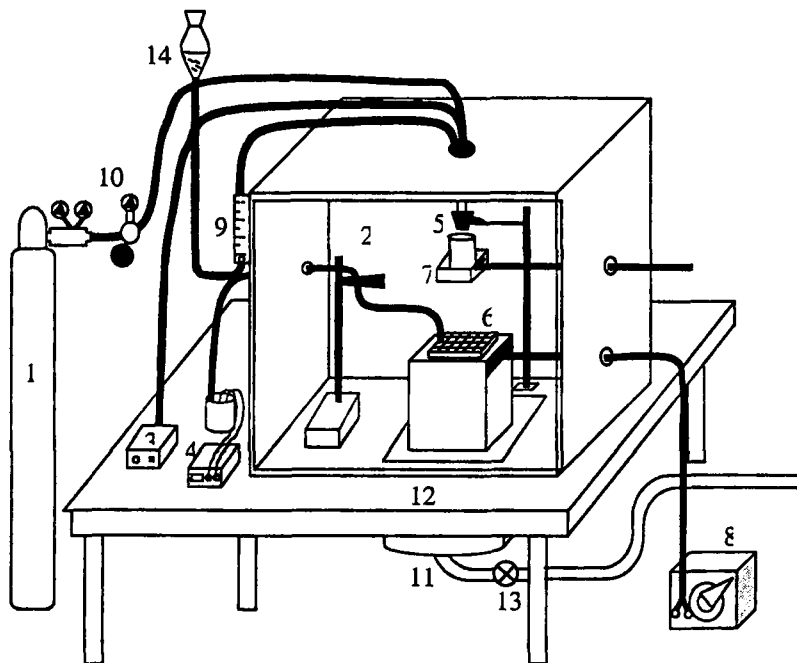
B sürecinde parçacıklar tabana vardığında buhar fazında olmazlar. Tabana varmadan önce kurur ve tabana çarparlar. Bu yüzeyde delik, çatlak ve karlamalar oluşmasına neden olur.

C sürecinde atomize zerreler en uygun şekilde düşerler. Zerreler sıcak tabana varmadan evvel buhar haline geçerler. Heterojen bir reaksiyon oluşturur ve yüzeye yapışırlar. Bu reaksiyon yüzeyde oluşan moleküllerin difizyonu, bazı moleküllerin adsorbe veya desorbe edilmesi, örgü içerisinde yerleşim ve difizyon gibi olayları içerir.

D süreci çok küçük zerreleri kapsar. Damlacıklar tabana ulaşmadan buharlaşır ve homojen reaksiyona girerler. Moleküller tabana vardığında toz halindedir ve sadece yüzeye toz halinde tutunurlar (Siefert 1984).

### 3.3. Cu(Zn)InS<sub>2</sub> Filmlerinin Elde Edilmesi

Cu(Zn)InS<sub>2</sub> filmleri Şekil 3.2'de gösterilen spray pyrolysis deney düzeneği yardımı ile elde edilmiştir.



**Şekil 3.2.** Spray pyrolysis deney seti. Burada; 1: azot gazı tüpünü, 2: spray kabinini, 3: spray başlığı kontrol ünitesini, 4: termokupl sıcaklık göstergesini, 5: spray başlığını, 6: cam tabanları, 7: sürgülü kabı, 8: güç kaynağını, 9: hacimsel debi ölçeri, 10: basınç ölçerleri, 11: çelik lavaboyu, 12: ayaklı masayı, 13: vantilatörü, 14: çözelti kabını ifade etmektedir

### 3.3.1. Çözeltilerin hazırlanışı

$\text{Cu}(\text{Zn})\text{InS}_2$  yarıiletken filmlerini elde edebilmek için Cu, Zn, In, S elementlerinin ayrı ayrı sulu çözeltileri hazırlanmıştır. Çözücü olarak deionize su kullanılmıştır.

Cu kaynağı olarak  $\text{CuCl}_2 \cdot 2\text{H}_2\text{O}$ , Zn kaynağı olarak  $\text{ZnCl}_2$ , In kaynağı olarak  $\text{InCl}_3$ , S kaynağı olarak  $\text{H}_2\text{NCSNH}_2$  (thourea) kullanılmıştır.

$\text{CuCl}_2 \cdot 2\text{H}_2\text{O}$  çözeltisi 0,01 M (molar) olacak şekilde 1 litre deionize suda 1,7049 g  $\text{CuCl}_2 \cdot 2\text{H}_2\text{O}$  tuzu kullanılarak hazırlanmıştır.  $\text{CuCl}_2 \cdot 2\text{H}_2\text{O}$  tuzu suda çok kolay çözünmektedir. Tuz manyetik karıştırıcı yardımıyla 30 dk. karıştırılarak hazır hale getirilmiştir.

$\text{ZnCl}_2$  çözeltisi 0,01 M olacak şekilde 0,5 litre deionize suda 0,681 g olacak şekilde  $\text{ZnCl}_2$  tuzu kullanılarak hazırlanmıştır.  $\text{ZnCl}_2$  tuzu suda çok kolay çözünebildiğiinden manyetik karıştırıcı yardımıyla 30 dk. karıştırılarak hazır hale getirilmiştir.

$\text{InCl}_3$  çözeltisi 0,01 M olacak şekilde 0,5 litre deionize suda 1,059 g

$\text{InCl}_3$  tuzu kullanılarak hazırlanmıştır.  $\text{InCl}_3$  tuzu bu deneylerde kullanılan diğer tuzlara göre suda daha geç çözünmüş ve manyetik karıştırıcı yardımıyla 140 dk. karıştırılarak hazır hale getirilmiştir.

$\text{H}_2\text{NCSNH}_2$  çözeltisi 0,01 M olacak şekilde 1 litre deiyonize suda %99'luk olduğu için 0,7688 g  $\text{H}_2\text{NCSNH}_2$  tuzu çözülmerek hazırlanmıştır.  $\text{H}_2\text{NCSNH}_2$  tuzu suda çok kolay çözündüğünden manyetik karıştırıcı yardımıyla 30 dk. karıştırılarak hazır hale getirilmiştir.

Cu, Zn, In, S elementlerinin iyonlarını içeren çözeltiler ayrı ayrı hazırlanmıştır. Toplam çözelti miktarı 200 mL olarak belirlenmiş ve tüm deneylerde sabit tutulmuştur.  $\text{CuInS}_2$  filmi elde edilirken 50 mL Cu, 50 mL In ve 100 mL S çözeltileri karıştırılarak kullanılmıştır. Zn,  $\text{CuInS}_2$  içerisinde çözelti miktarı % 10, 20, 30, 40 ve 50 oranlarında olacak şekilde ilave edilmiştir. %10 Zn ilave için 20 mL Zn, 45 mL Cu, 45 mL In, 90 mL S çözeltisi, %20 Zn ilave için 40 mL Zn, 40 mL Cu, 40 mL In, 80 mL S çözeltisi, %30 Zn ilave için 60 mL Zn, 35 mL Cu, 35 mL In, 70 mL S çözeltisi, %40 Zn ilave için 80 mL Zn, 30 mL Cu, 30 mL In, 60 mL S çözeltisi ve %50 Zn ilave için 100 mL Zn, 25 mL Cu, 25 mL In, 50 mL S çözeltileri ayrı ayrı ölçülp çözelti kabında karıştırılarak hazır hale getirilmiştir.

### 3.3.2. Püskürtme kabini

Püskürtme kabini 80-80-80 cm<sup>3</sup> ebatında 0.8 cm kalınlıklı suntadan yapılmıştır. Paslanmaz çelikten yapılmış bir masa üzerine sabitlenmiştir. Spray başlığına giden kablo, azot gazı hortumu, çözelti akışını sağlayan hortum ve aydınlatmayı sağlayan tertibatın kablosu için kabının tavanında bir delik bulunmaktadır. Püskürtme kabininin yan tarafında istenmeyen durumlarda spray işlemini kesmekte kullanılan sürgülü kabin kontrol edileceği bir delik vardır. Kabinin ön yüzeyi spray pyrolysis işlemini adım adım takip edebilmek için kanatlı pencereden oluşmaktadır. Kabinin alt orta kısmında içerde oluşan atık gazları dışarı atabilmek için bir delik ve buraya bağlı bir aspiratör bulunmaktadır. Kabininin iç yüzeyi dışarıya olan ısı kaybını azaltmak ve kabinin içerisinde oluşan olumsuz etkilerden korumak için alüminyum folyo ile kaplanmıştır.

### **3.3.3. Püskürtme basıncı ve seçilen basınç**

Spray pyrolysis yönteminde püskürtme basıncının bazı koşulları vardır. Basınç belli değerlerin altına düşerse çözelti damlaları atomize olmaz ve tabana damlalar halinde ulaşırlar. Bu durum iyi film üretimi için sakıncalıdır. Damla spray başlığından sıcak tabana gidene kadar bir çok değişime uğrar. Atomize olmuş damla etraftan ısı alır ve sıcak tabana varmadan önce buhar haline geçer. Basıncın fazla olması sıcaklık kontrolünü güçleştirir ve atomize parçaların yeterli ısıyı almadan tabana varmalarına neden olur. Bunlardan dolayı basınç bu iki aralıkta olmalıdır. Literatürde yapılan bir çok çalışmada basıncın genellikle 0,2-0,3 kg/cm<sup>2</sup> civarında tutulduğu gözlenmiştir.

Cu(Zn)InS<sub>2</sub> filmleri elde edilirken taşıyıcı gaz olarak azot gazi kullanılmış ve basınç 0,2 bar seçilmiştir. Ayrıca basınç ayarı spray başlığına giden hortum üzerinde 0,01 bar aralıklı 0-1 bar arasında ölçüm yapan bir manometre ile ve azot tüpü basıncı, 300 bara kadar ölçüm yapan bir manometre ile sağlanmıştır.

### **3.3.4. Isıtıcı, sıcaklık kontrolü ve seçilen sıcaklıklar**

Isıtıcı olarak direnç teli ve homojen ısı dağılımını sağlamak için direnç telinin üzerine 15x15x1,5 cm<sup>3</sup> ebatında bakır blok konulmuştur. Isıtıcı kontrolü, güç girişine bir varyak bağlanarak sağlanmış ve istenilen değerler seçilerek sabit tutulmuştur.

Ayrıca sıcaklığın mümkün olduğu kadar homojen yayılmasını yapabilmek için bakır bloğun üzeri her deneyde zımparalanıp asetonla temizlendikten sonra çeşitli ebatlarda kesilmiş mikroskop camları ile bakır blok arasına 76x26x1 mm<sup>3</sup> ebatlarında mikroskop camları aralıksız dizilmiştir.

Kesilen cam tabanların sıcaklıklarını kontrol edebilmek için iron constantan termokupl kullanılmıştır. Sıcaklık ölçme hatalarını minimuma indirebilmek için cam tabanlar ve termokupl arasına indiyum konulmuştur. Termokupl'ın üç bölümü zerreçiklerden korumak için yanmaz bant ile kaplanmış ve üst kısmına mikroskop camı yerleştirilmiştir.

Bu deneyde CuInS<sub>2</sub> filmi üretimi için taban sıcaklığı 225±5 °C, 250±5 °C

ve  $275\pm5$  °C seçilmiştir. Zn katkılama  $275\pm5$  °C taban sıcaklığında yapılmıştır.

### 3.3.5. Püskürtme başlığı ve seçilen yükseklik

Spray pyrolysis yönteminde püskürtme yapabilmek ve çözelti karışımını atomize edebilmek için spray başlığı kullanılmaktadır. Bu deneyde paslanmaz çelikten yapılmış spray başlığı kullanılmıştır.

Şekil 3.3'de spray başlığı ve atomize zerreçiklerin aerodinamiği şematik olarak gösterilmektedir.

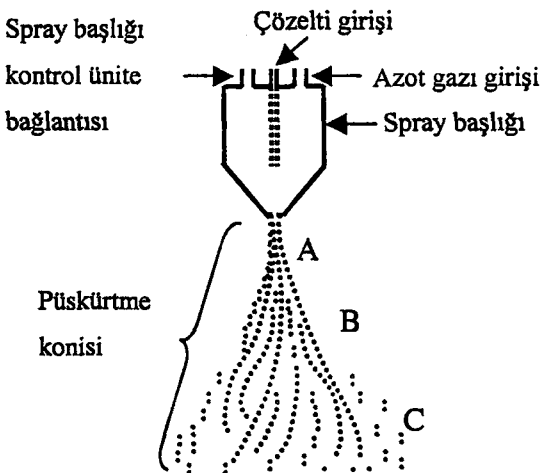
A bölgesinde spray başlığının uç noktasına gelen çözelti basınçlı azot gazı ile hızlandırılır. Bu bölgede çözelti damlacıkları birbirine yakın durumdadır.

B bölgesinde dönel hareket eden çözeltiye kesme kuvvetleri uygulanır. Çeşitli damlacıklar bu bölgede havayı yırtabilecek en küçük boyutlarına ayrırlar (atomize olurlar).

C bölgesi spray başlığının mekanik erozyonundan, hortum ve spray başlığında bulunan kalıntılarından kaynaklanır. Bu istenmeyen bir durumdur (Kul 1996 ve Aybek 1996).

Bu deneyde hortum ve başlıklardaki tortuları minimuma indirmek için her deneyden sonra çözelti akış yolundan bol miktarda deiyonize su geçirilmiştir.

$\text{Cu}(\text{Zn})\text{InS}_2$  filmelerinin üretimi sırasında spray başlığı ve sıcak taban arasındaki mesafe 29 cm seçilmiştir.



Şekil 3.3. Deneyde kullanılan spray başlığı ve püskürtme konisinin şematik gösterimi (Kul 1996 ve Aybek 1996)

### **3.3.6. Çözelti akış miktarı ve seçilen miktar (spray-rate)**

Çözelti akış miktarı Şekil 3.2'de gösterilen bir flow-metre yardımı ile hem gözlenmiş hem de flow-metrenin alt kısmında bulunan bir vana yardımı ile istenilen miktarda sabit tutulmuştur. Bu deney sırasında çözelti akış miktarı 2,5 ml/dk olarak seçilmiştir ve bütün deneylerde bu miktar sabit tutulmuştur.

### **3.3.7. Deneyin yapılışı**

Deneyde kullanılacak tüm malzemeler önce temizleme çözeltisi (kromik asit) ile temizlenmiştir.

Üzerine film üretecek 1 mm kalınlığındaki mikroskop camları  $10\pm 1 \times 10\pm 1 \text{ mm}^2$ ,  $10\pm 1 \times 13\pm 1 \text{ mm}^2$  ve  $13\pm 1 \times 26\pm 1 \text{ mm}^2$  ebatlarında kesilmiştir. Kesilen camlar önce deionize suda yıkanmış daha sonra deterjanlı deionize suda 30 dk. kaynatılmış ve tek tek asetondan geçirilerek temiz hale getirilmiştir. Ayrıca camların üzerine konulacakları bakır blok her deneyden önce zımpara ile temiz ve düz hale getirildikten sonra aseton ile silinmiştir.

Temizlenmiş bakır bloğun üzerine önce, kesilmemiş ( $26 \times 76 \times 1 \text{ mm}^3$ ) ve temizlenmiş mikroskop camları yüzeyi kapatacak kadar aralıksız dizilmiştir. Kesilen cam tabanlar,  $26 \times 76 \times 1 \text{ mm}^3$  ebadındaki camların üzerine aralıksız dizilmiş ve bir tanesinin üzerine indiyum yerleştirerek termokupl konulmuştur.

Cam tabanlar ile püskürtme başlığının arası 29 cm'ye ayarlanmıştır. Deneylerden önce birer deneme püskürtmesi yapılarak atomize parçacıklar bakır bloğun ortasına gelecek şekilde odaklanıp spray başlığı ayarlanmış ve sabitlenmiştir.

Direnç tellerine gidecek akımı açan varyak açılmış ve bakır bloğun tabanı ısıtılmıştır. Püskürtmeye başlamadan önce sıcaklık istenilen değerin  $20^\circ\text{C}$  kadar üzerine çıkarılmıştır. Sıcaklığın ilk etapta istenilenden daha fazla olmasının nedeni püskürtmeye başlandığı anda oda sıcaklığında olan çözelti ve yüzeye doğru giden azot gazı akımının bir anda sıcaklık düşmesine neden olmasıdır.

200 mL hacminde ve istenilen oranlarda hazırlanmış çözelti önceden

temizlenmiş deney setindeki çözelti kabına konulmuştur.

Sıcaklık istenilen değere ulaşınca önce azot gazı vanası sonra flowmetre'de bulunan çözelti akış vanası açılmıştır. Tüm deneylerde azot gazı basıncı 0,2 bar, çözelti akış miktarı 2,5 ml/dk sabit tutulmuş ve deneyler sırasında bu değerleri korumak için sürekli takip ve müdahale edilmiştir.

$\text{CuInS}_2$  filmleri  $225\pm 5$ ,  $250\pm 5$  ve  $275\pm 5$  °C'de elde edilmiştir. X-ışınları difraksiyonu sonucu en iyi filmelerin  $275\pm 5$  °C taban sıcaklığında üretildiği anlaşılmıştır. Bundan dolayı  $\text{CuInS}_2$  filmelerine Zn ilave etme işlemi  $275\pm 5$  °C'de yapılmıştır.

### 3.4. Elde Edilen Filmelerin Kalınlıkları

Elde edilen film kalınlıkları yoğunluk, kütle ve hacim kullanarak elde edilmiştir.

$$\rho = \frac{\Delta m}{St} \quad (3-4)$$

Burada;  $\rho$ , film yoğunluğunu

$\Delta m$ , film kütlesini

$S$ , filmin yüzey alanını

$t$ , filmin kalınlığını ifade etmektedir.

Eşitlik 3-4'ten faydalananlarak film kalınlıkları

$$t = \frac{\Delta m}{Sp} \quad (3-5)$$

eşitliği kullanılarak hesaplanmıştır.

Film küteleri  $10^4$  g hassasiyetli OHAUS ANALITICAL PLUS marka ve AP210S model elektronik terazisi kullanılarak hesaplanmıştır.

Filmlerin yüzey alanları, cam tabanların kenar uzunlukları  $10^{-5}$  m hassasiyetli mikrometre ile ölçülüp birbirine dik iki kenarın çarpılmasıyla hesaplanmıştır. Elde edilen filmelerin kalınlıkları Çizelge 3.1'de verilmiştir.

Çizelge 3.1. Filmlerin  $\mu\text{m}$  cinsinden kalınlıkları

Materyaller	Taban sıcaklığı (°C )	Azot Basıncı (bar)	Çözelti Akış Hızı (ml/dk)	Püskürtme Yüksekliği (cm)	Püskürtme Süresi (dakika)	Film Kalınlığı ( $\mu\text{m}$ )
$\text{CuInS}_2$	$225 \pm 5$	0.2	2.5	29	55	1.59
	$250 \pm 5$	0.2	2.5	29	55	1.43
	$275 \pm 5$	0.2	2.5	29	55	1.39
%10 Zn CuInS <sub>2</sub>	$275 \pm 5$	0.2	2.5	29	55	1,47
%20 Zn CuInS <sub>2</sub>	$275 \pm 5$	0.2	2.5	29	55	1,62
%30 Zn CuInS <sub>2</sub>	$275 \pm 5$	0.2	2.5	29	55	1,91
%40 Zn CuInS <sub>2</sub>	$275 \pm 5$	0.2	2.5	29	55	2,14
%50 Zn CuInS <sub>2</sub>	$275 \pm 5$	0.2	2.5	29	55	2,28

## 4. Cu(Zn)InS<sub>2</sub> FİMLERİNİN TEMEL ABSORPSİYONU

### 4.1. Giriş

İşik bir madde ile karşılaşlığında maddeyi geçebilir, madde üzerine dik gelmiyorsa kırılabilir, yansıyabilir, saçılabilir veya absorplanabilir (Skoog ve ark. 1998).

İşinlar katı, sıvı veya gaz tabakasına gönderildiğinde bazı frekanslardaki veya dalga boylarındaki işinlar absorpsiyon sonucu ortamdan alınırlar. Bu süreçte alınan işin enerjisi numuneyi oluşturan atomlara, iyonlara veya moleküllere aktarılır. Absorpsiyon bu parçacıkları oda sıcaklığı halinden daha yüksek enerjili uyarılmış hallerে çıkarır.

Kuantum teorisine göre işinın absorplanabilmesi için uyarıcı foton enerjisinin absorpsiyon yapan materyalin temel hali ile uyarılmış belirli halleri arasındaki enerji farkına eşit olması gereklidir. Bu fark her madde için özgün olduğundan absorplanan işinın frekanslarının incelenmesi numunenin bazı özelliklerini belirlemeye kullanılır (Skoog ve ark. 1998).

Bir maddenin absorpsiyon spektrumuna bakılırsa o maddenin geçirgenliği, absorbansı, absorpsiyon katsayısı, yansıtma katsayısı, kırılma indisi ve dielektrik sabiti gibi bazı optik özellikleri hakkında fikir edinilebilir (Atay 2001).

**İşinın madde tarafından absorpsiyonu**

$$\alpha t = \ln\left(\frac{I_0}{I}\right) \quad (4-1)$$

bağıntısıyla verilir.

Burada;  $I_0$ , materyale gelen işinın şiddetini

$I$ , materyalden geçen işinın şiddetini

$t$ , materyalin kalınlığını

$\alpha$ , absorpsiyon katsayısını ifade etmektedir (Krunk ve ark. 1999).

Denklemde gerekli değişiklikler yapılrsa

$$I = I_0 e^{-\alpha t} \quad (4-2)$$

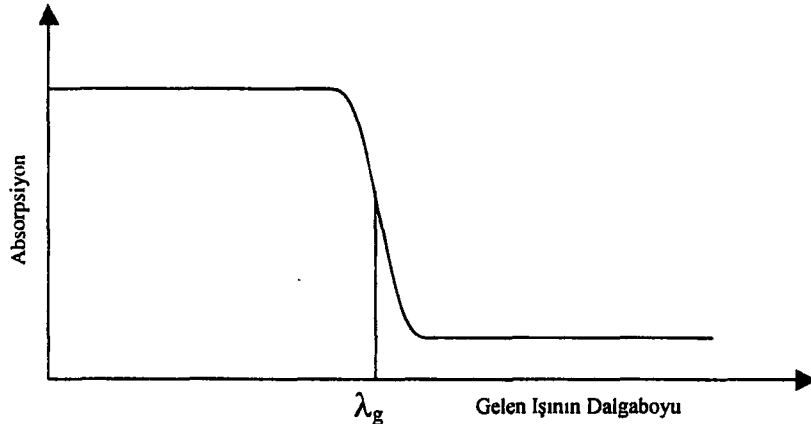
elde edilir. Buradan anlaşılabileceği gibi absorpsiyon materyalin kalınlığı ( $t$ ) ve absorpsiyon katsayısı ( $\alpha$ ) ile doğru orantılıdır.  $\alpha$  katsayısı gelen ışının dalga boyuna ve materyalin yapısına bağlıdır.

#### 4.2. Temel Absorpsiyon

Yarıiletkenlerde bant aralığı ölçümden en iyi sonucu veren yöntem optik absorpsiyon yöntemidir (Kittel 1996).

Önceki konularda da değindiği gibi bir araya gelen atomlar kristal oluştururlar ve kristalde de bantlar oluşur. Valans bandındaki elektronlar yasak enerji aralığını geçebilecek kadar enerji alırlarsa iletim bandına atlayabilirler. Valans bandındaki bir elektronun iletim bandına atlayabilmesi için gerekli minimum enerji iletim bandının alt kıyısı ile valans bandının üst kıyısı arasındaki enerji farkı kadardır. Bu aralığa yasak enerji aralığı denir.

Yarıiletkenlerde en önemli absorpsiyon valans bandındaki elektronların absorpsiyon sonucu iletim bandına atlamasıdır. Yasak enerji aralığındaki enerjiye denk enerjili ışınlarda yarıiletken çok hızlı absorpsiyon yapar. Bundan dolayı buna temel absorpsiyon (fundamental absorption) denir. Yarıiletkenler düşük frekans ve büyük dalga boylu ışınları absorplamazlar ve bunlar için saydamdır. Çünkü yüksek dalga boylu ışınlar valans bandındaki elektronlara iletim bandına geçmeleri için gerekli olan enerjiyi sağlayamazlar. Şekil 4.1'de yarıiletkenin absorpsyonu şematik olarak gösterilmiştir.  $\lambda_g$  değeri gelen ışının absorplanabilmesi için gerekli dalgaboyu sınıridir.  $\lambda_g$  değerinden büyük ışınlarda yani düşük enerjili ışınlarda yarıiletken absorplama yapmamıştır. Gelen ışının dalga boyu  $\lambda_g$  değerine ulaştığında yarıiletkenin absorpsyonu keskin bir şekilde artmış ve absorpsiyon belli bir değere ulaştıktan sonra o değerde sabit kalmıştır.  $\lambda_g$  değerinden düşük dalga boylarında yani gittikçe artan enerjili ışınlarda absorpsiyon artmaz ve sabit kalır. Çünkü bu değerden sonra absorpsyonun artması için gelen foton sayısının artması gerekmektedir. Enerji artışı foton sayısını artırmayacağı için absorpsiyon sabit kalır.



Şekil 4.1. Yarıiletkenlerde gelen işinin dalga boyuna karşı absorpsiyon grafiği

Yasak enerji aralığı  $E_g$  olan bir yarıiletken, enerjisi  $E_g$ 'ye eşit veya daha yüksek enerjili bir işin geldiğinde ( $h\nu \geq E_g$ ) yarıiletkenin absorplama yapması

$$\lambda \leq \frac{hc}{E_g} \quad (4-3)$$

eşitliğiyle ifade edilir.

Burada;  $\lambda$ , fotonun dalga boyunu

$E_g$ , yarıiletkenin yasak enerji aralığını

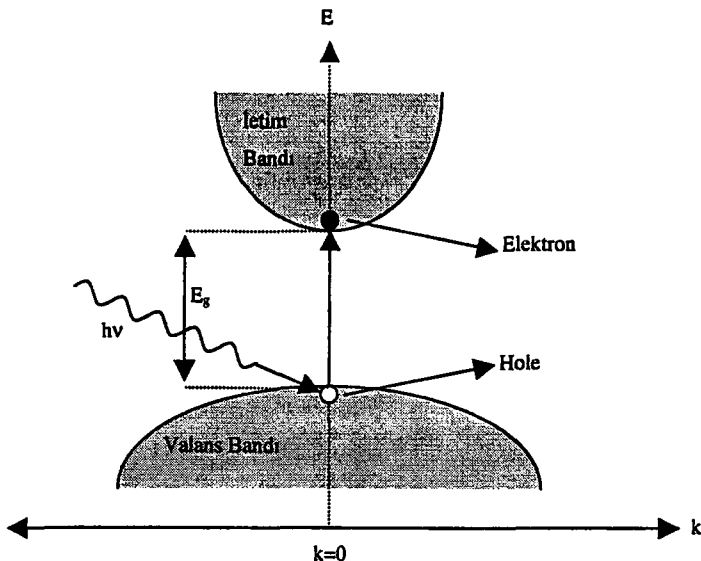
$h$ , plank sabitini

$c$ , ışık hızını ifade etmektedir.

Yarıiletkenler gelen işinları direkt ve indirekt olmak üzere iki şekilde absorplarlar.

#### 4.2.1. Direkt geçiş

Direkt geçiş Şekil 4.2'de gösterildiği gibi yarıiletkenin valans bandının maksimumu ve iletim bandının minimumu aynı  $\vec{k}$  (dalga vektörü) değerinde ise meydana gelir. Bu durumda valans bandındaki elektron,  $\vec{k}$  değerinde değişiklik olmadan bir foton soğurur ve aldığı enerjiyle iletim bandına atlar.



Şekil 4.2. Bir yarıiletkende direkt bant geçişinin şematik gösterimi

Oluşan hole ve iletim bantındaki elektron aynı  $\vec{k}$  değerinde bulunurlar.

Direkt bant geçişinde yarıiletkene gelen fotonun enerjisi ( $h\nu$ ) ile absorpsiyon katsayısı ( $\alpha$ ) arasındaki bağıntı

$$\alpha(h\nu) = B(h\nu - E_g)^n \quad (4-4)$$

şeklinde verilir.

Burada;  $B$ , geçiş olasılığına ve ortamın kırılma indisine bağlı bir sabiti

$n$ , direkt geçişlerde izinli  $1/2$  izinsiz  $3/2$  değerini, indirekt geçişlerde izinli  $2$  izinsiz  $1/3$  değerini alan bir sabiti ifade etmektedir.

$\alpha$  absorpsiyon katsayısı olup  $\alpha = 2.303A/t$  ( $A$ ; absorbans,  $t$ ; film kalınlığı) değerine eşittir (Arshak ve ark. 2002 ve El-Wahabb ve ark. 2001).  $B$  bir sabit olduğundan

$$\alpha(h\nu) \approx (h\nu - E_g)^n \quad (4-5)$$

eşitliği yazılabilir. Her iki tarafın  $1/n$ 'inci üssü alınırsa

$$(\alpha h\nu)^{1/n} \approx (h\nu - E_g) \quad (4-6)$$

eşitliği elede edilir. n izinli geçişlerde, direkt geçiş için 1/2 ve indirekt geçişler için 2 olduğundan Eşitlik 4-6 direkt geçiş için,

$$(\alpha h\nu)^2 \approx (h\nu - E_g) \quad (4-7)$$

indirekt geçişler için,

$$(\alpha h\nu)^{1/2} \approx (h\nu - E_g) \quad (4-8)$$

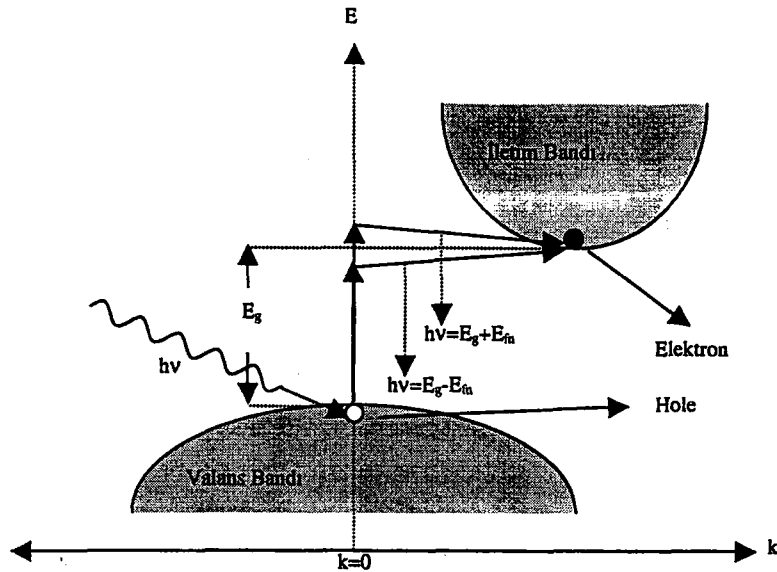
değerini alır. Yarıiletkenlerin geçiş türü ve bant aralığı belirlenirken  $(\alpha h\nu)^{1/n}$ 'in  $h\nu$ 'ye karşı grafiği çizilir, n yerine Eşitlik 4-7 ve 4-8'deki gibi 1/2 ve 2 değerleri konur.

#### 4.2.2. İndirekt geçiş

Yarıiletkenlerde indirekt geçişler Şekil 4.3'de gösterildiği gibi valans bandının maksimumu ile iletim bandının minimumu aynı  $\vec{k}$  değerinde olmadığı zaman gözlenir. Bu tür geçişler foton absorpsyonunun yanı sıra bir fonon absorplanması veya bir fonon yaratılmasıyla olur. Çünkü elektron geçisi sonucu oluşan hole ve elektronun  $\vec{k}$  değerleri birbirinden farklıdır. Bu fark, gelen fotonun momentumu çok küçük olduğundan sağlanamaz. Ancak bir fonon absorplanması ile veya üretilmesiyle sağlanır. Fononun enerji değeri  $\approx 0,01-0,03$  eV arasında olduğundan  $E_g$  değeri yanında çok küçük kalır.

Yasak bant, foton ve fonon enerjileri arasındaki bağıntı fonon sağlanuyorsa

$$E_g = h\nu + \hbar\Omega \quad (4-9)$$



Şekil 4.3. Bir yarıiletkekte indirekt bant geçişinin şematik gösterimi

Fonon yaratılıyorsa

$$E_g = h\nu - \hbar\Omega \quad (4-10)$$

eşitliği ile verilir.

Burada;  $h\nu$ , foton enerjisini

$\hbar\Omega$ , fonon enerjisini ifade etmektedir.

İndirekt bant geçişinde absorpsiyon katsayısı  $\alpha$  ile gelen foton enerjisi  $h\nu$  arasındaki bağıntı

$$\alpha h\nu = \frac{A(h\nu - E_g + \hbar\Omega)^n}{e^{\frac{\hbar\Omega}{kT}} - 1} + \frac{B(h\nu - E_g - \hbar\Omega)^n}{1 - e^{\frac{-\hbar\Omega}{kT}}} \quad (4-11)$$

eşitliği ile verilir.

Burada; A, B birer sabit

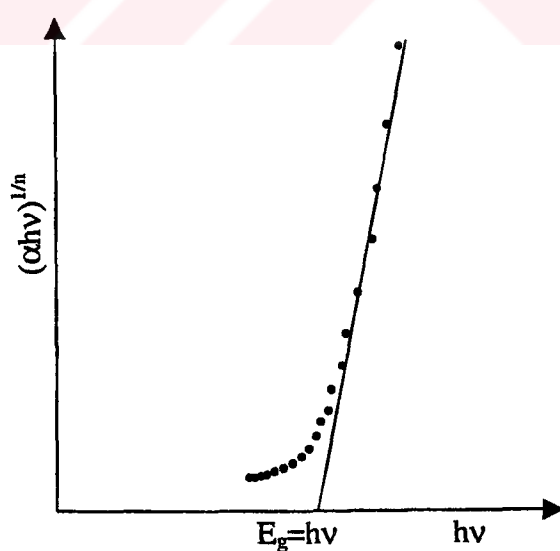
n, izinli geçişte 2 yasaklı geçişte 3 değerini alan sabitlerdir (Gaffar ve ark. 2003).

### 4.3. Cu(Zn)InS<sub>2</sub> Filmelerinin Temel Absorpsiyon Grafikleri ve Yasak Enerji Aralıkları

Spray pyrolysis ile elde edilen filmelerin UV spektrumları SCHIMADZU marka UV-2101 modeli ve UV-2401 modeli ile çekilmiştir.

Yarıiletkenin geçiş türü belirlenirken  $h\nu$  'ye karşı  $(\alpha h\nu)^{1/n}$ 'in grafikleri, direkt ve indirekt izinli geçiş için 1/2 ve 2 olan n değeri yerine konularak çizilir. Grafiklerde doğrusallıklara bakılır. En doğrusal grafik hangisinde elde ediliyorsa n'in değerine bakılıp bant türünün direkt veya indirekt olduğu belirlenir (Gaffar ve ark. 2003). Bant aralığı belirlenirken ise Şekil 4.4'deki gibi  $h\nu$  'ye karşı  $(\alpha h\nu)^{1/n}$ 'in grafiği çizilir. Elde edilen grafiğin lineer kısmının  $h\nu$  'yü kestiği nokta yasak enerji aralığını verir.

Elde edilen Cu(Zn)InS<sub>2</sub> filmelerinin  $h\nu$  'ye karşı  $(\alpha h\nu)^{1/n}$  grafikleri n yerine 1/2 ve 2 konularak çizilmiştir. Elde edilen grafiklerde n yerine 1/2 konulduğunda lineerlige rastlanmış 2 konulduğunda ise rastlanmamıştır. n direkt geçişlerde 1/2 değerini aldığından tüm filmelerin direkt bant geçişine sahip oldukları belirlenmiştir.



Şekil 4.4. Bir yarıiletkende  $(\alpha h\nu)^{1/n}$ ,in  $h\nu$ 'ye göre değişiminin grafiğinden faydalananarak yasak bant aralığının belirlenmesi

Şekil 4.5'te  $225\pm5$  °C taban sıcaklığında elde  $\text{CuInS}_2$  filminin oda sıcaklığındaki temel absorpsiyon spekturumu ve sağ üst köşede  $(\alpha h\nu)^2$ 'nin foton enerjisine göre değişimi görülmektedir. Absorbans 900 nm dalga boyundan başlayarak 400 nm dalga boyuna doğru keskin bir artış göstermiştir. Bu absorpsiyon sınırının dışında 900 nm dalga boyundan daha büyük dalga boylarında materyal hemen hemen geçirgen, 400 nm dalga boylarından küçük dalga boylarında ise kuvvetli bir soğurucu olarak davranış göstermiştir (Şekil 4.5.a). Şekil 4.5.b'deki grafiğin lineer kısmının  $h\nu$  eksenini kestiği nokta yasak enerji aralığını verecektir. Bu yasak enerji aralığı  $E_g=1,8$  eV olarak bulunmuştur.

Şekil 4.6'da  $250\pm5$  °C taban sıcaklığında elde edilen  $\text{CuInS}_2$  filminin oda sıcaklığındaki temel absorpsiyon spekturumu ve  $(\alpha h\nu)^2$ 'nin foton enerjisine göre değişimi görülmektedir. Absorpsiyonun büyük dalga boylarından başlayarak foton enerjisine bağlı olarak sürekli bir şekilde yükseldiği ve temel absorpsiyon bölgesinin net bir şekilde ayırt edilebileceği Şekil 4.6.a'da görülmektedir. Şekil 4.6.b'den enerji bant aralığı  $E_g=1,51$  eV olarak bulunmuştur.

Taban sıcaklığının  $275\pm5$  °C olduğunda elde edilen  $\text{CuInS}_2$  filminin oda sıcaklığındaki temel absorpsiyon spekturumu ve  $(\alpha h\nu)^2$ 'nin foton enerjisine göre değişiminin grafiği Şekil 4.7'de görülmektedir. Şekil 4.7.b'den bulunan enerji bant aralığı 1,75 eV dur.

$275\pm5$  °C taban sıcaklığında üretilen %10 Zn ilaveli  $\text{CuInS}_2$  filminin oda sıcaklığındaki temel absorpsiyon spekturumu Şekil 4.8.a'da,  $(\alpha h\nu)^2$ 'ye karşı  $h\nu$  grafiği Şekil 4.8.b'de görülmektedir. Absorpsiyon grafiği incelenirse, 800 nm den 400 nm ye kadar artan bir absorpsiyon grafiğine rastlanmaktadır. Hızlı artış ise 750 nm ve 400 nm arasında olmaktadır. Şekil 4.8.b'den yasak enerji bant aralığı 2,4 eV olarak bulunmuştur.

$275\pm5$  °C taban sıcaklığında üretilen %20 Zn ilaveli  $\text{CuInS}_2$  filminin oda sıcaklığındaki temel absorpsiyon spekturumu Şekil 4.9.a'da,  $(\alpha h\nu)^2$ 'ye karşı  $h\nu$  grafiği Şekil 4.9.b'de görülmektedir. Absorpsiyonun 700 nm ile 400 nm arasında hızlı bir şekilde arttığı gözlenmektedir.  $(\alpha h\nu)^2$ 'ye karşı  $h\nu$  grafiği incelenirse yasak enerji bant aralığının 2,5 eV olduğu görülmektedir.

$275\pm5$  °C taban sıcaklığında üretilen %30 Zn ilaveli  $\text{CuInS}_2$  filminin oda sıcaklığındaki temel absorpsiyon spekturumu Şekil 4.10.a'da,  $(\alpha h\nu)^2$ 'ye karşı  $h\nu$

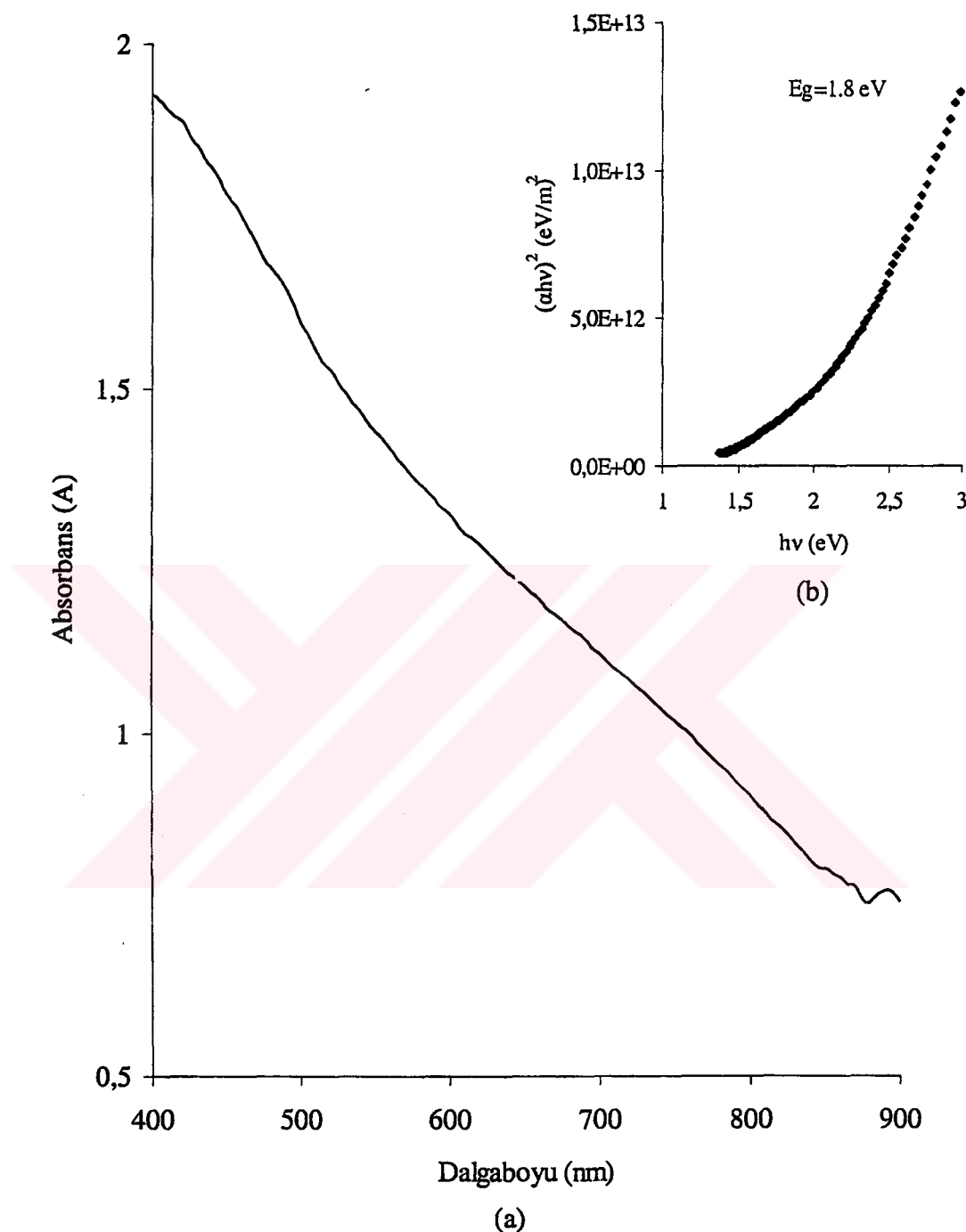
grafiği Şekil 4.10.b'de görülmektedir. Absorpsiyon 600 nm ile 400 nm arasında hızlı bir artış göstermektedir. Şekil 4.10.b'den  $(\alpha h\nu)^2$ 'ye karşı  $h\nu$  grafiği incelenirse yasak bant aralığının 2,55 eV olduğu görülmektedir.

$275 \pm 5$  °C taban sıcaklığında üretilen %40 Zn ilaveli CuInS<sub>2</sub> filminin oda sıcaklığındaki temel absorpsiyon spekturumu Şekil 4.11.a'da,  $(\alpha h\nu)^2$ 'ye karşı  $h\nu$  grafiği Şekil 4.11.b'de görülmektedir. Bu filmde absorpsiyon 650 nm ve 400 nm arasında hızlı bir artış göstermektedir.  $(\alpha h\nu)^2$ 'ye karşı  $h\nu$  grafiğinden yararlanılarak yasak enerji bant aralığı 2,6 eV olarak bulunmuştur.

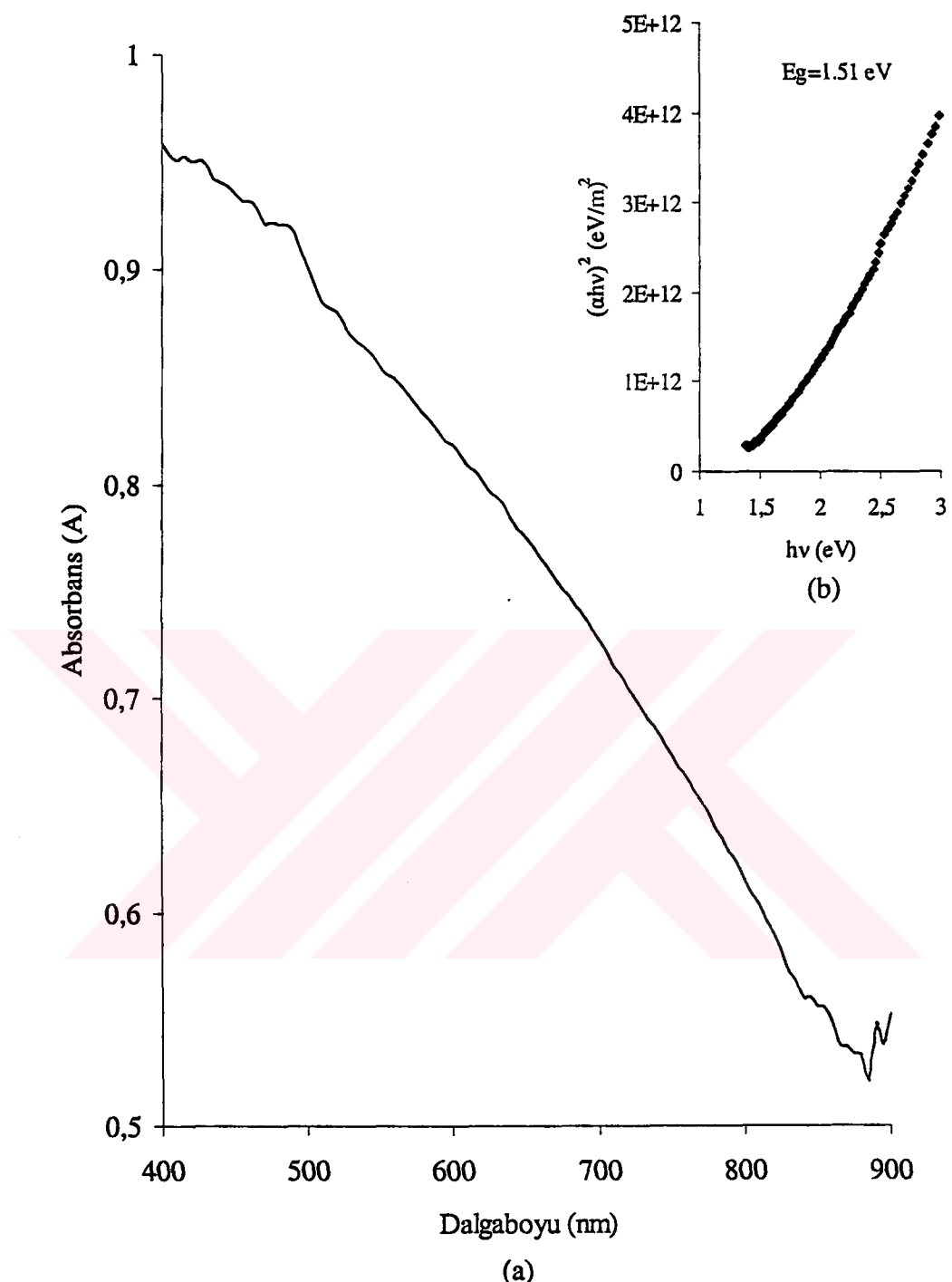
$275 \pm 5$  °C taban sıcaklığında üretilen %50 Zn ilaveli CuInS<sub>2</sub> filminin oda sıcaklığındaki temel absorpsiyon spekturumu Şekil 4.12.a'da,  $(\alpha h\nu)^2$  ye karşı  $h\nu$  grafiği Şekil 4.12.b'de görülmektedir. Absorpsiyonun 680 nm ve 400 nm aralığında çok hızlı arttığı absorpsiyon grafiğinden görülmektedir.  $(\alpha h\nu)^2$  ye karşı  $h\nu$  grafiğinden yasak enerji bant aralığı 2,7 eV olarak saptanmıştır.

Buradan CuInS<sub>2</sub> yarıiletkeni içerisinde %10-50 arasında değişen oranlarda Zn ilave etmek suretiyle, enerji bant aralığının hissedilir bir biçimde arttığı gözlenmiştir.

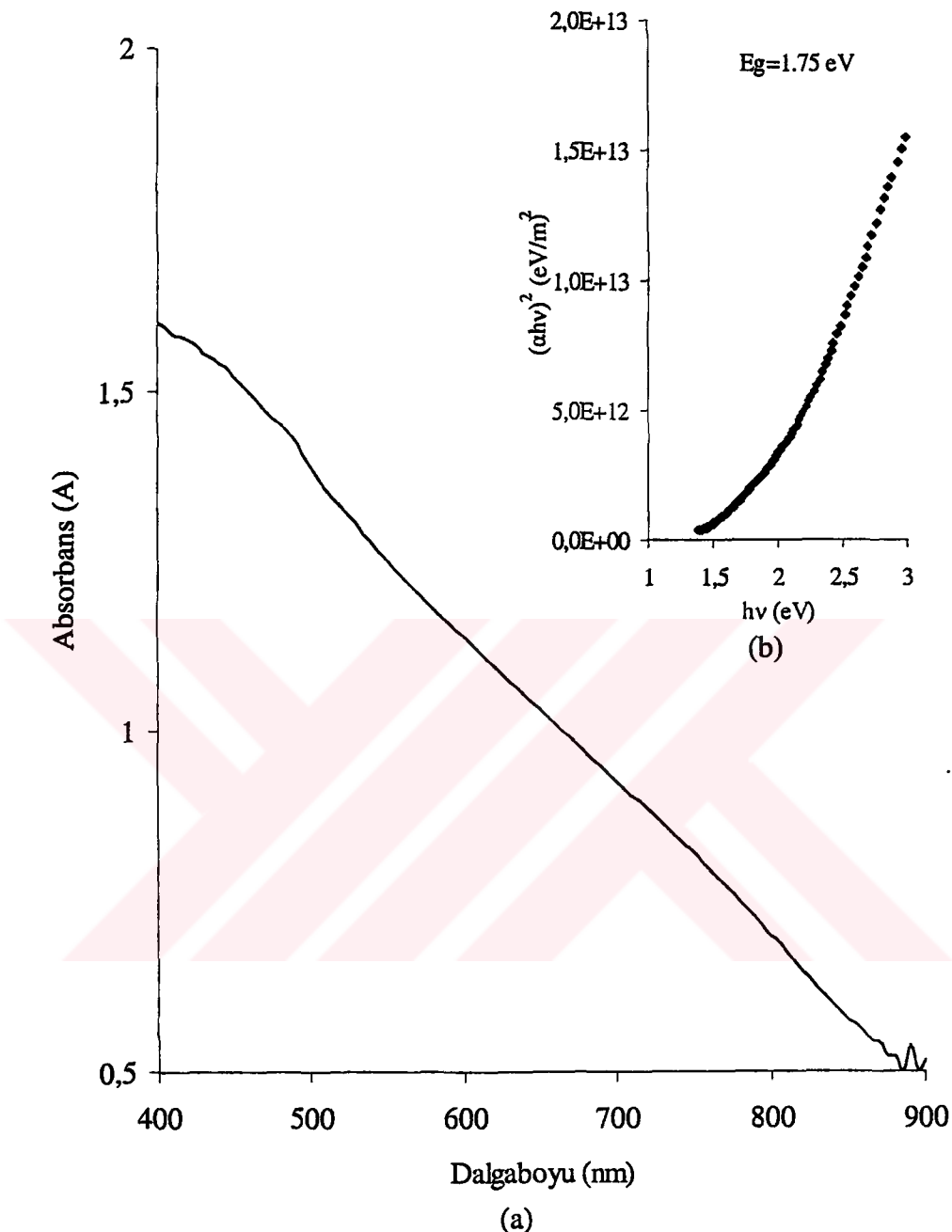
Ayrıca filmlerin iletkenlik türleri hot-probe (sıcak-uç) metodu ile denenmiş ve p-tipi iletkenlik gösterdikleri saptanmıştır.



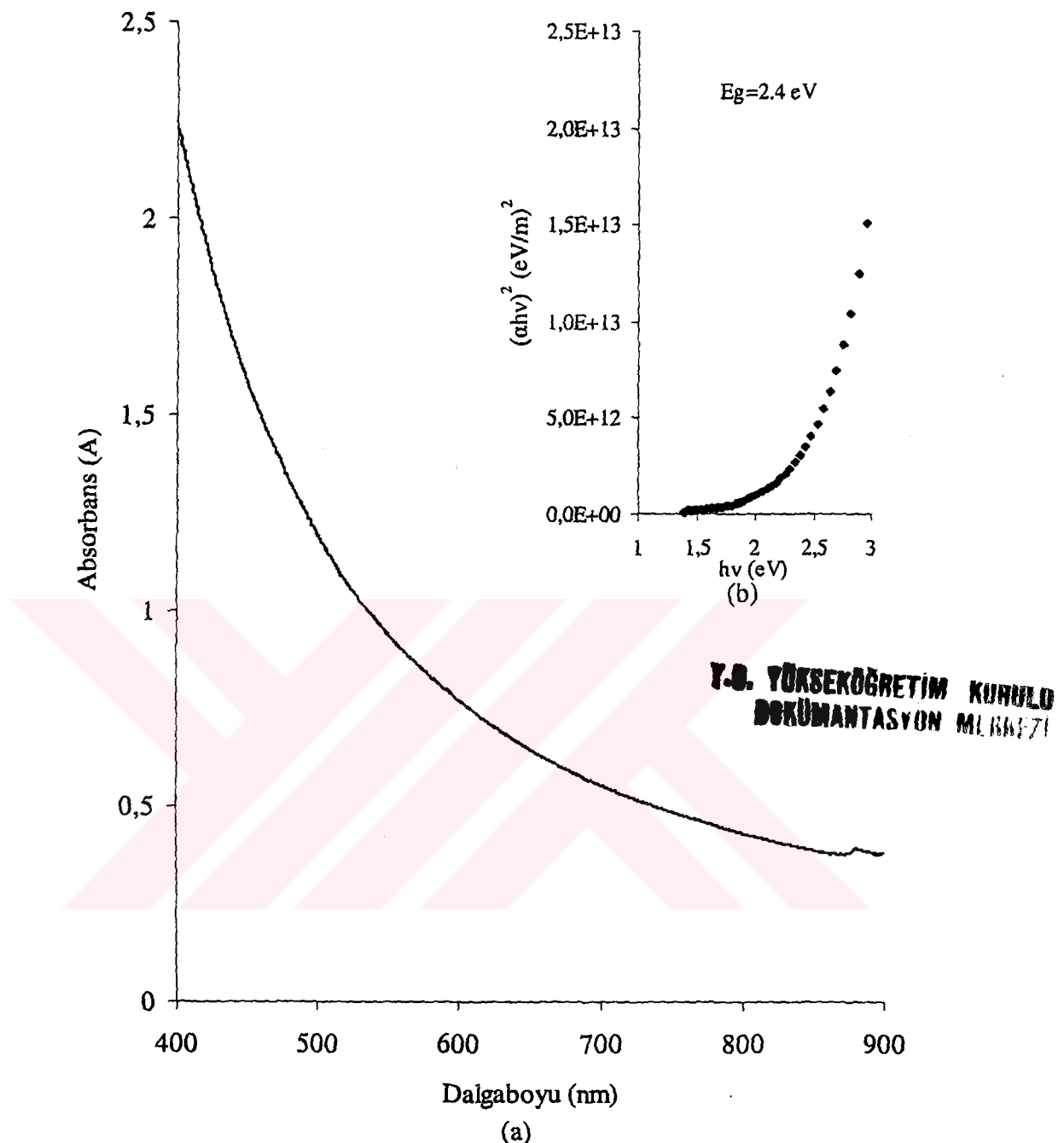
Şekil 4.5.  $225 \pm 5$  °C taban sıcaklığında elde edilen  $\text{CuInS}_2$  filminin oda sıcaklığında (a) temel absorpsiyon spekturumu (b)  $(\alpha h\nu)^2 \approx h\nu$  değişimi



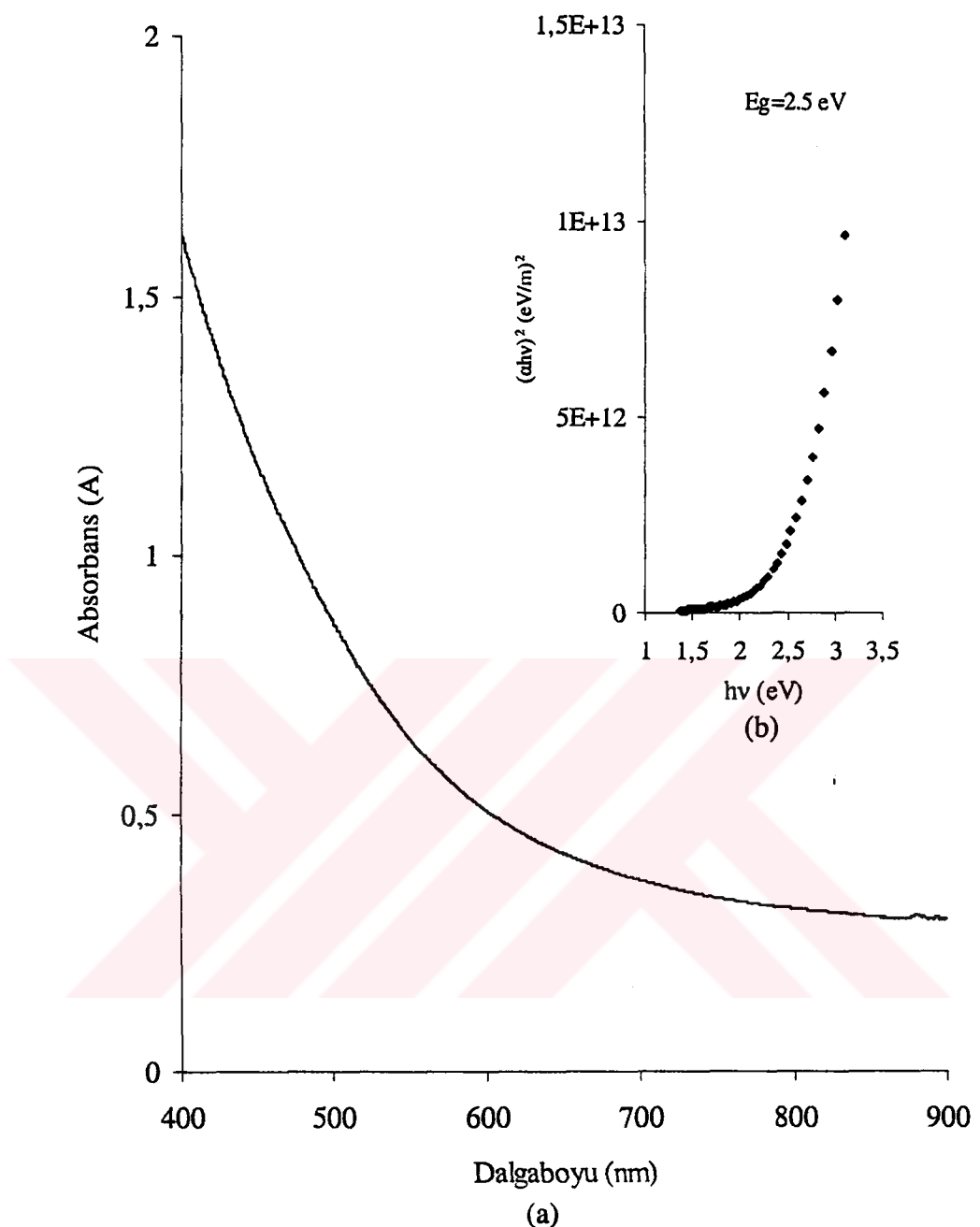
Şekil 4.6.  $250 \pm 5$  °C taban sıcaklığında elde edilen CuInS<sub>2</sub> filminin oda sıcaklığında (a) temel absorpsiyon spekturumu (b)  $(\alpha h\nu)^2 = h\nu$  değişimi



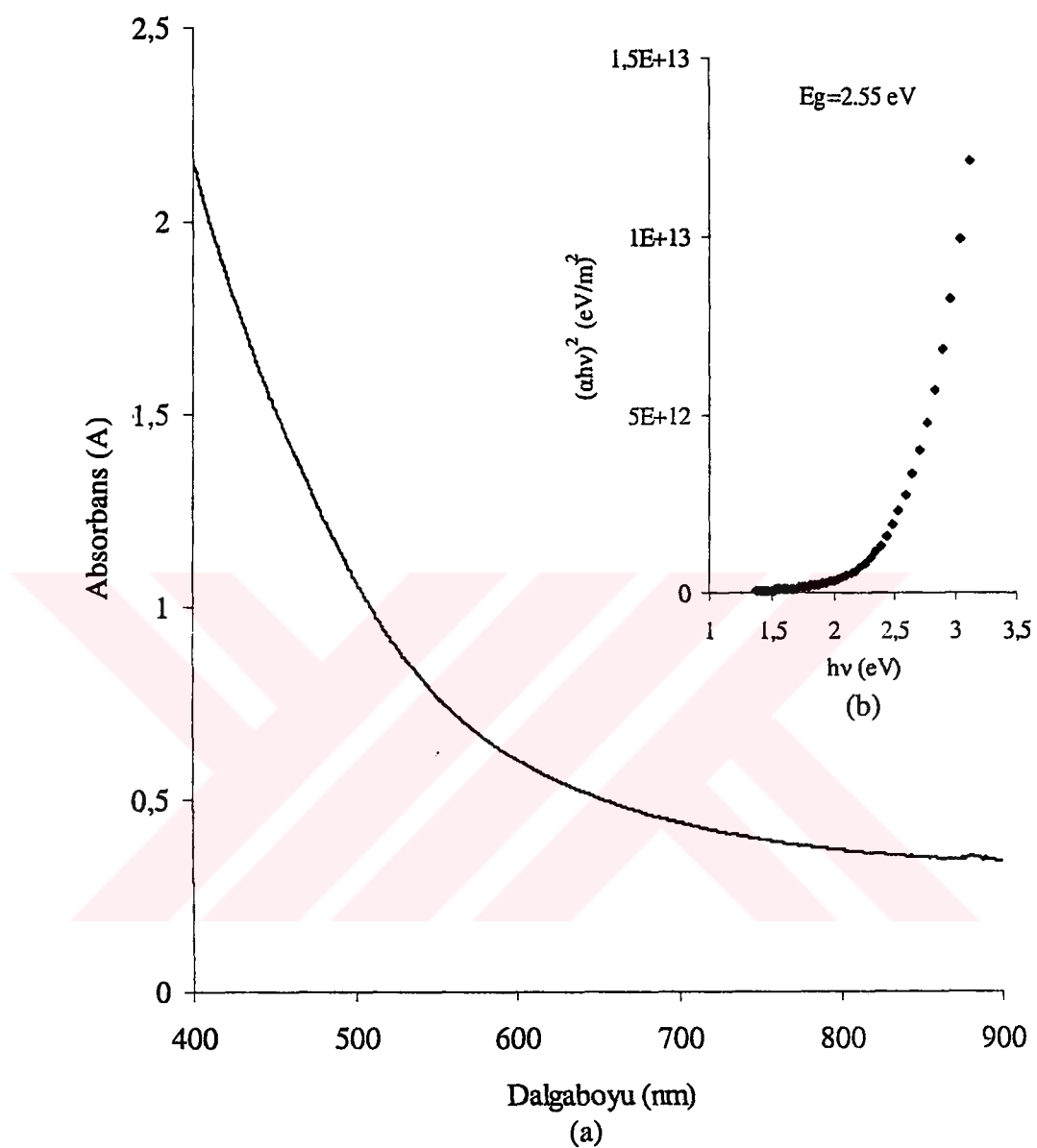
Şekil 4.7.  $275 \pm 5$  °C taban sıcaklığında elde edilen CuInS<sub>2</sub> filminin oda sıcaklığında (a) temel absorpsiyon spekturumu (b)  $(\alpha hv)^2 \approx hv$  değişimi



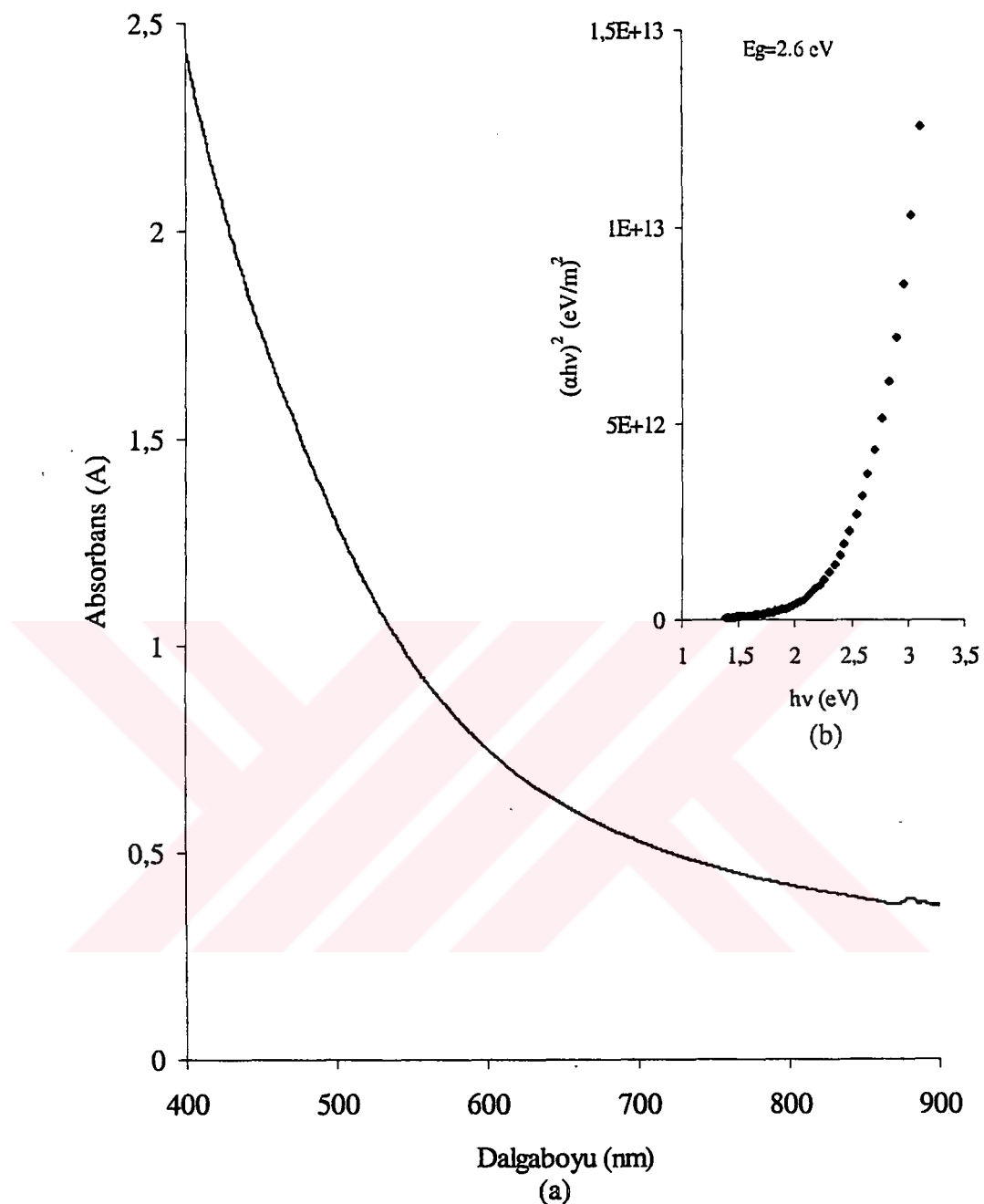
Şekil 4.8.  $275 \pm 5^\circ\text{C}$  taban sıcaklığında üretilen % 10 Zn ilaveli  $\text{CuInS}_2$  filminin oda sıcaklığında  
(a) temel absorpsiyon spekturumu (b)  $(\alpha h\nu)^2 \approx h\nu$  değişimi



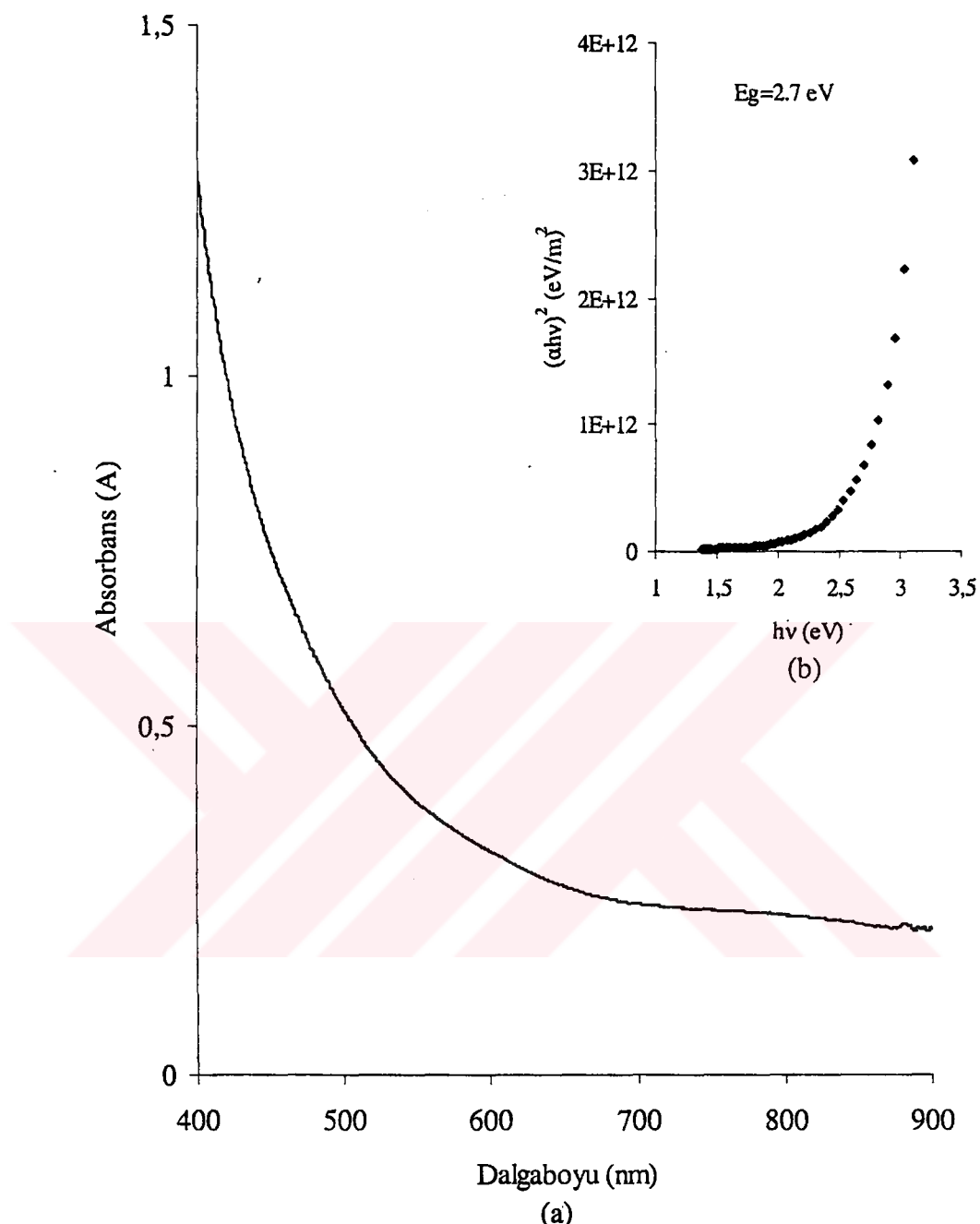
Şekil 4.9.  $275 \pm 5$  °C taban sıcaklığında üretilen % 20 Zn ilaveli  $\text{CuInS}_2$  filminin oda sıcaklığında  
(a) temel absorpsiyon spekturumu (b)  $(\alpha h v)^2 \approx h v$  değişimi



Şekil 4.10.  $275 \pm 5$  °C taban sıcaklığında üretilen % 30 Zn ilaveli CuInS<sub>2</sub> filminin oda sıcaklığında  
(a) temel absorpsiyon spekturumu (b)  $(\alpha h\nu)^2 \approx h\nu$  değişimi



Şekil 4.11.  $275 \pm 5$  °C taban sıcaklığında üretilen % 40 Zn ilaveli CuInS<sub>2</sub> filminin oda sıcaklığında  
(a) temel absorpsiyon spekturumu (b)  $(\alpha h v)^2 \approx h v$  değişimi



Şekil 4.12.  $275 \pm 5$  °C taban sıcaklığında üretilen % 50 Zn ilaveli CuInS<sub>2</sub> filminin oda sıcaklığında  
(a) temel absorpsiyon spekturumu (b)  $(\alpha h\nu)^2 \approx h\nu$  değişimi

#### 4.4. Cu(Zn)InS<sub>2</sub> Filmlerinin Bazı Optik Özellikleri

Üzerine ışın gönderilen madde bir yarıiletken ise fotonlar malzeme ile etkileşerek absorpsiyon, kırılma, yansımıma ve geçirme gibi bir çok optik olaylar meydana gelir (Bilgin 2003).

Yarıiletken üzerine gönderilen fotonun enerjisi yasak enerji aralığına denk veya daha büyük ise elektron fotonun enerjisini alarak ya direkt ya da indirekt olarak valans bandından iletim bandına geçer. Bu olay yarıiletkenlerde absorpsiyon olarak adlandırılır (Kittel 1996). Malzemenin absorpsiyon katsayısı

$$\alpha = 2.303 \frac{\log(1/T)}{t} \quad (4-12)$$

eşitliği ile verilir.

Burada; T, transmitansı (geçirgenliği)

$t$ , yarıiletken malzemenin kalınlığını ifade etmektedir (Natsume ve Sakata 2002; El-Wahabb ve ark. 2001; El-Zahed ve ark. 2003 ve Al-Ani ve ark. 1999).

Malzeme üzerine gönderilen fotonun enerjisi elektronu iletim bandına çıkaramayacak kadar azsa malzeme fotonu soğuramaz ve malzeme foton için saydam davranışır. Bu olaya ışını geçirme denir. Geçirgenlik T ile gösterilir. Bir fotonun soğrulması veya geçirilmesi fotonun enerjisine, yarıiletkenin yasak enerji aralığına ve atomların veya molekül gruplarının dizilişine bağlıdır.

Transmitans numuneyi geçen ışının şiddetinin numuneye gelen ışının şiddetine oranı olarak tanımlanır ve

$$T = I/I_0 \quad (4-13)$$

eşitliği ile verilir. Transmitans ve absorbans (A) arasındaki ilişki ise

$$A = -\log T \quad (4-14)$$

eşitliği ile verilir (Skoog ve ark. 1998). Numunenin absorpsiyon spekturmundan

$$T = 10^{-A} \quad (4-15)$$

eşitliği ile transmitansı bulunabilir ve dalga boyuna karşı grafiği çizilebilir.

Malzeme ile fotonun bir etkileşmesi de yansımadır. Yansıma malzeme yüzeyinden yansyan ışının şiddetinin malzeme yüzeyine gelen ışının şiddetine oranı olarak tanımlanır ve R ile gösterilir. Malzeme yüzeyi düz ve gelen fotonların enerjisi yasak enerji aralığından düşükse gelen fotonların bir kısmı yüzeyden yansıtılır. Malzeme üzerine gönderilen ışının, soğurulma, geçirilme ve yansıtılma süreci Şekil 4.13'te gösterilmiştir (Bilgin 2003).

Şekil 4.13'ten de görüldüğü gibi malzemeyi geçen ışının şiddeti  $I = (1 - R)^2 I_0 e^{-\alpha t}$  ile gösterilmiştir.

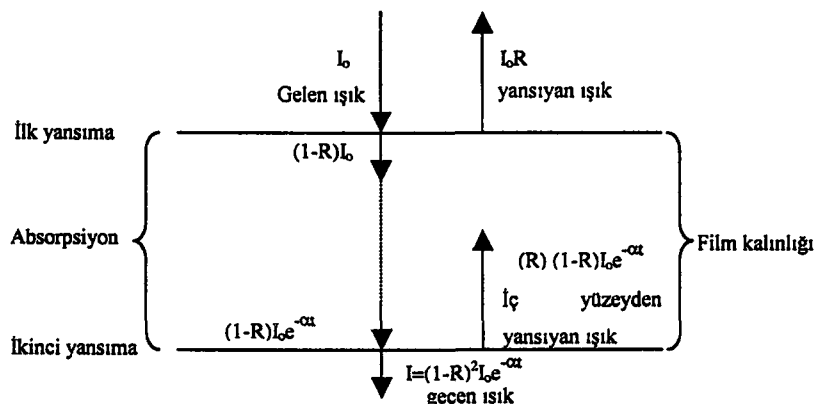
Transmitans absorbans ve yansama katsayısı arasındaki bağıntı ise

$$T = (1 - R)^2 e^{-\alpha t} \quad (4-16)$$

eşitliği ile verilir (El-Zahed 2001a; El-Zahed 2001b ve Gürbulak 2001).

Eşitlik 4-16'dan faydalalarak

$$R = 1 - \sqrt{10^{-A}} e^{\alpha t} \quad (4-17)$$



Şekil 4.13. ışının materyale dik gelmesi durumunda soğurulma, geçirilme ve yansıtma süreci (Bilgin 2003)

eşitliği elde edilir. Bu eşitlik bize absorbans ölçümünden faydalananlarak yansılma katsayısının bulunması olanağını verir.

Absorpsiyon katsayısının yansılma katsayısi  $R$  ve geçirgenlik katsayısi  $T$ 'ye bağımlılığı

$$\alpha = \frac{1}{t} \ln \left\{ \frac{(1-R)^2}{2T} + \left[ \frac{(1-R)^4}{4T^2} + R^2 \right]^{1/2} \right\} \quad (4-18)$$

eşitliği verilir (Hernandez ve ark. 2002 ve Al-Ani ve ark.1999).

İşinin malzeme ile etkileşmesinden birisi de kırılmadır. Kırılma işinin malzemeye dik gelmediği durumlarda malzemenin içine geçerken, veya daha genel anlamda işinin ortam değiştirirken yön değiştirmesidir. Yarıiletken bir malzeme için kompleks kırılma indisı ( $n$ )

$$n = n_0 - ik \quad (4-19)$$

eşitliği ile verilir.

$$n_0 = \frac{1+R}{1-R} + \sqrt{\frac{4R}{(1-R)^2} - k^2} \quad (4-20)$$

eşitliği kırılma indisinin gerçek kısmı olup, kırılma indisini verir.

$$k = \frac{\alpha \lambda}{4\pi} \quad (4-21)$$

Eşitliği ise kırılma indisinin sanal kısmı olup sönüm katsayısi olarak ifade edilir (Al-Ani ve ark. 1999; Benramdane ve ark.1997 ve El-Zahed ve ark. 2003).

Malzemenin kırılma indisini dalga boyunun bir fonksiyonudur. Yüksek kırılma indisine sahip malzemeler daha fazla yansıtma özelliğine sahiptirler. Atom numarası arttığında elektron sayısı da artacağından ve kutuplaşma çoğalacağından fotonlar daha fazla etkilenir ve daha fazla kırılmaya uğrarlar. Bu nedenle

malzemenin kırılma indisi ve dielektrik sabiti arasında bir ilişki vardır (Bilgin 2003).

Bir malzeme için kompleks dielektrik sabiti ( $\epsilon$ )

$$\epsilon = \epsilon_1 + i\epsilon_2 \quad (4-22)$$

eşitliği ile verilebilir. Ancak malzemenin dielektrik sabiti doğrudan ölçülemez. Doğrudan ancak optik ölçümlerle yansımaya katsayısı  $R$ , kırılma indisi  $n$  ve sönüüm katsayısı  $k$  ölçülebilir. Dielektrik sabiti ve kırılma indisi arasında

$$n = \sqrt{\epsilon} \quad (4-23)$$

ilişkisi bulunmaktadır (Durlu 1996 ve Kittel 1996).

Dielektrik sabitinin gerçek kısmı,

$$\epsilon_1 = n^2 - k^2 \quad (4-24)$$

ve sanal kısmı,

$$\epsilon_2 = 2nk \quad (4-25)$$

eşitlikleri ile verilmektedir (Kittel 1996 ve Benramdane ve ark.1997).

Yapılan birçok çalışmalar göstermiştir ki bir yarıiletkenin optik absorpsiyonu yasak enerji aralığında düzgün ve çok hızlı şekilde artmaktadır. Fakat bir çok materyallerde optik absorpsiyon spektrumu normal olması gereken kıyının yakınında başlar. Bunun sebebi kıyı sarkmalarıdır. Bant kıyısındaki sarkmalar kristal veya amorf yapıların hepsinde bulunur. Bu sarkmaların oluşmasında etkili ve başrol oynayan sebep statik gerilme ve bozukluklardır. Bunun yanı sıra dinamik bir etkisi olan sıcaklık değişiminin de etkisi vardır. Dinamik veya statik etkiler ister kristal ister amorf yapılar olsun hapsinde oluşur ve bu etkilerin absorpsiyon katsayısına bağımlılığı Urbach kuralı olarak bilinir. Urbach kuralı dinamik ve statik etkiler altında

$$\alpha(hv, T) = \alpha_0 e^{\left(\frac{hv}{E_0} + \frac{T}{T_0}\right)} \quad (4-26)$$

eşitliği ile verilir.

Burada;  $\alpha_0$ , absorpsiyonun başladığı andaki absorpsiyon katsayısını

$T$ , sıcaklığı

$E_0$ , sarkan bant genişliğini (Urbach parametresini) ifade etmektedir (Weinstein ve ark. 2001).

Etkisi az olan dinamik etkiler ihmali edilirse statik etki altında Urbach kuralı

$$\alpha(hv) = \alpha_0 e^{hv/E_0} \quad (4-27)$$

eşitliği ile verilir (Bahgat ve ark. 1999 ve Kodolbaş 2003).

Urbach parametresi  $E_0$

$$E_0 = \left( \frac{\partial \ln \alpha}{\partial \ln hv} \right)^{-1} \quad (4-29)$$

eşitliği ile verilir (Weinstein ve ark. 2001).

Herhangi bir yarıiletkende, kristalde veya amorf yapıda bant sarkmaları enerji bant aralığında daralmalara buda absorpsiyon spektrumunda artmalara sebep olur (Kodolbaş 2003).

#### 4.5. Elde Edilen Cu(Zn)InS<sub>2</sub> Filmlerinin Optik Özellikleri

Şekil 4.14 elde edilen filmlerin absorpsiyon katsayıları ( $\alpha$ )'nın dalga boyuna göre grafiğini vermektedir. Grafik CuInS<sub>2</sub> filmlerinin  $\alpha$  katsayısının  $0.5 \cdot 10^5 \text{ cm}^{-1}$  civarında olduğunu göstermiştir. Bu beklenen bir değerdir. CuInS<sub>2</sub>  $10^5 \text{ cm}^{-1}$  mertebesinde yüksek absorpsiyon katsayısına sahip bir bileşiktir. CuInS<sub>2</sub> için  $\alpha$  katsayı 850 nm'de başlayıp 400 nm'ye kadar hızlı bir artış göstermiştir. Grafik

çinko ilave etme miktarıyla doğru orantılı olacak şekilde  $\alpha$  katsayısının daha kısa dalga boylu bölgelere kaydığını ve 550 nm'den sonra çok hızlı bir artış gösterdiğini vermektedir.

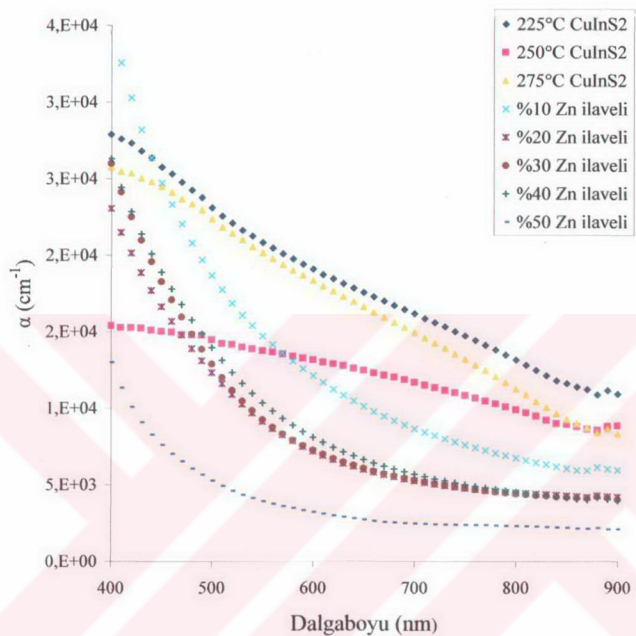
Şekil 4.15 elde edilen filmlerin geçirgenliklerini (T) göstermektedir. CuInS<sub>2</sub> filmleri için T=900 nm'den başlayıp 400 nm'ye kadar azalmıştır. Bu da fotonların enerjilerinin yarıiletken materyalin enerji bant aralığına denk veya daha fazla olduğu durumlarda materyalin daha fazla absorplama yaptığını göstermektedir. T'nin ani bir düşüş göstermesinin sebebinin bundan kaynaklandığı düşünülmektedir. Çinko ilave etme oranı arttıkça geçirgenlik büyük değerlerde başlayıp çok hızlı bir düşüş göstermiştir. Kısa dalga boylarına gidildikçe geçirgenlik CuInS<sub>2</sub> filmlerinininkine göre çok daha düşük çıkmıştır. Bunun sebebinin çinko ilave ettikçe film kalınlığının artışının sebep olduğu düşünülmektedir.

Şekil 4.16 elde edilen filmlerin yansımaya katsayılarının (R) fotonun dalga boyuna karşı grafiğini göstermektedir. Yansıma kısa dalga boylarına kayıkça artmıştır. Bunun sebebinin fotonların enerjisinin artışından dolayı, fotonların elektronlar, atomlar veya kristal molekülleriyle daha fazla etkileşikleri ve geri yansındıkları düşünülmektedir. Yapıya çinko ilave etme oranı arttırıldıkça yansımamanın çok daha hızlı arttığı gözlenmiştir. Çinko ilavesi film kalınlığını artırdığı için yansımamanın bu sebepten artacağı düşünülmektedir. Yapıldığı çinkonun artması S bileşiği yerine Zn, Cu ve In kendi aralarında yaptıkları bileşikleri arttırmıştır. Bunların atom numarası S'in atom numarasından büyük olduğu için ortamda elektron sayısı artmıştır. Gelen elektromanyetik dalgalar artan elektronlarla etkileşeceği için daha fazla yansımaya uğradıkları düşünülmektedir.

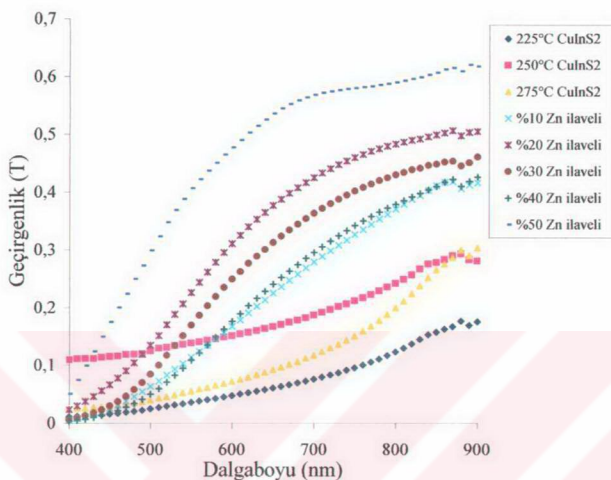
Elde edilen filmlerin kırılma indisleri ( $n_o$ ) Şekil 4.17'de ve söñüm katsayıları (k) Şekil 4.18'de verilmektedir. Fotonun dalga boyunun azalan değerlerinde kırılma ve söñüm artmıştır. Buna foton enerjisinin artmasından dolayı elektronlarla daha çok etkileşmesinin neden olduğu düşünülmektedir. Ayrıca CuInS<sub>2</sub> içine Zn ilave oranı arttıkça kırılma ve söñüm çok daha hızlı bir artış göstermiştir. Çinko ilave ettikçe hem ortamdaki Zn, Cu ve In temelli bileşikler hem de film kalınlıkları artacaktır. Bu artışlar fotonun materyal içindeki

saçılmlarını artıracası için sönüm daha fazla olacak ve sönüm katsayısı artacaktır. Ortamda bileşik artışı fotonun net hızını düşüreceğinden ve fotonun artan elektronlarla daha fazla etkileşmesine neden olacağından dolayı kırılma indisini de artacaktır. Kırılma indisinin katkılanan çinko oranıyla hızla artışı geçmesinin sebebinin bu olduğu düşünülmektedir.

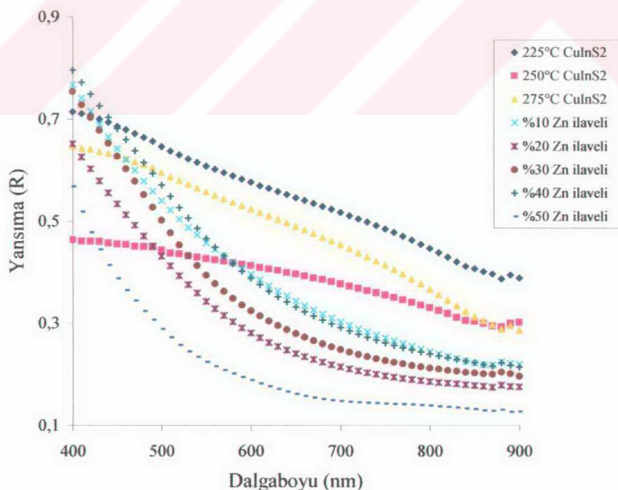
Elde edilen filmlerin dielektrik sabitleri ( $\epsilon_1$  ve  $\epsilon_2$ ) sırasıyla Şekil 4.19'de ve Şekil 4.20'de verilmektedir. Dielektrik sabiti materyalin kırılma indisine bağlı bir niceliktir ve yalıtkanlığın bir ölçütüdür. Kırılma azalan dalga boyuna göre hızlı artışı aynı şekilde dielektrik sabitlerinin de artışına neden olmaktadır. Çinko ilave etme oranı arttıkça dielektriğin doğrusal değil, çok daha hızlı arttığı görülmektedir. Bu, malzemenin çinko ilave etme oranına bağlı olarak kovalent bağdan iyonik bağa kaydığını ve yalıtkanlığını artttığının bir göstergesidir. Çünkü çinko katkılantığı zaman Cu, In ve Zn kendi aralarında bağ yapmaktadır. Bu materyaller grup IV elementlerinden daha önde olduğu için iyonikliği artırır. Yasak bant aralığı hesaplarının, çinko katkılama oranıyla enerji bant aralığının doğrusal bir şekilde arttığını göstermesi bu yorumu desteklemektedir.



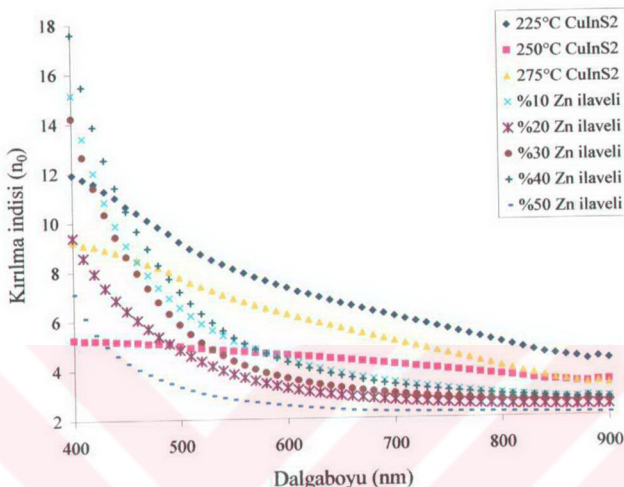
Şekil.4.14. Elde edilen filmlerin dalga boyuna karşı absorpsiyon katsayılarının grafiği



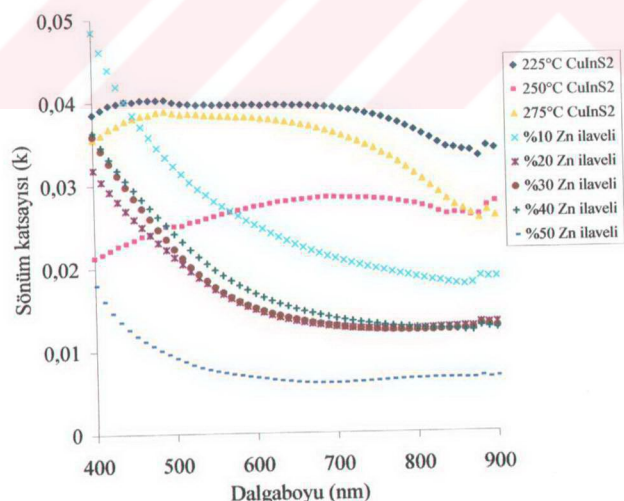
Şekil 4.15. Elde edilen filmlerin dalga boyuna karşı geçirgenliklerinin grafiği



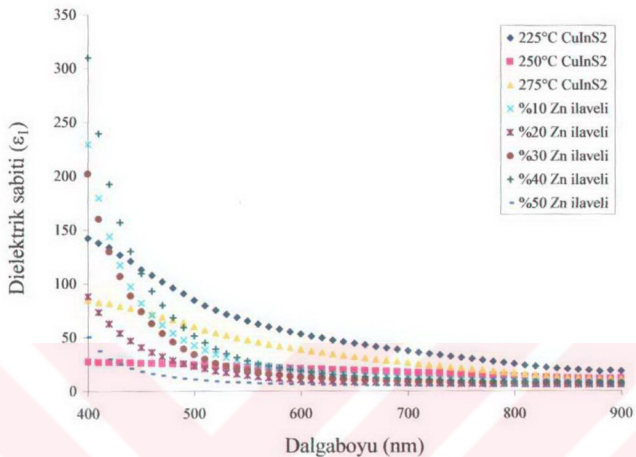
Şekil 4.16. Elde edilen filmlerin dalga boyuna karşı yansımaya katsayılarının grafiği



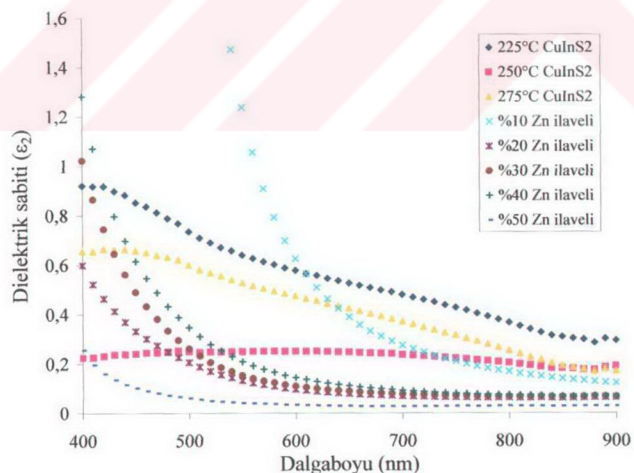
Şekil 4.17. Elde edilen filmlerin dalga boyuna karşı kırılma indislerinin grafiği



Şekil 4.18. Elde edilen filmlerin dalga boyuna karşı sönüüm katsayılarının grafiği



Şekil 4.19. Elde edilen filmlerin dalga boyuna karşı dielektrik sabitlerinin grafiği



Şekil 4.20. Elde edilen filmlerin dalga boyuna karşı sanal dielektrik sabitlerinin grafiği

## 5. Cu(Zn)InS<sub>2</sub> FİMLERİNİN X-İŞINI KIRINIM DESENLERİ

### 5.1. Giriş

1876'da Strassburg'da fizik profesörlüğü yapan Wilhelm Conrad Röntgen 1895 yılında laboratuvarlarında çalışırken anlayamadığı çok hafif bir pırıldamayı fark etmiştir. Daha sonra bu ışınların katodik ışınının tüp ile çarptığı yerde ortaya çıktığını anlamıştır. O zamanlar bu ışınların ne olduğu bilmiyordu ([http-5](#) ve [http-6](#)). Bu olay aslında x-ışınlarının ilk keşfiydi. Doğası bilinmediği için x adı ile adlandırılmıştır. Zamanla yapılan çalışmalar sonucu x-ışınlarının doğası anlaşılmıştır.

X-ışınları, x-ışını tüplerinde birkaç bin voltluk gerilim altında hızlandırılan elektronların yüzeye çarpması sırasında oluşur. Hedefe çarpan elektronların kinetik enerjilerinin çoğu ışına % 1'inden azıda x-ışınlarına dönüşür. Gelen ışınlar farklı dalga boyalarında oluşmaktadır. X-ışını tüپünde voltaj belirli bir değerin üstüne (hedef metale bağlı) çıkarılırsa, hedef metalin iç tabaka elektronları enerji düzeylerini değiştirir ve geri dönerken karakteristik x-ışınları yayırlar. Bir çok x-ışını difraksiyonu ölçümelerinde karakteristik x-ışını kullanılır.

X-ışınlarının dalga boyu 1 Å ve civarıdır ([Cullity 1996](#)).

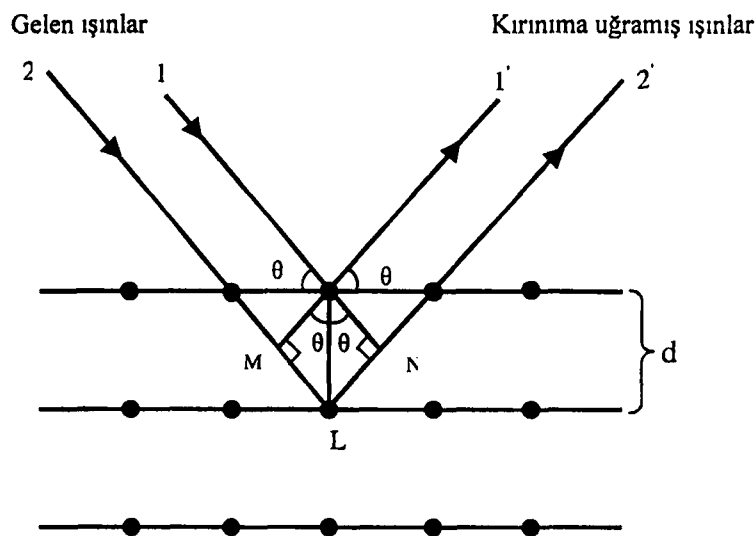
İlk defa x-ışınlarının katı içindeki difraksiyonu (aralarında faz farkı olan ışınların birbirini etkilemesi ve şiddetlerinin değişmesi) 1912 yılında Max Von Laue tarafından ve yine aynı yıl içinde William Lawrence Bragg tarafından doğru bir şekilde analiz edilmiştir ([http-6](#)).

Kristal yapı tayininde Bragg yasasından yararlanılır. Bu yasaya göre, monokromatik x-ışınları kristalin paralel düzlemlerine  $\theta$  açısı yaparak gelsin ve paralel düzlemler arasındaki uzaklık  $d$  olsun ([Şekil 5.1](#)).

Kristale giren x-ışınlarının kırılmadığı kabul edilirse, x-ışınları atomların oluşturduğu düzlemden  $\theta$  açısı yaparak yansıyacaktır.

İki ışın arasındaki yol farkı  $ML+LN$  kadardır.

İki ışın arasındaki yol farkının düzlemler arasındaki mesafe ile ilişkisi  $ML+LN=2dsin\theta$  bağıntısı ile verilir. Buradan,



Şekil 5.1. Kristallerde x-işını kırınımı (Cullity 1996)

$$2ds\sin\theta = m\lambda \quad (5-1)$$

elde edilir ve bu eşitlik Bragg yasası olarak bilinir.

Burada;  $d$ , kristalin düzlemleri arasındaki mesafeyi

$m$ , tam sayıları

$\lambda$ , gelen ışının dalga boyunu ifade etmektedir.

X-işınları kristolografisinde  $m=1$  alınır. Çünkü kırınımı uğrayan ışının şiddeti hızla azalır. Yol farkı, ancak gelen ışının bazı açılarında dalga boyunun tam katları olur. Bu açıya Bragg açısı denir.

Numuneler x-işınları difraksiyonu yardımı ile üç değişik metod kullanılarak incelenir.

Bunlardan ilki olan Laue metodunda gelen x-işınlarının dalga boyu değiştirilir. Gelen ışınların açısı sabit tutulur ve difraksiyon desenleri incelenir.

İkinci olan, döner kristal metodunda gelen x-işınlarının dalga boyu sabit tutulur, numuneye geliş açısı değiştirilir ve oluşan kırınım desenleri incelenir.

Üçüncü ve polikristal yapıları incelemede tek olan bu metodda numune çok ince toz haline getirilir. Bu metodda da gelen x-işınlarının dalga boyu sabit tutulur ve numuneye düştüğü açı değiştirilir (Cullity 1996).

Spray pyrolysis yöntemiyle elde edilen Cu(Zn)InS<sub>2</sub> filmlerinin kristal yapıları, toz yöntemiyle oluşturulan x-ışını kırınım desenlerinden belirlenmiştir.

Polikristal bir malzemede her yönde kristal oluşumu mümkün olabilir. Bu yönelimler x-ışınları difraksiyonu verilerinden yararlanılarak elde edilebilinir.

Kristalin tercihli yönelimini belirlemek için yapı sabiti TC (Texture coefficient) kullanılır. TC sabiti

$$TC_{(hkl)} = \frac{I_{(hkl)} / I_{o(hkl)}}{\frac{1}{N} \left( \sum I_{(hkl)} / I_{o(hkl)} \right)} \quad (5-2)$$

eşitliği ile verilir.

Burada;  $I/I_o$ , difraksiyona uğramış ışının ve numuneye gelen ışının şiddetlerinin oranını

$N$ , difraksiyon sayısını ifade etmektedir (Moon ve ark. 2000; Nasser ve ark. 1998 ve Kaneko ve ark. 2001).

## 5.2. Cu(Zn)InS<sub>2</sub> Filmelerinin X-ışını Kırınım Desenleri

Bu çalışmada elde edilen numuneler son yöntemle çalışan RIGAKU marka D/MAX 220H modeli ve PHILIPS marka x-ışınları cihazı ile  $\lambda=1,54$  Å dalga boylu CuK<sub>α</sub> ışını kullanılarak kristal yapıları tayin edilmiştir.

Filmelerin kırınım desenleri incelendiğinde, pik şiddetleri ve genişlikleri arasında farklılıklar ortaya çıkmaktadır. Şiddetleri büyük ve genişlikleri dar olan pikler kristallenmenin iyi, şiddetleri küçük ve genişlikleri büyük olan pikler de kristallenmenin iyi olmadığı anlamına gelmektedir.

225±5 °C taban sıcaklığında elde edilen CuInS<sub>2</sub> filminin X-ışını difraksiyon sonucu Şekil 5.2'de verilmektedir. Kırınım açısı, düzlemler arası uzaklık, miller indisleri, örgü sabitleri, kristal sistemi, şiddet, şiddet oranları ve yapılanma katsayıları (TC) Çizelge 5.1'de verilmektedir. Bu taban sıcaklığına ait pikler incelenirse CuInS<sub>2</sub>'ye ait üç farklı定向imde kristale rastlanılmaktadır. Ayrıca zayıfta olsa In<sub>6</sub>S<sub>7</sub> pikine rastlanmaktadır. In<sub>6</sub>S<sub>7</sub>'nin pik şiddeti CuInS<sub>2</sub>'ye göre çok zayıftır. Yapıda üç tane bulunmaktadır. Yapılanma katsayılarına

bakılırsa (112) yönelimine sahip CuInS<sub>2</sub> filminin yapılanma katsayısı en büyük olup 2,294 bulunmaktadır. 225±5 °C taban sıcaklığında üretilen filmin tercihli yöneliminin (112) olduğu belirlenmiştir. (001) yönelimine sahip CuInS<sub>2</sub> filminin yapılanma katsayısı 1,445 bulunmuştur. Bu değer (112) yönelimine sahip CuInS<sub>2</sub> kristalininkine yakın bir değerdir. Yapıda zayıfta olsa (220), (200) yönelimine sahip CuInS<sub>2</sub> ve (201) yönelimine sahip In<sub>6</sub>S<sub>7</sub> kristaline de rastlanmaktadır. Fakat bunların yapılanma katsayıları 0,4 mertebesinde olup oldukça zayıftırlar.

250±5 °C taban sıcaklığında üretilen CuInS<sub>2</sub> filminin x-ışını kırınım deseni Şekil 5.3'te gösterilmektedir. Kırınım açısı, düzlemler arası uzaklık, miller indisleri, örgü sabitleri, kristal sistemi, şiddet, şiddet oranları ve yapılanma katsayıları (TC) Çizelge 5.2'de verilmektedir. (112) yönelimine sahip CuInS<sub>2</sub> piki oldukça şiddetlidir. Bu pikin şiddeti 225±5 °C taban sıcaklığında üretilen filmin aynı yönelimine sahip pik şiddetinin iki katından fazladır. 250±5 °C'de üretilen (112) yönelimine sahip CuInS<sub>2</sub> filminin yapılanma katsayısı 3,789 olarak hesaplanmıştır. Bu sonuç kristalin üretim taban sıcaklığının artmasıyla doğru orantılı olacak şekilde kristal yöneliminin (112)'ye kaydığını göstermektedir.

(001), (220) yönelimine sahip CuInS<sub>2</sub> kristalinin yapılanma katsayısı üretim sıcaklığı yükseldikçe azalma göstermiştir. Yapıda şiddetleri çok zayıf olan (011) yönelimine sahip InS, (304) yönelimine sahip In<sub>6</sub>S<sub>7</sub> kristaline de rastlanmaktadır. Bunların yapılanma katsayıları oldukça zayıftır.

275±5 °C taban sıcaklığında üretilen CuInS<sub>2</sub> filminin x-ışını kırınım deseni Şekil 5.4'de görülmektedir. Kırınım açısı, düzlemler arası uzaklık, miller indisleri, örgü sabitleri, kristal sistemi, şiddet, şiddet oranları ve yapılanma katsayıları (TC) Çizelge 5.3'te verilmektedir. (112) yönelimine sahip CuInS<sub>2</sub> pikinin şiddeti belirgin bir şekilde artmış ve diğer pikler kaybolmuştur. (112) yönelimine sahip CuInS<sub>2</sub> pikinin şiddeti 225±5 °C'de üretilen filmin (112) yönelimine sahip CuInS<sub>2</sub> pikinin dört katı civarında olmuştur. Kristal çok yüksek ölçüde (112) yönelimine sahip CuInS<sub>2</sub> içermektedir. Bu yönelimine sahip CuInS<sub>2</sub>'nin yapılanma katsayısı artmış ve 4,39 olarak hesaplanmıştır. Bu durum CuInS<sub>2</sub> filmi için üretim taban sıcaklığı arttıkça kristallenmenin daha iyi olduğunu göstermektedir. Yapılanma katsayıları 0,1 mertebesinde CuS, InS, In<sub>6</sub>S<sub>7</sub> kristallerine de rastlanmaktadır. Fakat bunlar oldukça zayıf şiddetlere sahiptirler.

Bu taban sıcaklığında üretilen filmin (112) yönelimine sahip CuInS<sub>2</sub> pikinin iki yanında bulunan şiddet yükseltileri azalmış ve minimuma inmiştir. Bu yükseltilerin bir çok yönlime sahip bir çok bileşigin piklerinin üst üste binmesinden kaynaklandığı düşünülmektedir. Bu yükseltilerin azalması kristallenmenin iyileştiği sonucunu çıkartmaktadır. Bu sebepten dolayı çinko 275±5 °C taban sıcaklığında CuInS<sub>2</sub> materyaline katkılanmıştır.

%10 çinko ilaveli CuInS<sub>2</sub> yarıiletken filminin x-ışını kırınım deseni Şekil 5.5'te görülmektedir. Kırınım deseni katkılama öncesine nazaran şiddetlerin oldukça zayıfladığını göstermektedir. Sonuçlar üst üste binmiş ve sayılamayacak kadar çok pik olduğunu göstermektedir. Yapıda bulunan bazı kristaller In<sub>6</sub>S<sub>7</sub>, InS, Zn<sub>2,5</sub>In<sub>2,31</sub>S<sub>6</sub>, CuZn, Cu<sub>9</sub>In<sub>4</sub> bileşikleri şeklindedir. Cu<sub>9</sub>In<sub>4</sub> amorf yapıda olup kristallenmeyi bozan bir durum yaratmaktadır. Fakat diğerlerine göre çok az sayıda bulunmaktadır. Kırınım deseni yapıda bir çok yönlime sahip bir çok tane bulunduğu göstermiştir. Çok sayıda pik olması yapılanma katsayısının hesabını engellemiştir. Şekilde bazı keskin pikler bulunmuş üst üste binmiş ve yapışık yükselmiş piklerin kesin olarak hangi bileşige ait olduğu belirlenememiştir.

%20, %30, %40 ve %50 çinko ilave edilmiş CuInS<sub>2</sub> filmlerinin x-ışını kırınım desenleri sırasıyla Şekil 5.6, Şekil 5.7, Şekil 5.8 ve Şekil 5.9'da verilmiştir. Kırınım açıları, düzlemler arası uzaklıklar, miller indisleri, örgü sabitleri, kristal bileşimleri ve sistemleri Çizelge 5.4'de verilmektedir. Bu ilavelerin sonucunda şiddetler aşağı yukarı aynı çıkışlı gürültüler halinde topluca yükselmiştir. Topluca şiddet yükselişi %50 Zn ilave edene kadar 2θ değeri 15° ile 35° arasında gözlenmiştir. Bu yükselişin bir çok materyale ait bir çok yönelimi yapıdan kaynaklandığı düşünülmektedir. Bileşiklerin yapılanma katsayılarının hesabı ise mümkün değildir. Yapıda piklerden ve ASTM kartlarından hesaplanan bazı bileşikler, In<sub>6</sub>S<sub>7</sub>, Cu<sub>9</sub>In<sub>4</sub> ve In<sub>2</sub>S<sub>3</sub> şeklindedirler. Yapıda %10 Zn ilaveden sonra ilave oranıyla doğru orantılı olarak Cu<sub>9</sub>In<sub>4</sub> ve In<sub>2</sub>S<sub>3</sub> bileşigi bol miktarda bulunmaktadır. Bu iki bileşik amorf yapıda olup kristallenmeyi bozmaktadır. Yapılar sayılamayacak kadar tane, In<sub>2</sub>S<sub>3</sub> ve Cu<sub>9</sub>In<sub>4</sub>'ten kaynaklanan amorf yapı barındırmaktadır.

Bu sonuçlara dayanarak, yapıya giren Zn miktarının artmasıyla filmlerin kristallenmesinin bozulduğunu ve amorf yapıya doğru kaydığını söyleyebiliriz.

Çizelge 5.1.  $225\pm5$  °C taban sıcaklığında elde edilen CuInS<sub>2</sub> yarıiletken filminin kristal özellikleri, yapılanma katsayıları ve x-ışını kırınım desenlerinden elde edilen pik şiddetleri

225±5 °C CuInS <sub>2</sub>									
2θ	d değeri (Å)	hkl	a (Å)	b (Å)	c (Å)	Kristal Sistemi	Şiddet	I/I <sub>0</sub>	TC
9.52	9.28	001	5.52	5.52	11.12	Tetragonal CuInS <sub>2</sub>	223	63	1.445
22.56	3.94	201	9.09	3.89	17.71	Monoclinik In <sub>6</sub> S <sub>7</sub>	74	21	0.482
27.98	3.19	112	5.52	5.52	11.12	Tetragonal CuInS <sub>2</sub>	353	100	2.294
32.66	2.74	200	5.52	5.52	11.12	Tetragonal CuInS <sub>2</sub>	60	17	0.390
46.46	1.95	220	5.52	5.52	11.12	Tetragonal CuInS <sub>2</sub>	62	17	0.390

Çizelge 5.2.  $250\pm5$  °C taban sıcaklığında elde edilen CuInS<sub>2</sub> yarıiletken filminin kristal özellikleri, yapılanma katsayıları ve x-ışını kırınım desenlerinden elde edilen pik şiddetleri

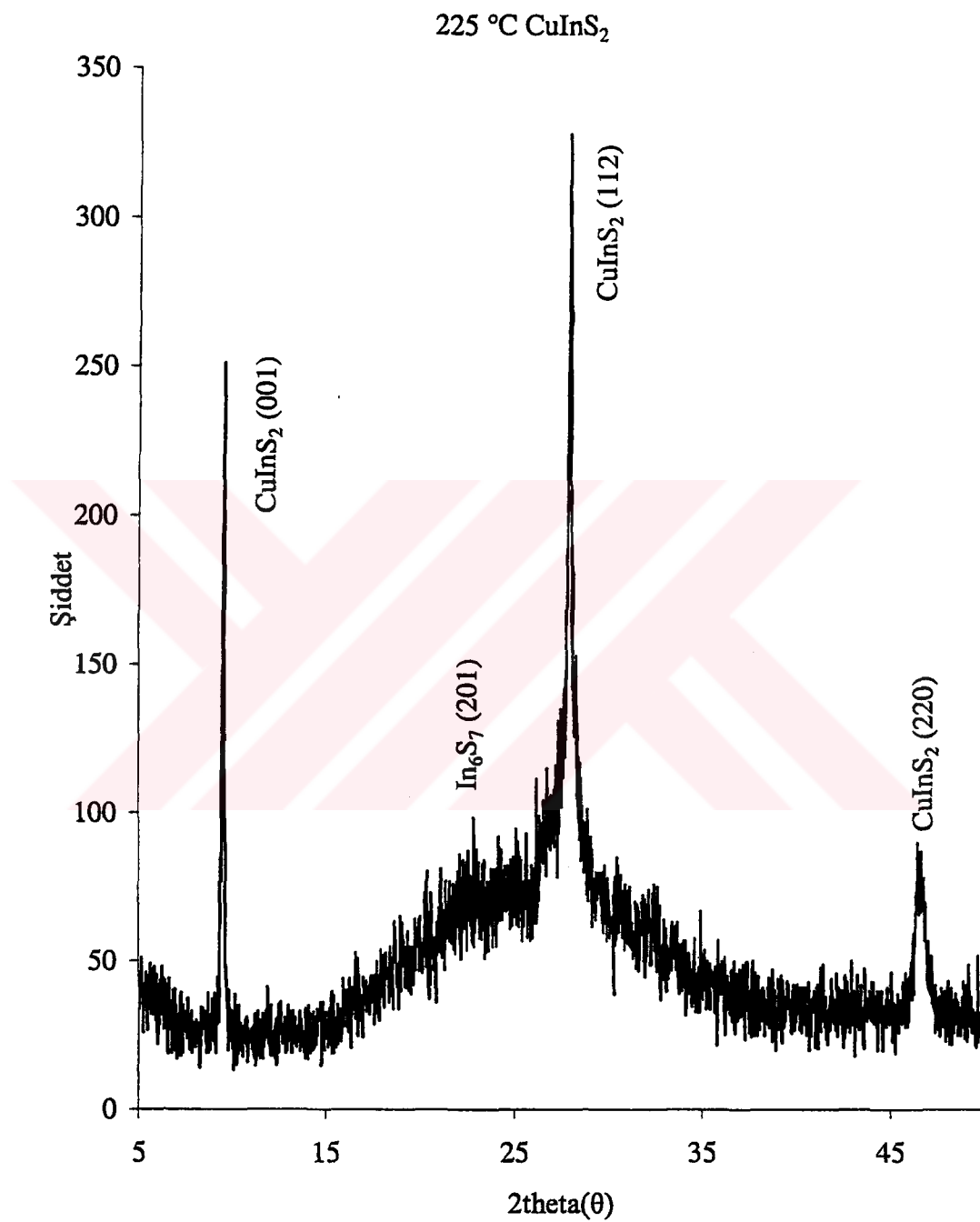
250±5 °C CuInS <sub>2</sub>									
2θ	d değeri (Å)	hkl	a (Å)	b (Å)	c (Å)	Kristal Sistemi	Şiddet	I/I <sub>0</sub>	TC
9.46	9.34	001	5.52	5.52	11.12	Tetragonal CuInS <sub>2</sub>	100	11	0.417
21.72	4.09	011	3.94	4.48	10.63	Orthorombic InS	56	6	0.227
27.90	3.20	112	5.52	5.52	11.12	Tetragonal CuInS <sub>2</sub>	930	100	3.789
31.70	2.82	30̄4	9.09	3.89	17.71	Monoclinik In <sub>6</sub> S <sub>7</sub>	57	6	0.227
46.32	1.96	220	5.52	5.52	11.12	Tetragonal CuInS <sub>2</sub>	86	9	0.341

**Çizelge 5.3.**  $275\pm5$  °C taban sıcaklığında elde edilen CuInS<sub>2</sub> yarıiletken filminin kristal özellikleri, yapılanma katsayıları ve x-ışını kırınım desenlerinden elde edilen pik şiddetleri

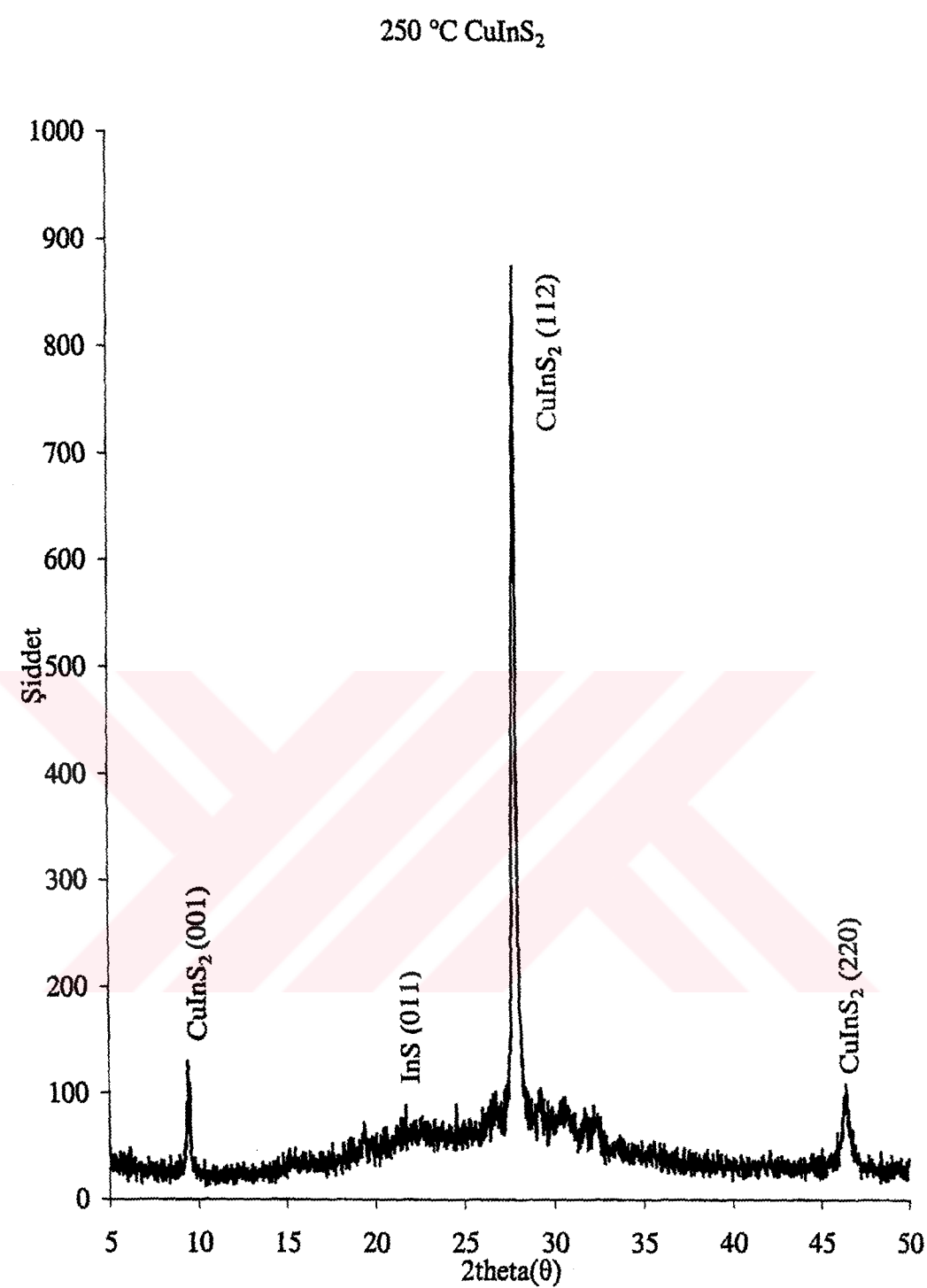
275±5 °C CuInS <sub>2</sub>									
2θ	d değeri (Å)	hkl	a (Å)	b (Å)	c (Å)	Kristal Sistemi	Şiddet	I/I <sub>0</sub>	TC
26.68	3.34	100	3.79	3.79	16.34	Hexagonal CuS	52	4	0.18
27.78	3.21	112	5.52	5.52	11.12	Tetragonal CuInS <sub>2</sub>	1424	100	4.39
30.30	2.95	110	3.94	4.48	10.65	Orthorombic InS	51	4	0.18
32.00	2.79	20̄6	9.09	3.89	17.71	Monoclinik In <sub>6</sub> S <sub>7</sub>	35	2	0.09
46.38	1.96	220	5.52	5.52	11.12	Tetragonal CuInS <sub>2</sub>	58	4	0.175

Çizelge 5.4.  $275 \pm 5$  °C taban sıcaklığında % 10, 20, 30, 40 ve 50 Zn ilaveli CuInS<sub>2</sub> filmlerinin kristal özellikleri

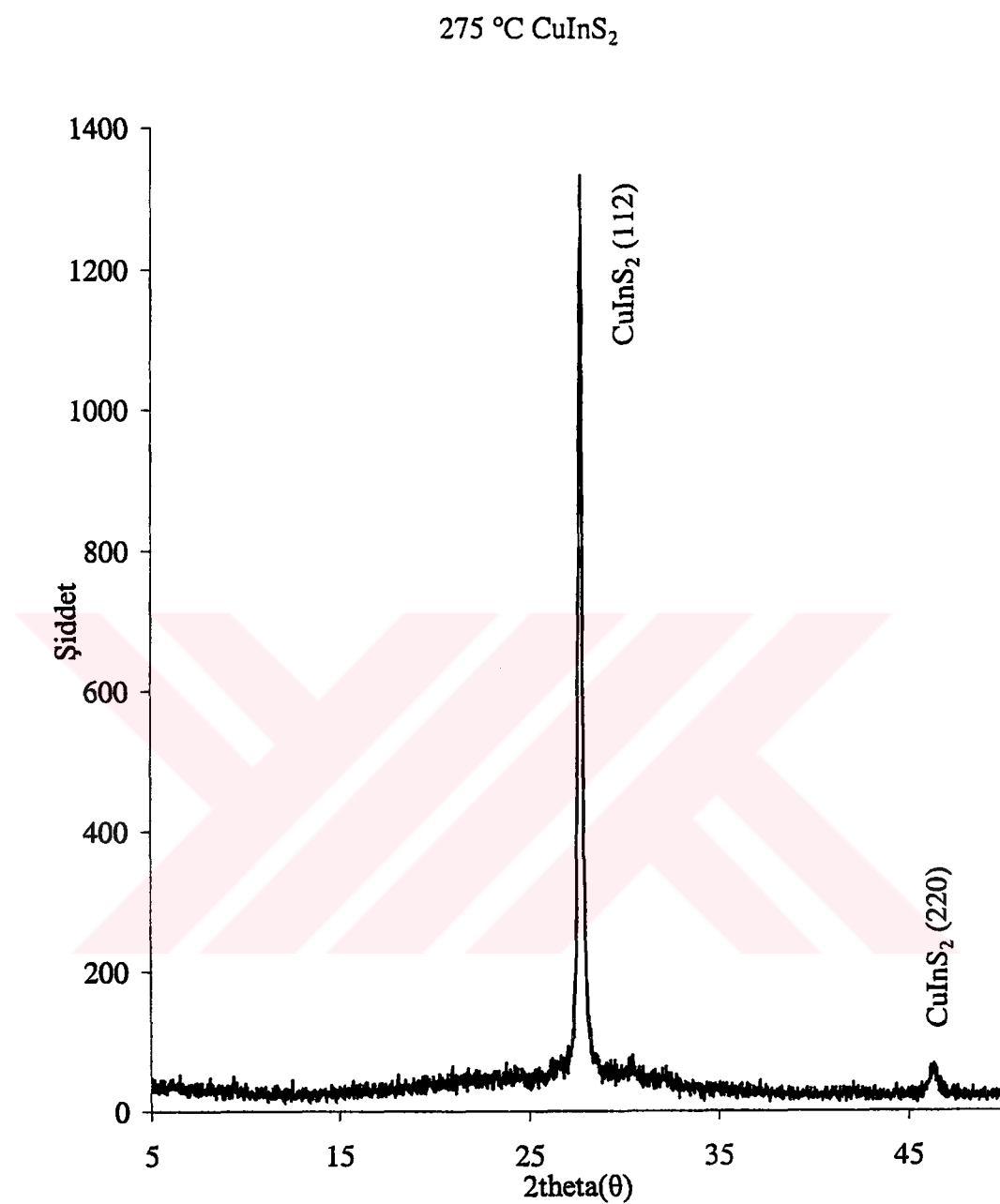
Materyal	$2\theta$	d (Å)	hkl	a (Å)	b (Å)	c (Å)	Kristal Sistemi
%10 Zn katkılı CuInS <sub>2</sub>	20,33	4,36	(10̄4)	9,09	3,39	17,71	Monoclinic In <sub>6</sub> S <sub>7</sub>
	21,66	4,09	(011)	3,94	4,45	10,65	Orthorombik InS
	22,3	3,98	(201)	9,09	3,39	17,71	Monoclinic In <sub>6</sub> S <sub>7</sub>
	24	3,70	-	-	-	-	Cu <sub>9</sub> In <sub>4</sub> -
	26	3,42	(012)	3,94	4,45	10,65	Ortohorombik InS
	27,25	3,27	(010)	3,84	3,84	18,66	Hegzagonal Zn <sub>2,5</sub> In <sub>2,31</sub> S <sub>6</sub>
	30,18	2,95	(100)	2,95	2,95	2,95	Kübik CuZn
	44,53	2,03	(009)	3,84	3,84	18,66	Hegzagonal Zn <sub>2,5</sub> In <sub>2,31</sub> S <sub>6</sub>
%20 Zn katkılı CuInS <sub>2</sub>	29,4	3,03	(30̄2)	9,09	3,39	17,71	Monoclinic In <sub>6</sub> S <sub>7</sub>
	49,2	1,84	-	-	-	-	Cu <sub>9</sub> In <sub>4</sub>
%30 Zn katkılı CuInS <sub>2</sub>	27,9	3,19	(013)	9,09	3,39	17,71	Monoclinic In <sub>6</sub> S <sub>7</sub>
	49,2	1,84	-	-	-	-	Cu <sub>9</sub> In <sub>4</sub>
%40 Zn katkılı CuInS <sub>2</sub>	29,34	3,04	-	-	-	-	Cu <sub>9</sub> In <sub>4</sub>
	34,18	2,62	-	-	-	-	Cu <sub>9</sub> In <sub>4</sub>
%50 Zn katkılı CuInS <sub>2</sub>	31,34	2,85	-	-	-	-	In <sub>2</sub> S <sub>3</sub>
	36,03	2,49	-	-	-	-	Cu <sub>9</sub> In <sub>4</sub>



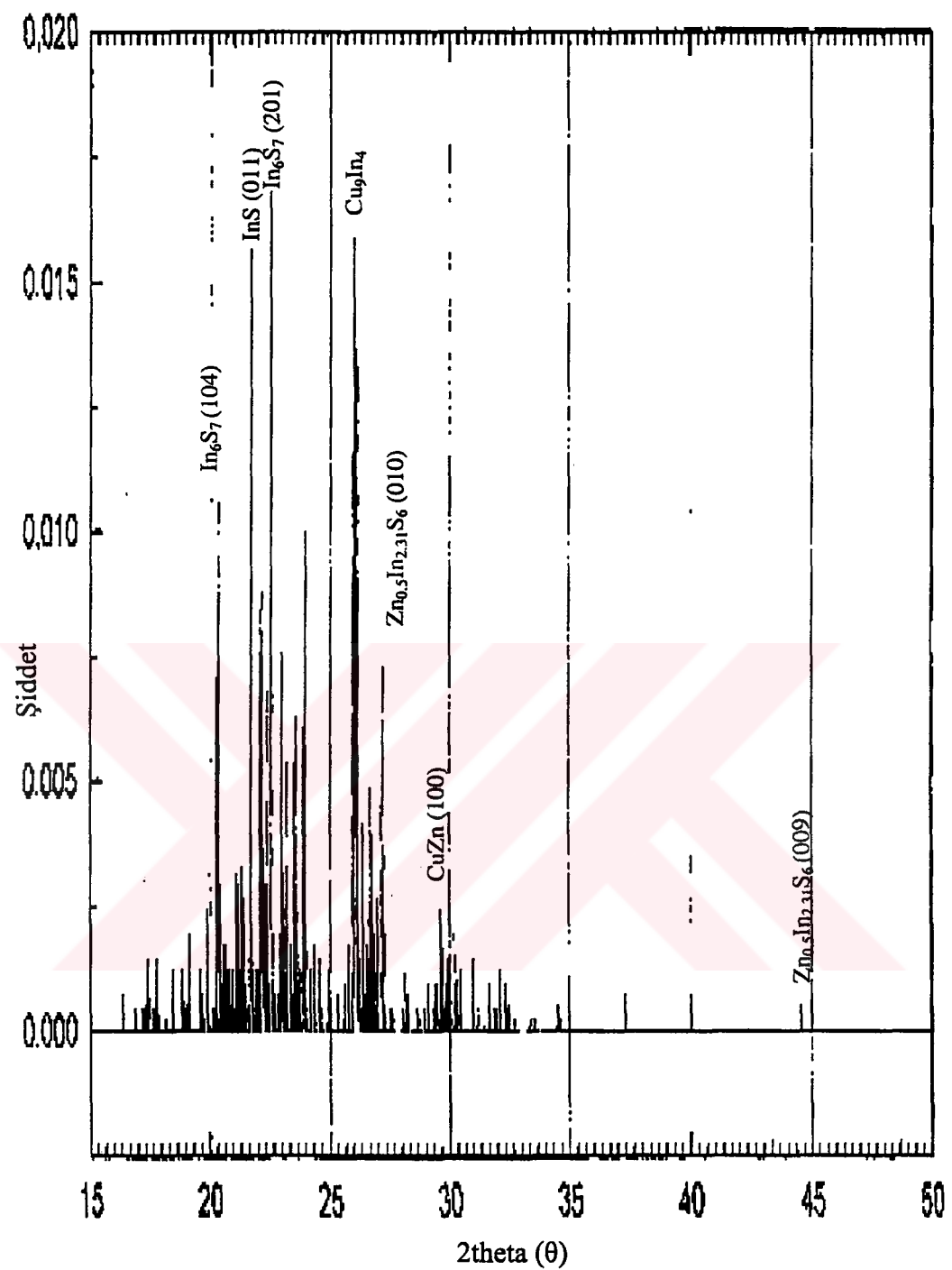
Şekil 5.2. 225±5 °C taban sıcaklığında elde edilen CuInS<sub>2</sub> filmin x-işını kırınım deseni



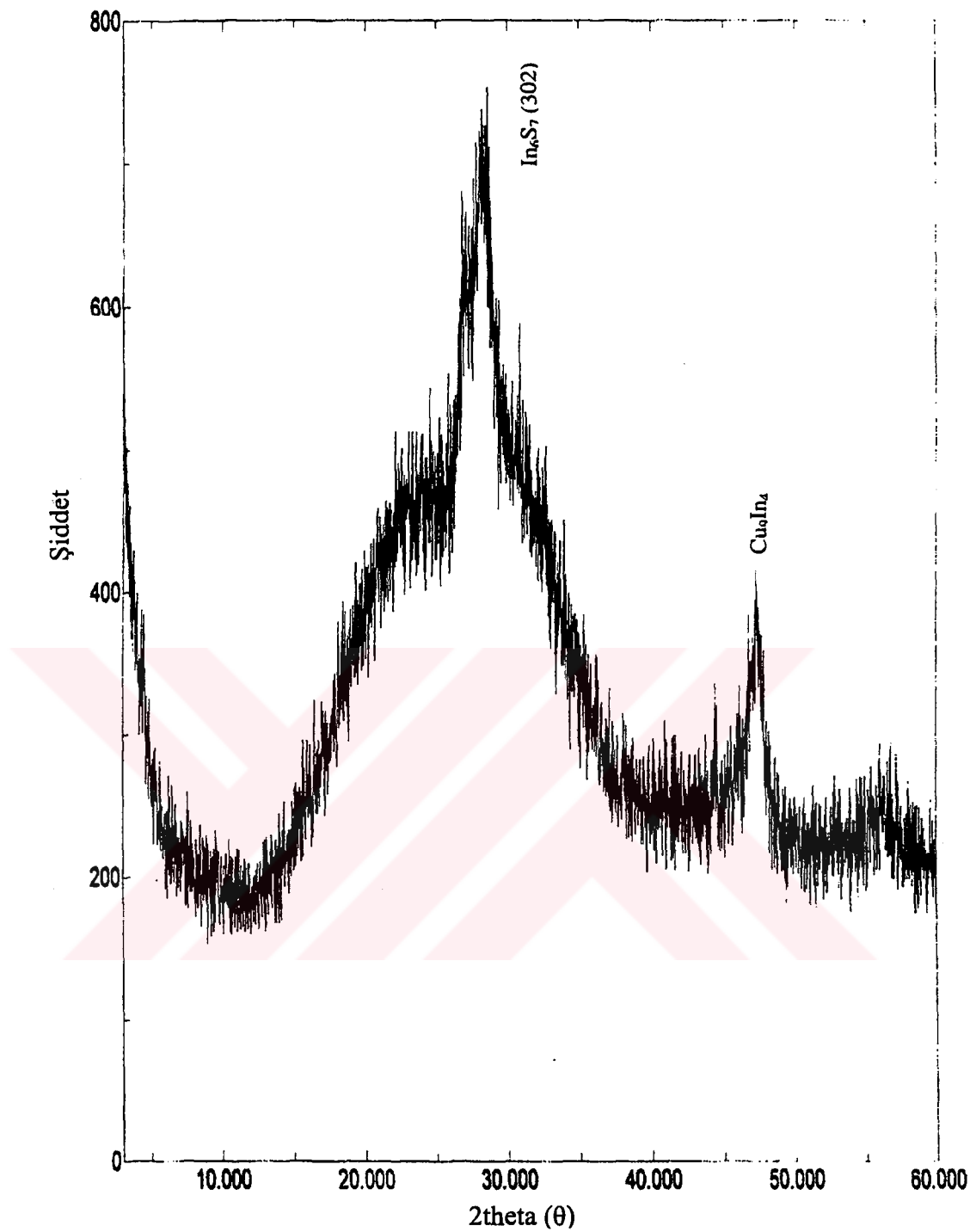
Şekil 5.3. 250±5 °C taban sıcaklığında elde edilen CuInS<sub>2</sub> filminin x-işını kırınım deseni



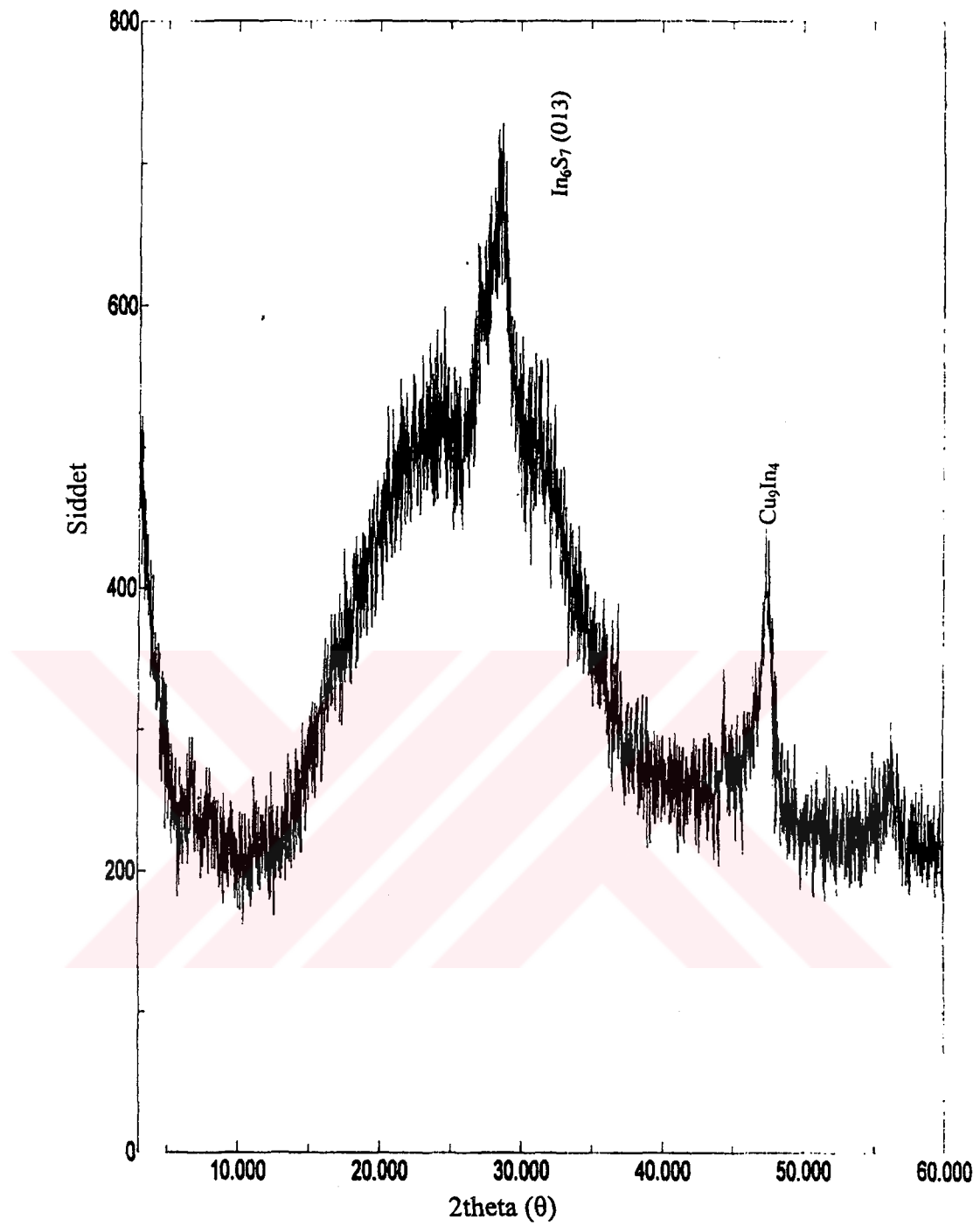
Şekil 5.4.  $275 \pm 5$  °C taban sıcaklığında elde edilen CuInS<sub>2</sub> filminin x-ışını kırınım deseni



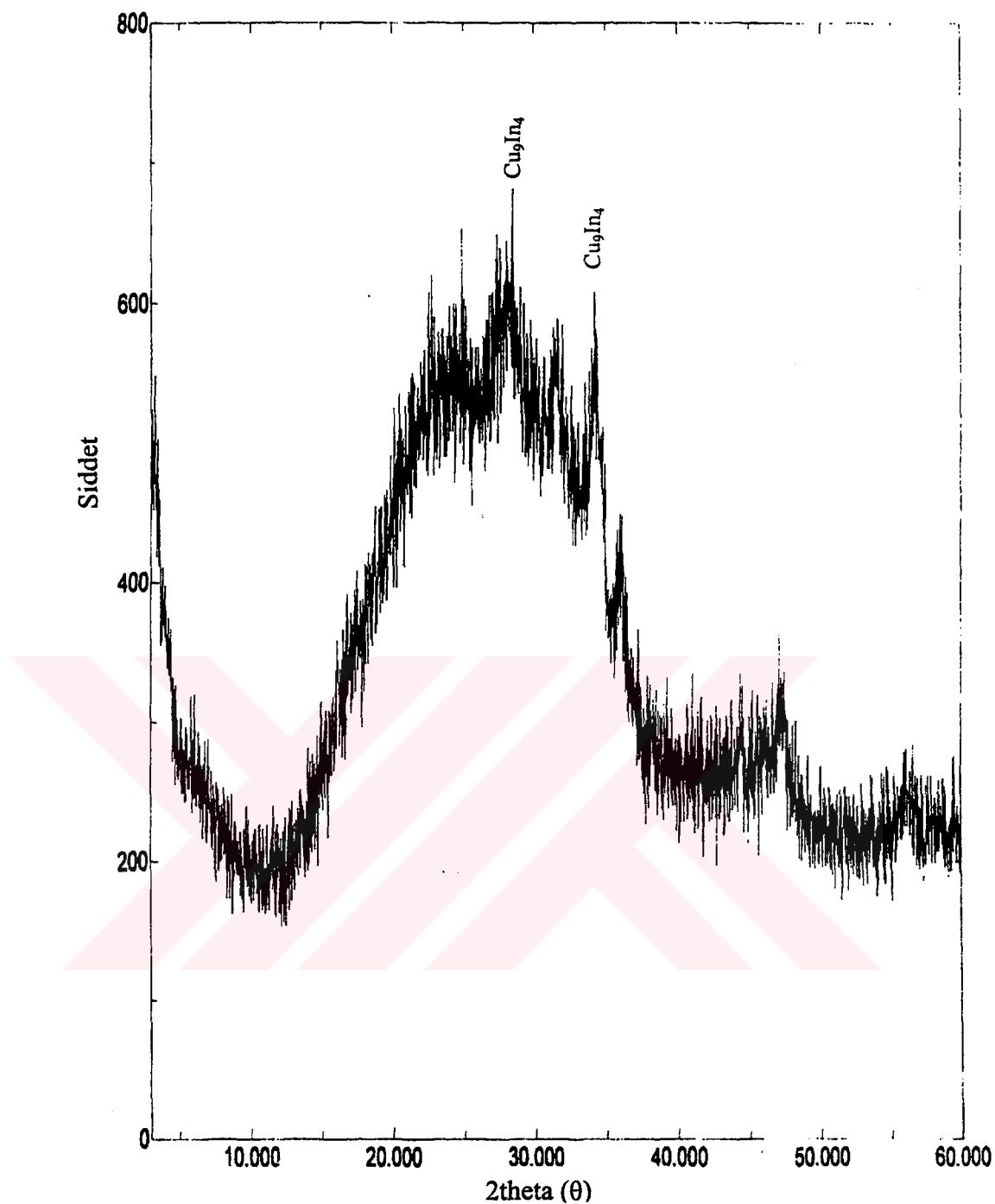
Şekil 5.5.  $275 \pm 5$  °C taban sıcaklığında elde edilen %10 Zn ilaveli  $\text{CuInS}_2$  filminin x-işını kırınım deseni



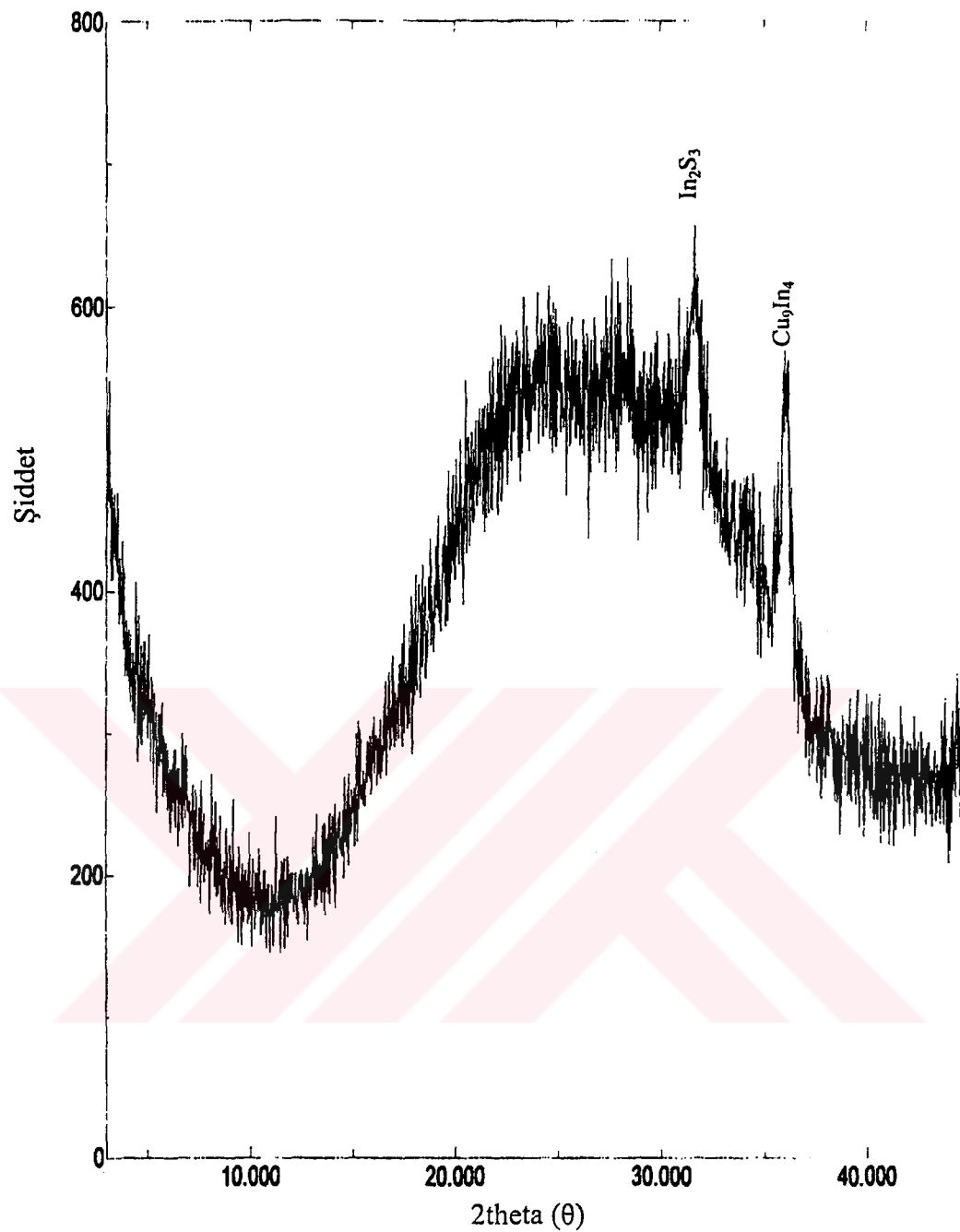
Şekil 5.6.  $275 \pm 5$  °C taban sıcaklığında elde edilen %20 Zn ilaveli  $\text{CuInS}_2$  filminin x-işını kırınım deseni



Şekil 5.7.  $275 \pm 5$  °C taban sıcaklığında elde edilen %30 Zn ilaveli  $\text{CuInS}_2$  filminin x-ışını kırunı deseni



Şekil 5.8.  $275 \pm 5$  °C taban sıcaklığında elde edilen %40 Zn ilaveli CuInS<sub>2</sub> filminin x-işını kırınım deseni



Şekil 5.9.  $275 \pm 5$  °C Taban sıcaklığında elde edilen %50 Zn ilaveli CuInS<sub>2</sub> filminin x-işını kırınım deseni

## 6. Cu(Zn)InS<sub>2</sub> FILMLERİNİN TARAMALI ELEKTRON MİKROSKOBU (SEM) GÖRÜNTÜLERİ

### 6.1. Giriş

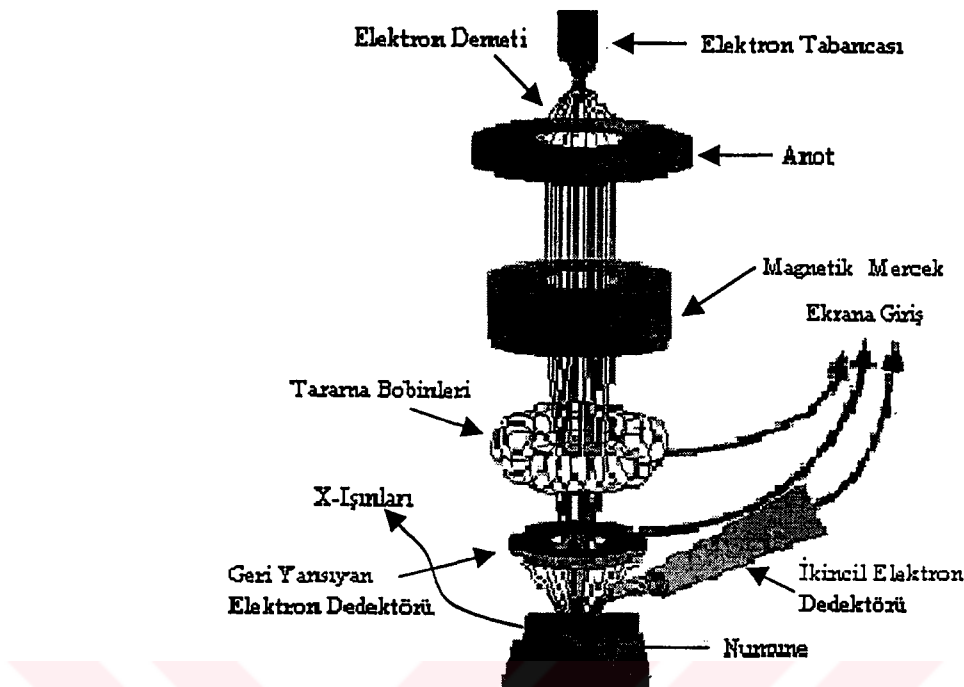
Numunenin bütününe ve yüzeyinin üç boyutlu olarak incelenmesi taramalı elektron mikroskopu (SEM) ile mümkün olmaktadır. SEM malzeme yapılarının mikroskopik incelenmesinde kullanılan elektron mikroskoplarından biridir.

SEM'in oluşumunda ilk çalışmalar, elektron optik alanında birçok öncü çalışması olan M. Knoll tarafından 1935'te Almanya'da başlamıştır. 1938'de M. Von Andenme tarama bobinlerini buna ekleyerek STEM'i oluşturmuştur. Bununla incelenen ilk numunede ZnO' dur ([http-7](#)). Katı numunenin SEM yöntemiyle incelenmesi ilk defa 1942 yılında Zworykin ve arkadaşlarının SEM'i geliştirmeleriyle ve katı numuneleri incelemeleriyle başlamıştır ([http-7](#) ve [http-8](#)). Bu çalışmalarдан sonra Dennis Mc Mullan SEM'i tekrar ele almış ve 1953'de üç boyutlu görüntü incelemesini başarmıştır ([http-7](#)). SEM'in genel olarak kullanımı 1965 yılında Cambridge Instrument Company'nin ilk SEM'i piyasaya sürmesiyle başlamıştır ([http-8](#)). Numune incelemesinde kullanılan SEM Şekil 6.1'de genel hatlarıyla görülmektedir.

Sırasıyla SEM'in parçaları genel olarak aşağıda açıklandığı gibidir.

**Elektron kaynağı (Electron Source):** En çok tercih edilen elektron kaynağı tungsten saç tokası filamenti, lantanum hegzo bor kristali (LaB<sub>6</sub>) ve field emission kaynağı (FEG) dır. SEM lerde kullanılan genellikle tungsten saç tokasıdır. Parlaklık (saniyede kaç elektronu numunenin belli yüzeyine gönderme ölçüsü) yönünden tungsten diğerlerinden düşükte olsa gerektirdiği basınç yönünden diğerlerinden daha az basınç ihtiyaç duyar. Belli bir sıcaklığın üzerinde (örneğin tungsten 2700 K) tel ısıtılırsa elektronlar iyonlaşır, iyonlaşan elektronlar potansiyel farkla hızlandırılıp hedefe gönderilirler. Tungsten yerine LaB<sub>6</sub> kullanılırsa parlaklık on kat artabilir.

**Mercekler:** Bunlar genellikle iki veya daha fazla mercekten oluşur. Elektromanyetik mercek, mikroskopun çevresi boyunca bir bobin sarılarak eksen



Şekil 6.1. SEM cihazının ana parçaları (<http://9>)

boyunca manyetik alan meydana getiren mercektir. Doğru boyunca gelen elektronlar bu manyetik alandan etkilenmeden geçer ve diğerleri spiral hareket edip sonra yansırlar (Turan).

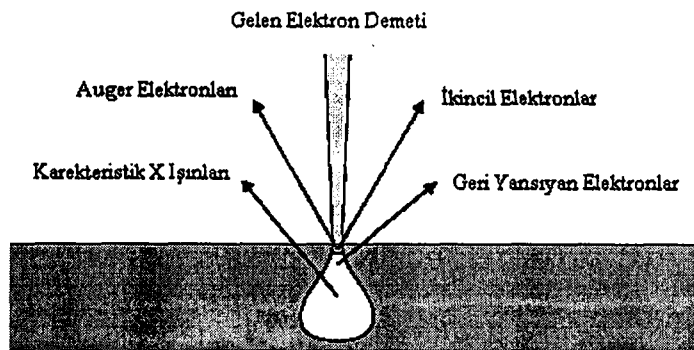
Negatif yüklü Wehnelt silindirinin açık bir bölümü elektrostatik mercek olarak rol oynayıp elektronları bir noktaya fokuslandırır (Turan).

**Tarama bobinleri:** Elektron demetinin sağdan sola veya yukarıdan aşağıya tarama yapabilmesi için iki farklı yönde bobin kullanılır. Numune üzerinde elektron demetini saptırırlar.

**Objektif mercekler:** Odaklayıcı mercekler arasında yer olan bu mercekler tarama bobinlerinden sonra elektronları fokuslamada kullanılır. Objektif mercek olarak adlandırılırlar (Turan).

Elektronlar numune üzerine çarptıkları zaman etkilesirler. Bu etkileşme sonuçları uygun dedektörler kullanılarak görüntüye çevrilebilirler. Bu görüntüler numune hakkında bizlere bilgiler verirler. SEM mikroskopunda elektron demeti ve numune etkileşmesi Şekil 6.2'de şematik olarak verilmiştir.

Birincil elektronlar numuneye gelen elektronlardır.



Şekil 6.2. Numune yüzeyine gelen elektronlarla numune etkileşmesi ([http-10](http://10))

Karakteristik x-ışınları, numunenin atomlarının iç yörüngelerindeki elektronların, numuneye çarpan elektronlardan enerji alıp dışarı çıkmaları ve boşalan yerleri üst tabaka elektronlarının enerjilerini foton olarak salıp doldurmalarıyla oluşur.

Auger elektronları x-ışınlarının bir yan ürünüdür. Uyarılmış bir atomun bir elektron salmasıdır. Salınan elektronun kinetik enerjisi, x-ışını fotonunun enerjisi ile fırlatılan elektronun bağ enerjisi arasındaki fark kadardır. Burada uyarılmış atom ışına yapmadan bir elektronunu salar.

Geri yansıyan elektronlar, inelastik olarak yansıyan, bir miktar enerji kaybeden ve elastik olarak numunenin düzlemleri tarafından yansıyan yani enerji kaybetmeden yansıyan elektronlardan oluşur.

İkincil elektronlar SEM'de en çok bilgi için kullanılan elektronlardır. Numunenin dış yörüngelerinde atoma zayıfça bağlı elektronlara, numuneye gönderilen elektronların enerjisinin bir miktarının transferiyle atomdan ayrılması sonucu oluşurlar. Enerjileri yaklaşık olarak 50 eV civarındadır.

Bu cihazın görüntüsü her sinyal için üretilmiş dedektörler ile sağlanır ve her SEM mikroskopu ikincil elektronlar ve yanı sıra geri yansıyan elektronları toplayan dedektöre sahiptir.

İkincil elektronlar everhar thornley denilen bir dedektörde toplanırlar. İkincil elektronlar sintilatöre (fosfor olabilir) çarpıp ışık saçarlar, bu ışıklar ışık borusundan fotoçoklayıcıya geçirilirler, orada elektron pulslarına çevrilerek daha da güçlendirilirler ve SEM'de görüntü oluşturulan elektronik devreye

gönderilirler. İkincil elektronların enerjisi küçük (10-50 eV) olduğu için sintilatörü çevreleyen alüminyuma 10 kV'luk bir pozitif voltaj uygulanır. Sintilatörün uç kısmınada birkaç yüz voltluk Faraday kafesi takılarak sintilatörün yüksek voltajının elektron demetini etkilemesi engellenir ve dedektöre doğru hareket etmeyen elektronlar çekilir. Eğer sintilatörün biası kapatılırsa veya Faraday kafesine negatif voltaj ( $\approx -200$  V) verilirse ikincil elektronlar yerine geri yansıyan elektronlar toplanırlar (Turan).

## **6.2. Elde Edilen Cu(Zn)InS<sub>2</sub> Filmelerinin Taramalı Elektron Mikroskopu (SEM) Görüntüleri**

Elde edilen filmlerin yüzey görüntüleri CamScan 54 serisi ve JEOL marka JSM-5600LV modeli SEM cihazları ile incelenmiştir.

$225 \pm 5$  °C taban sıcaklığında elde edilen CuInS<sub>2</sub> filminin 1000 ve 4000 kez büyütülmüş SEM fotoğrafları sırasıyla Şekil 6.3.a ve Şekil 6.3.b'de verilmektedir. 1000 büyütmedeki yüzey görüntüsü film yüzeyinde artıklar olduğunu, homojen bir dağılım olmadığını ve rasgele dağılmış büyük beyaz parçacıklar olduğunu göstermektedir. Kristallenme bu taban sıcaklığında kötü olmuştur. Yüzeydeki çatlaklar filmin bu taban sıcaklığında yüzeye iyi tutunmadığını göstermektedir. Bu çatlakların yeterli sıcaklığa ulaşmış atomize çözelti parçalarının neden olduğu düşünülmektedir. Bu taban sıcaklığı atomize çözeltiyi aktivasyon enerjisine ulaştırmamış olabilir. Bu durum bazı bölgelerde kimyasal bağ oluşmamasına ve çatlaklar bulunmasına neden olmuş olabilir. Ayrıca film yüzeyinde, beyaz rasgele dağılmış tanelere rastlanmıştır. Bu tanelerin, düşük taban sıcaklığından dolayı buharlaşmamış çözelti damlacıklarının yüzeye çökmesiyle oluştuğu düşünülmektedir. Film yüzeyi homojen bir dağılım göstermemektedir. Yüzeyin Şekil 6.3.b'de 4000 kez büyütmedeki görüntüsü incelenirse büyülü ve küçülü rasgele dağılmış beyaz tanecikler ve çok az miktarda da siyah noktalara rastlanmaktadır. Beyaz noktaların yukarıda söylendiği gibi farklı büyüklükte çöken damlacıklardan oluştuğu düşünülmektedir. Siyah bölgelerin ise kristal oluşmamış çukurluklardan kaynaklandığı düşünülmektedir.

$250 \pm 5$  °C taban sıcaklığında elde edilen CuInS<sub>2</sub> filminin 1000 ve 4000

kez büyütülmüş SEM yüzey fotoğrafları sırasıyla Şekil 6.4.a ve Şekil 6.4.b'de görülmektedir. Şekil 6.4.a'da 1000 büyütmedeki yüzey görüntüsü incelenirse  $225\pm5$  °C taban sıcaklığında üretilen filmin yüzeyine göre çok daha iyi homojen dağılım gösterdiği görülmektedir. Yalnız film yüzeyinde çok az olsa rastgele dağılmış beyaz tanelere rastlanmaktadır. Beyaz tanelerin yeterli sıcaklığı alamadan tabana ulaşan ve tabana çöken çözelti damlacıklarından kaynaklandığı düşünülmektedir. Fakat bunlar çok az sayıdadır. Bazı bölgelerin daha koyu çıkışmasının sebebi ise hafif çukurluklardan kaynaklandığı düşünülmektedir. Bu çukurluklar Şekil 6.4.b'de 4000 büyütmedeki film görüntüsünde daha iyi görülmektedir. Bu taban sıcaklığında üretilen filmlerde çatlaklar kaybolmuş beyaz tanelerin sayısı büyük ölçüde azalmış ve siyah bölgeler çok az ortaya çıkmıştır.

$275\pm5$  °C taban sıcaklığında elde edilen CuInS<sub>2</sub> filminin 1000 ve 2000 kez büyütülmüş SEM fotoğrafları sırasıyla Şekil 6.5.a ve Şekil 6.5.b'de verilmektedir. Bu taban sıcaklığında üretilen filmin 1000 ve 2000 büyütmedeki görüntüleri incelenirse homojen bir yapı göze çarpmaktadır. 1000 büyütmedeki görüntüde beyaz büyük lekeler, çatlaklar ve koyu noktalar tamamen kaybolmuştur. Yüzeydeki homojen dağılımının sebebinin bu taban sıcaklığında üretilen filmin aynı yönelime sahip tanelerden ve iyi kristalize olmasından ileri geldiği düşünülmektedir. x-ışınları difraksiyonu analizi de bu yorumu desteklemektedir.

%10 Zn ilaveli CuInS<sub>2</sub> filminin 750 kez büyütmedeki SEM yüzey görüntüsü Şekil 6.6.a'da, 5000 kez büyütmedeki SEM yüzey görüntüsü Şekil 6.6.b'de görülmektedir.  $275\pm5$  °C taban sıcaklığında üretilen CuInS<sub>2</sub> filminin oldukça homojen çıkan yüzeyinin, yapıya %10 Zn ilave edince bozulduğu ve rastgele dağılmış beyaz taneler olduğu görünmektedir. Filmin x-ışınları kırınım desenlerine bakılırsa farklı kristal sistemleri ve birçok yönelikler olduğu görünmektedir. Farklı kristal sistemleri yapıda farklı bileşikler dolayısıyla farklı bağ uzunlıklarının olduğu anlamına gelmektedir. Yapıda birbirinden farklı kristal sisteminin bulunması film yüzeyinin homojenliğini bozmaktadır. Ayrıca film yüzeyinde koyu noktaların bulunması bazı bölgelerde film oluşmadığını ve film kalınlığının homojen olmadığını göstermektedir.

%20 Zn ilaveli CuInS<sub>2</sub> filminin 750 kez büyütmedeki SEM yüzey

görüntüsü Şekil 6.7.a'da, 5000 kez büyütmedeki SEM yüzey görüntüsü Şekil 6.7.b'de görülmektedir. Yapıya Zn ilave etme oranı arttıkça beyaz ve rastgele dağılmış tanelerin sayısının oldukça arttığı görülmektedir. Bu durum iyi bir kristallenme olmadığını ve yapıda çok sayıda kristal sistemi ve yönelimi olduğunu göstermektedir. Yapıya Zn ilave ettikçe dört farklı elementin farklı birleşme ve bileşik oluşturma olasılığı artmıştır. Bu durumun yüzey homojenliğini bozduğu düşünülmektedir. Filmin x-ışınları kırınım deseni de incelenirse üst üste binmiş birçok pike rastlanılır. Filmde göze çarpan bir nokta ise beyaz tanelerin çoğaldığı ve birbirlerine bazı bölgelerde oldukça yaklaştığıdır. %20 Zn ilavede de film kalınlığının homojen olmadığı gözlenmiştir.

%30 Zn ilaveli CuInS<sub>2</sub> filminin 750 kez büyütmedeki SEM yüzey görüntüsü Şekil 6.8.a'da, 5000 kez büyütmedeki SEM yüzey görüntüsü de Şekil 6.8.b'de görülmektedir. %30 Zn ilave edilmiş film yüzey görüntüsü hemen hemen %20 Zn ilave edilmiş filmin yüzey görüntüsü ile benzer çıkmıştır. X-ışını kırınım desenleri %20 ve %30 Zn ilaveli filmlerin birbirlerine yakın olduklarını desteklemektedir. Bu yapı da homojen değildir ve iyi bir kristallenme görülmektedir.

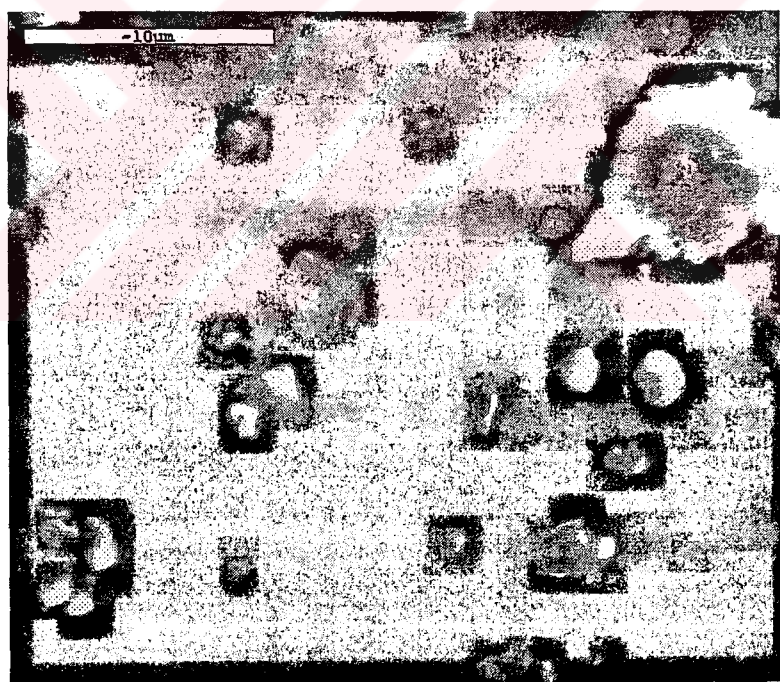
%40 Zn ilaveli CuInS<sub>2</sub> filminin 500 kez büyütmedeki SEM yüzey görüntüsü Şekil 6.9.a'da, 5000 kez büyütmedeki SEM yüzey görüntüsü de Şekil 6.9.b'de görülmektedir. %40 Zn ilavede durum tamamen değişmiştir. Yüzey sarmal şekilde bir örgü şeklini almıştır. Yüzeyde azda olsa rastgele dağılmış beyaz tanelere de rastlanmıştır. Beyaz tanelerin yüzeye çöküp tortulaşmış çözelti damalacıklarından kaynaklandığı düşünülmektedir. Yüzeyin sarmal örgü şeklinde olmasının sebebi ise ortamda çok sayıda bulunan Zn atomlarının diğer yapıların arasına girerek, sıkışıp yapıyı bozmasından kaynaklandığı düşünülmektedir. X-ışını kırınım deseni de net ve keskin herhengi bir pike rastlanmaması bu yorumu desteklemektedir.

%50 Zn ilaveli CuInS<sub>2</sub> filminin 500 kez büyütmedeki SEM yüzey görüntüsü Şekil 6.10.a'da, 5000 kez büyütmedeki SEM yüzey görüntüsü de Şekil 6.10.b'de görülmektedir. Bu görüntüler sarmal örgütlerin küçüldüğünü ve yapının iyice bozulduğunu göstermektedir. Şekil 6.10.b'de 5000 kez büyütmedeki yüzey görüntüsü incelenirse beyaz tanelerin kendi aralarında bazı kimyasal bağlar

yaptığı ve bazı bölgelerde belirgin koyu yerlerin olduğu görülmektedir. Bu durumun sebebinin, Zn ilave etme oranı yarıya ulaştığı zaman, dört farklı elementin, yapıların arasına sıkışarak homojenliği tamamen bozmasından kaynaklandığı düşünülmektedir.

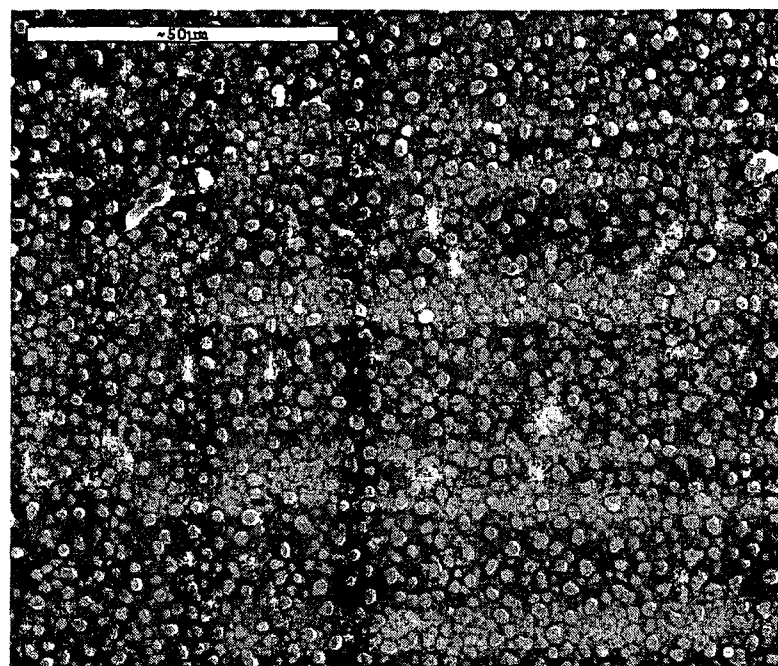


(a)

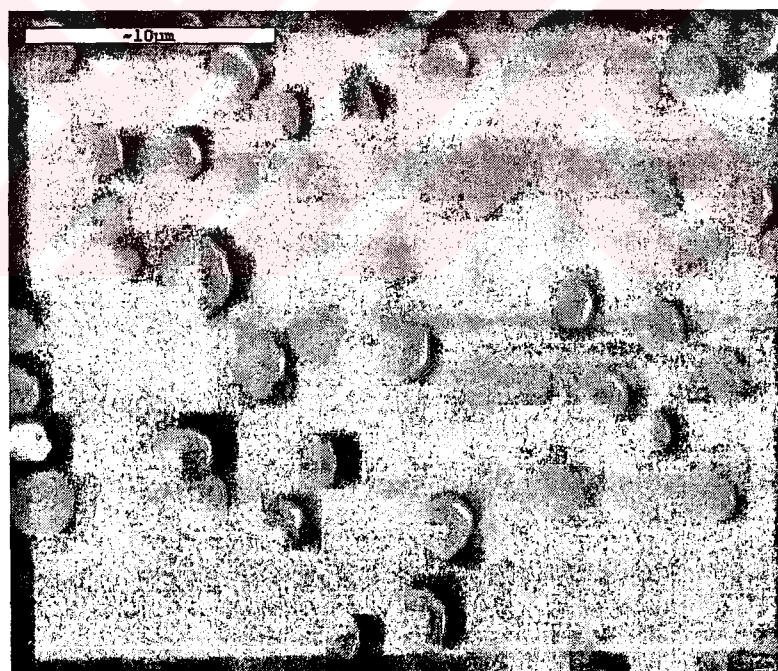


(b)

Şekil 6.3.  $225 \pm 5$  °C taban sıcaklığında elde edilen CuInS<sub>2</sub> filminin (a) 1000 (b) 4000 kez büyütülmüş SEM görüntülerleri

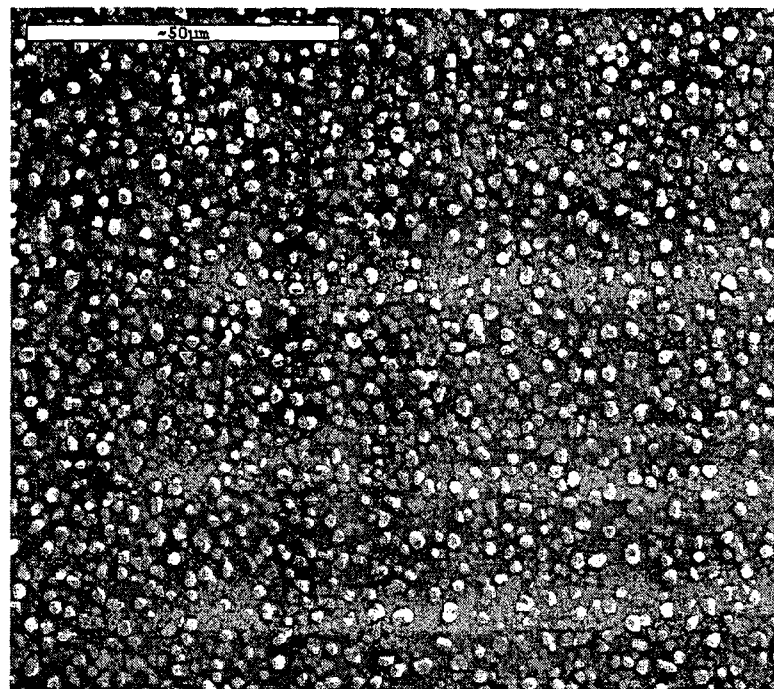


(a)

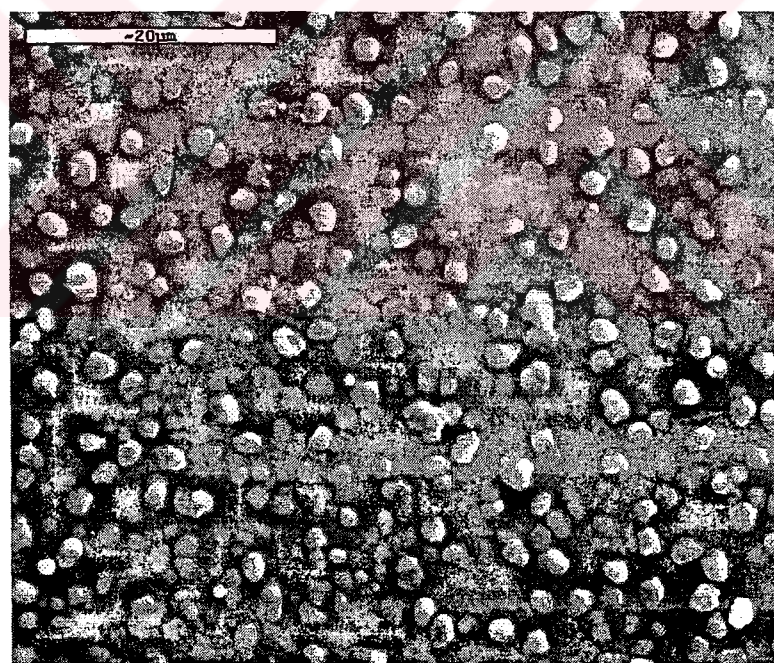


(b)

Şekil 6.4.  $250 \pm 5$  °C taban sıcaklığında elde edilen CuInS<sub>2</sub> filminin (a) 1000 (b) 4000 kez büyütülmüş SEM görüntülerı

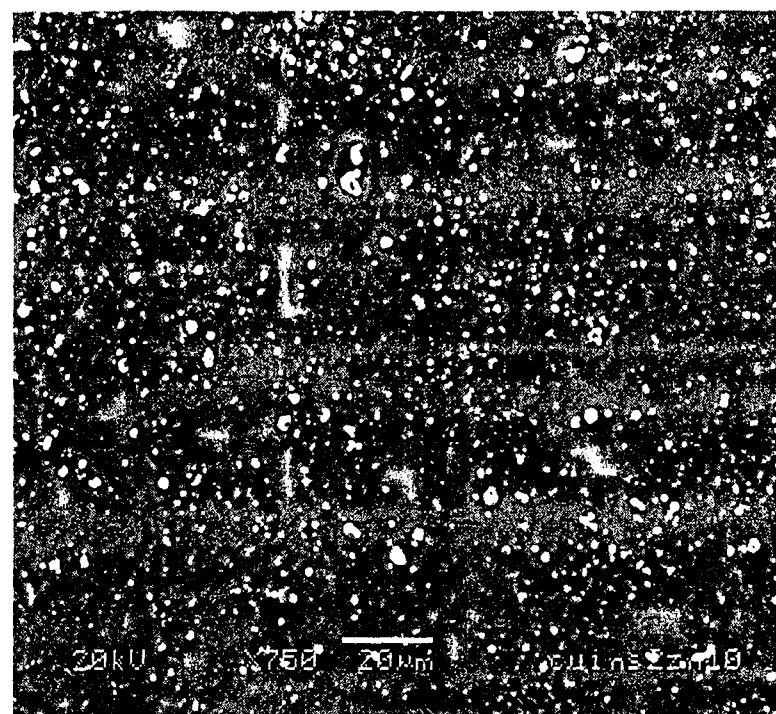


(a)

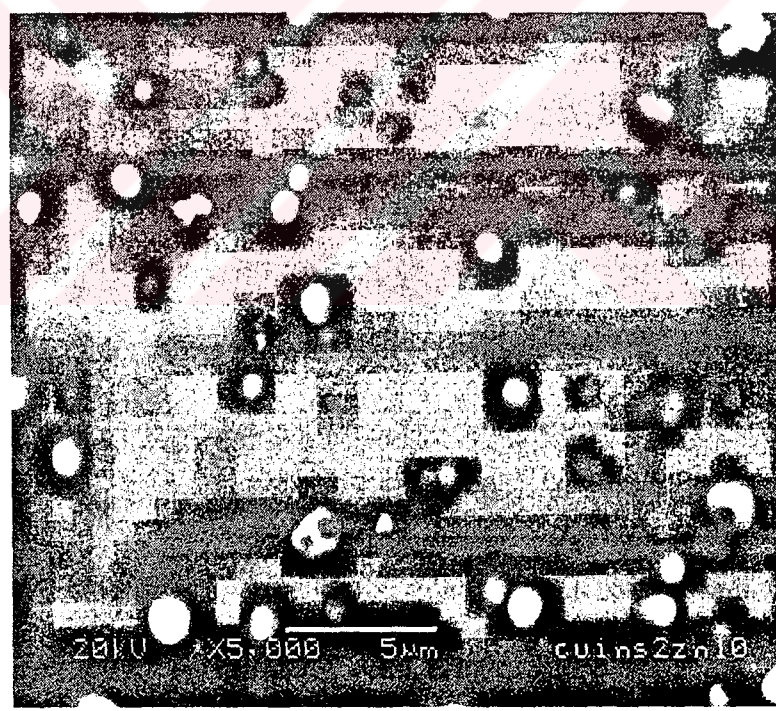


(b)

Şekil 6.5.  $275 \pm 5$  °C taban sıcaklığında elde edilen CuInS<sub>2</sub> filminin (a) 1000 (b) 2000 kez büyütülmüş SEM görüntüleri

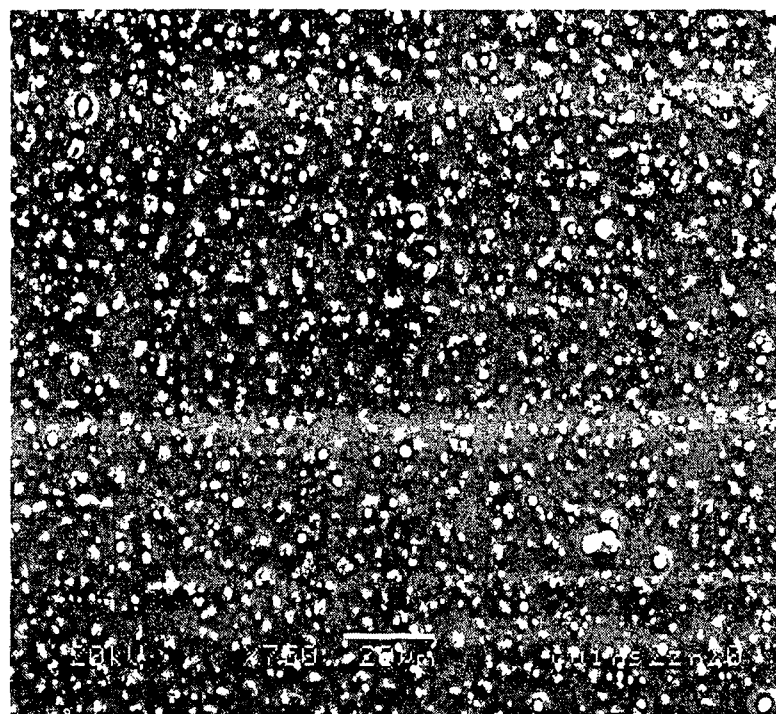


(a)

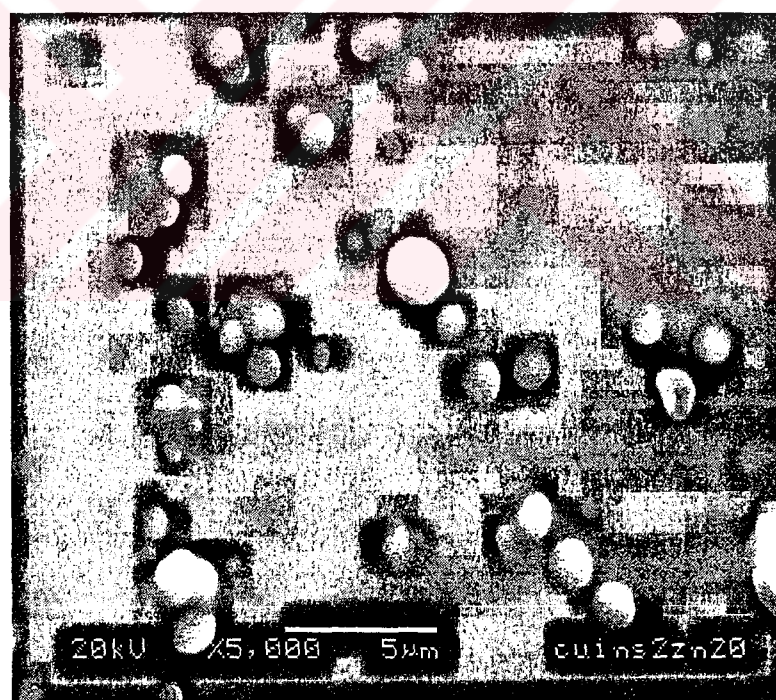


(b)

Şekil 6.6.  $275 \pm 5$  °C taban sıcaklığında elde edilen %10 Zn ilaveli CuInS<sub>2</sub> filminin (a) 750 (b) 5000 kez büyütülmüş SEM görüntülerı

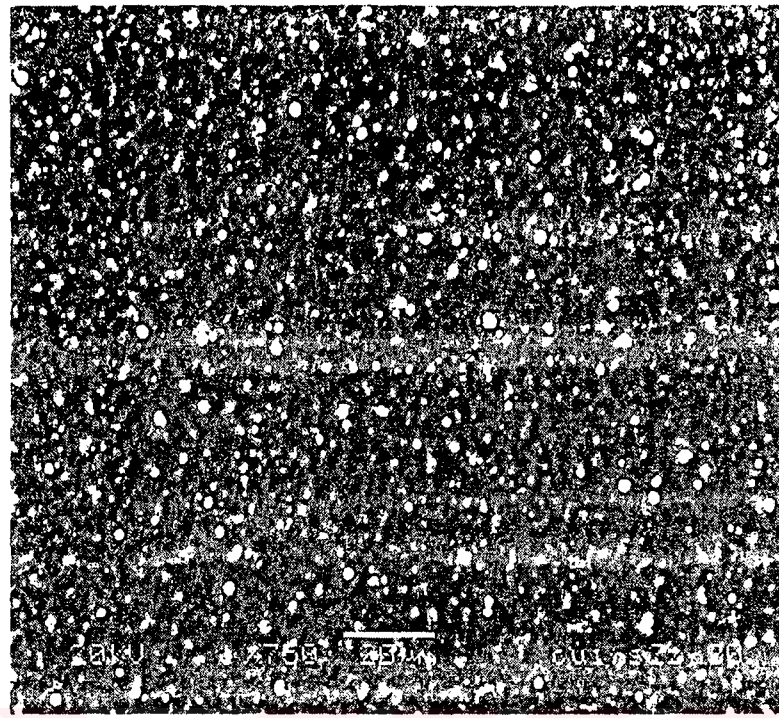


(a)

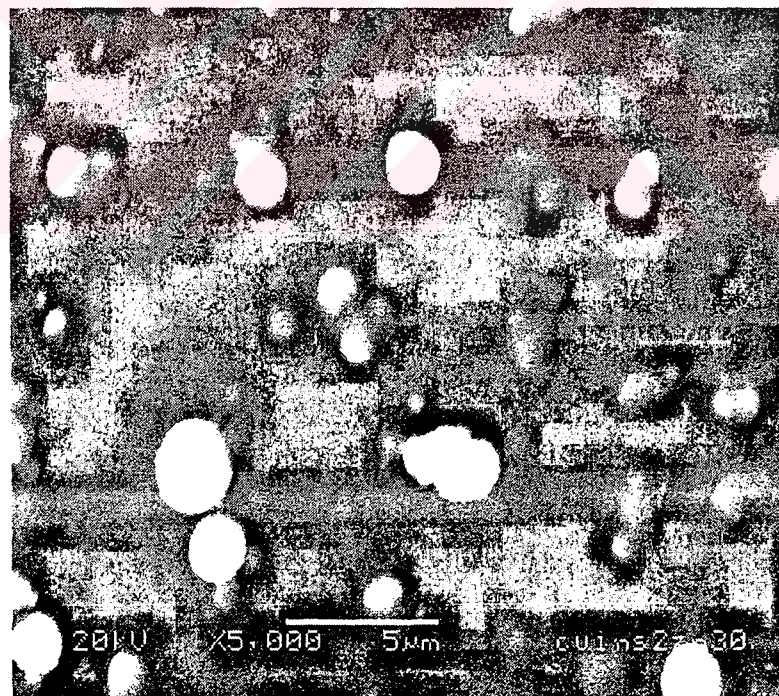


(b)

Şekil 6.7.  $275 \pm 5$  °C taban sıcaklığında elde edilen %20 Zn ilaveli CuInS<sub>2</sub> filminin (a) 750 (b) 5000 kez büyütülmüş SEM görüntüleri

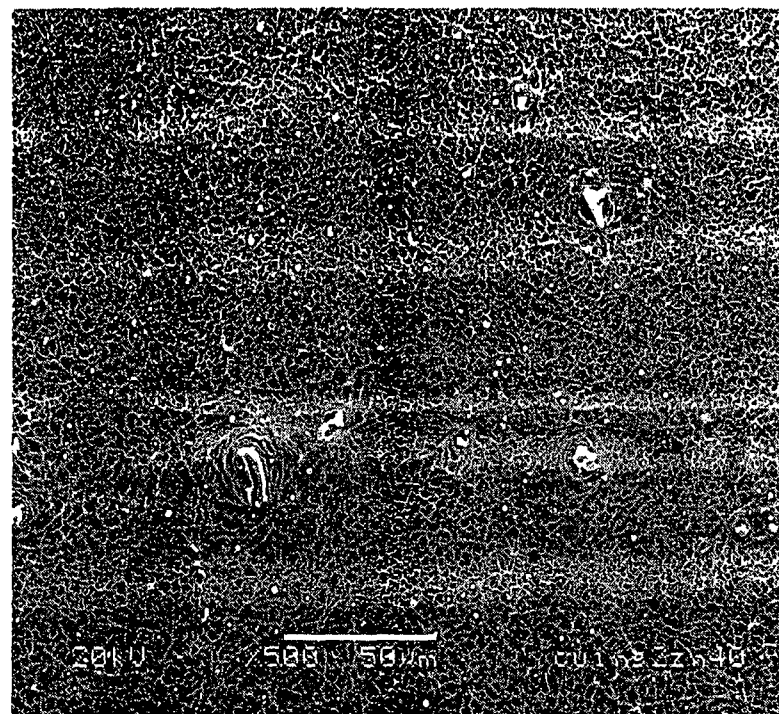


(a)

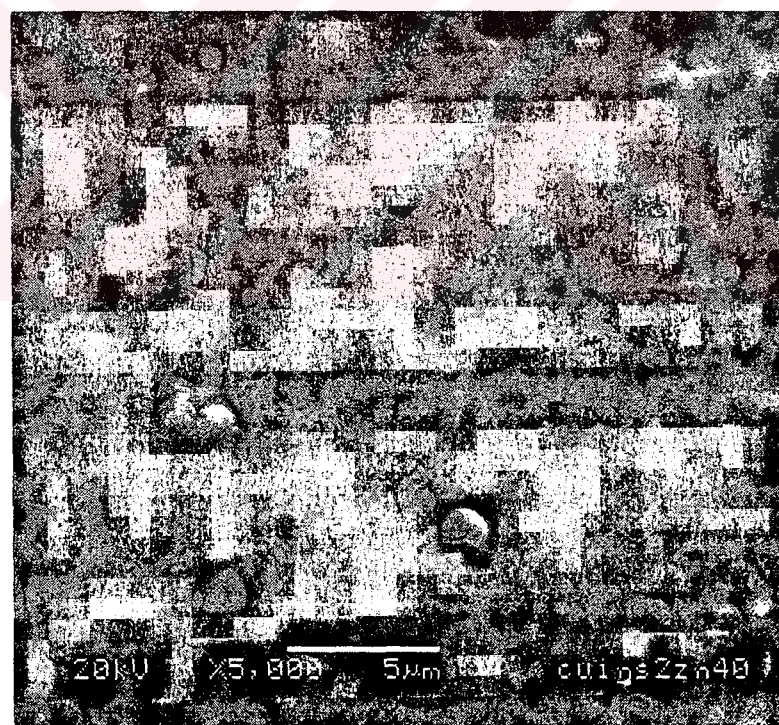


(b)

Şekil 6.8.  $275 \pm 5$  °C taban sıcaklığında elde edilen %30 Zn ilaveli CuInS<sub>2</sub> filminin (a) 750 (b) 5000 kez büyütülmüş SEM görüntülerı

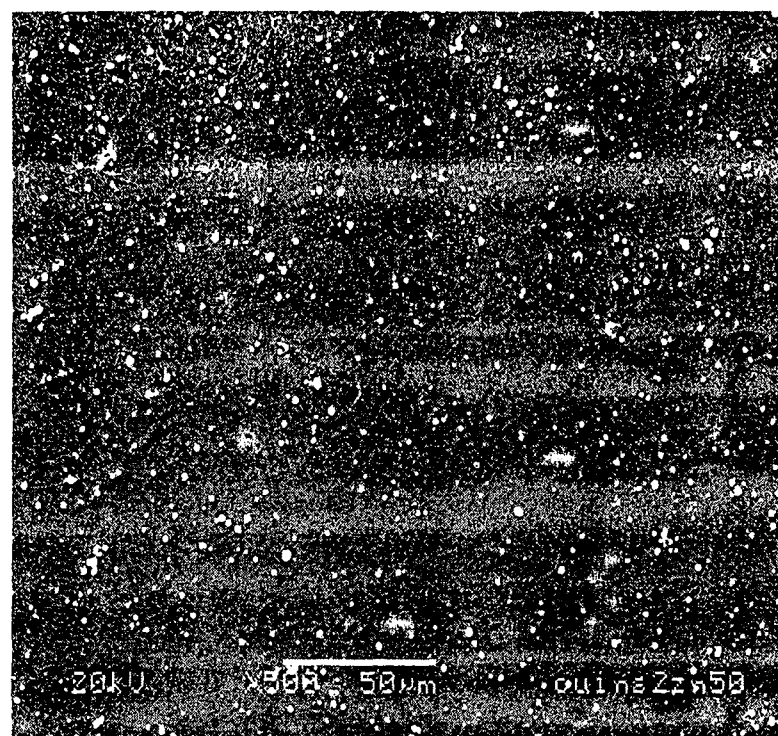


(a)

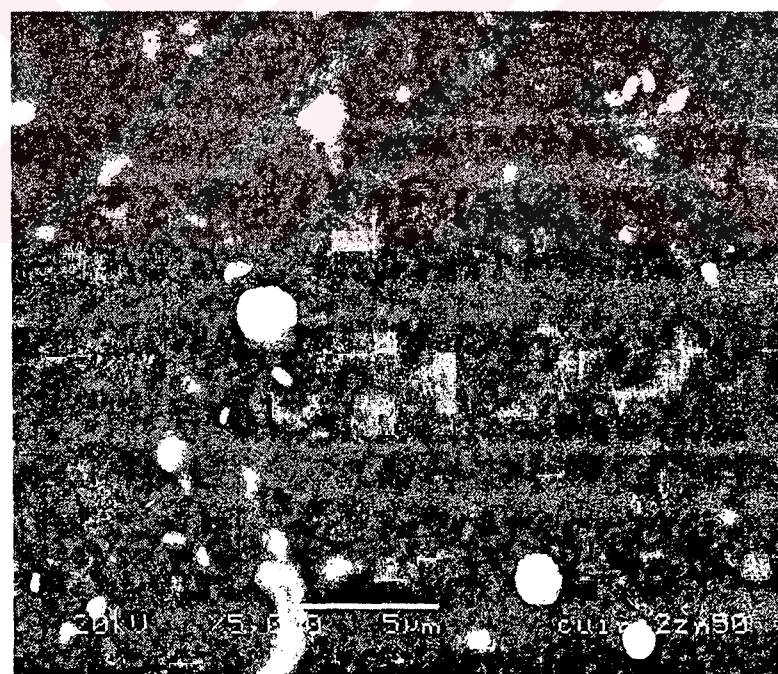


(b)

Şekil 6.9.  $275 \pm 5$  °C taban sıcaklığında elde edilen %40 Zn ilaveli CuInS<sub>2</sub> filminin (a) 500 (b) 5000 kez büyütülmüş SEM görüntülerı



(a)



(b)

Şekil 6.10.  $275 \pm 5$  °C taban sıcaklığında elde edilen %50 Zn ilaveli CuInS<sub>2</sub> filminin (a) 500 (b) 5000 kez büyütülmüş SEM görüntülerı

## 7. TARTIŞMA VE SONUÇ

Bu çalışmada CuInS<sub>2</sub> filmleri spray pyrolysis yöntemiyle 225±5 °C, 250±5 °C ve 275±5 °C taban sıcaklıklarında üretilmiş, CuInS<sub>2</sub> içerisinde %10-50 arasında değişen oranlarda Zn ilave edilerek 275±5 °C taban sıcaklığında filmler elde edilip bazı fiziksel özellikleri incelenmiştir.

CuInS<sub>2</sub> filmlerinin kalınlıklarının 1,39-1,59 μm arasında değiştiği ve çinko konsantrasyonunun artmasına bağlı olarak film kalınlıklarının arttığı belirlenmiştir.

Filmlerin iletim türü hot-probe yöntemiyle belirlenmiş ve tüm filmlerin p-tipi iletim gösterdiği saptanmıştır.

Cu(Zn)InS<sub>2</sub> filmlerinin oda sıcaklığında elde edilen absorpsiyon spektumlarından yararlanarak, absorpsiyon katsayıları, geçirgenlikleri, kırılma indisleri, yansımaya katsayıları, sönüüm katsayıları, dielektrik sabitleri ve yasak enerji aralıkları tespit edilmiştir.

CuInS<sub>2</sub> filmlerinin absorpsiyon katsayıları düşük dalga boylarına kaydıkça artış göstermiştir. 225±5 °C taban sıcaklığında üretilen filmin büyük dalga boylarında daha yüksek absorpsiyon katsayısına sahip olduğu belirlenmiştir. Çinko ilave oranı arttıkça yüksek dalga boylarının da absorpsiyon katsayısı düşmüştür ve kısa dalga boylarına kayarken CuInS<sub>2</sub> filmlerine göre daha erken yükseliş geçmiştür ve CuInS<sub>2</sub> filmlerinden daha büyük absorpsiyon katsayısına ulaşmıştır. Elde edilen filmlerin, çinko ilave oranıyla geçirgenlikleri uzun dalga boylarında artmış kısa dalga boylarına kaydıkça daha hızlı düşüş göstermiştir. Görünür bölgelerde geçirgenlik %30 civarında olmuştur. Yansımaya CuInS<sub>2</sub> filmleri için uzun dalga boylarında yüksek çıkmış ve kısa dalga boylarına kaydıkça hızlı olmayan bir doğrusal artış göstermiştir. Çinko ilave ettikten sonra ilave oranına bağlı olarak uzun dalga boylarında yansımaya düşmüş, kısa dalga boylarına gidildikçe hızlı artış göstermiş ve ilave öncesi üretilen filmlerin yansımalarını geçmiştir. Kırılma indisini CuInS<sub>2</sub> filmleri için uzun dalga boylarında üretim sıcaklığı düştükçe yükselmiş, kısa dalga boylarına kaydıkça doğrusal artışlar yapmıştır. Çinko ilave oranı arttıkça uzun dalga boylarında kırılma düşmüş, kısa dalga boylarına kaydıkça hızlı artışlar göstermiştir. CuInS<sub>2</sub> filmleri için sönüüm

katsayıları dalga boyuyla hemen hemen hiç değişmemiş ve uzun dalga boylarında yüksek değerlerde başlamıştır. Bu değerler 0,03-0,04 arasında değişmiştir. Çinko ilave oranı arttıkça sönüm katsayıları 0,01 civarına düşmüştür ve kısa dalga boylarında hızlı artışa geçerek 0,05 değerine ulaşmıştır. Elde edilen filmlerin sanal dielektrik sabitleri 0,0-1,5 arasında çıkmış ve gerçek dielektrik sabitleri yanında çok küçük kalmışlardır. CuInS<sub>2</sub> filmleri için dielektrik sabitleri 50 civarında çıkmış, kısa dalga boylarına kaydıkça artmış ve 150 değerini görmüştür. Filmlerde çinko ilave oranı arttıkça uzun dalga boylarında dielektrik sabiti 10'a kadar düşmüş, kısa dalga boylarına kaydıkça 300'ü geçmiştir.

Cu(Zn)InS<sub>2</sub> filmlerinin  $(\alpha h\nu)^2 \approx (h\nu)$  değişim grafiği çizilmiş ve buradan faydalananarak filmlerin direkt bant aralığına sahip oldukları belirlenmiştir. CuInS<sub>2</sub> filmleri için yasak bant aralığı 1,51-1,8 eV arasında değişmiştir. Çinko ilave ettiğten sonra yasak bant aralığı artmış ve 2,7 eV'ye kadar çıkmıştır.

Elde edilen Cu(Zn)InS<sub>2</sub> filmlerinin kristal yapıları X-ışını difraksiyonu verilerinden faydalananarak tespit edilmiştir. CuInS<sub>2</sub> için taban sıcaklığının artmasıyla doğru orantılı olarak daha iyi kristalleme olduğu ve kristalde (112) yöneliminin oranının arttığı belirlenmiştir. CuInS<sub>2</sub> filmlerinin tetragonal (chalcopyrite) yapıda oldukları saptanmıştır. CuInS<sub>2</sub> filmlerinin (112) yönelimine sahip yapılanma katsayısı değeri TC=2,294'te başlamış ve üretim sıcaklığı arttıkça TC=4,39'a kadar yükselmiştir. X-ışınları difraksiyonu sonuçlarına göre CuInS<sub>2</sub> filmlerinin kristalleme düzeyinin artan çinko konsantrasyonuna bağlı olarak bozulduğu ve amorf yapıya doğru kaydiği belirlenmiştir.

Cu(Zn)InS<sub>2</sub> filmlerinin SEM ile yüzey morfolojileri incelenmiştir. SEM fotoğraflarından, CuInS<sub>2</sub> filmlerinin hemen hemen homojen yapıya sahip oldukları görülmüştür. Artan Zn konsantrasyonuna bağlı olarak yüzey homojenliğinin bozulduğu ve kaybolduğu görülmüştür.

## KAYNAKLAR

- ABOU-HELAL, M.O. ve SEEGER, W.T., *Rare earth ion doped semiconducting films by spray pyrolysis*, Journal of Non-Crystalline Solids, **218**, 139-145 (1997).
- AKSAY, S., *Cu(Zn, Cd)In(S<sub>1-x</sub>Se<sub>x</sub>)<sub>2</sub> Yarıiletken Filmlerinin Bazı Fiziksel Özellikleri*, Doktora Tezi, Osmangazi Üniversitesi, Fen Bilimleri Enstitüsü, Eskişehir, Türkiye (1996).
- ALLISON, J., *Electronic Engineering Semiconductors and Devices*, McGraw-Hill Book Company (UK) Limited, London, England (1989).
- AL-ANI, S.K.J., AL-RAMADIN, Y., AHMAD, M.S., ZIHLIF, A.M., VOLPE, M., MALINEONICO, M., MARTUSCELLI, E. ve RAGOSTA, G., *The optical properties polymethylmethacrylate polymer dispersed liquid crystals*, Polymer Testing, **18**, 611-619 (1999).
- ARABACI, E., *ZnS Yarıiletken Bileşığının Spray Pyrolysis Yöntemi İle Elde Edilmesi*, Yüksek Lisans Tezi, Anadolu Üniversitesi, Fen Bilimleri Enstitüsü, Eskişehir, Türkiye (2001).
- ARSHAK, A., ZLEETNI, S. ve ARSHAK, K.,  *$\gamma$ -radiation Sensors Using Optical and Electrical Properties of Manganese phthalocyanine (MnPc) Thick film*, Sensors, **2**, 174-184 (2002).
- ATAY, F., *Cd<sub>1-x</sub>Ni<sub>x</sub>S Filmlerinin Elektriksel Optikal ve Yüzeysel Özelliklerinin İncelenmesi*, Doktora Tezi, Osmangazi Üniversitesi, Fen Bilimleri Enstitüsü, Eskişehir, Türkiye (2001).
- AYBEK, A.Ş., *Zn(In<sub>2</sub>S<sub>3</sub>)S Yarıiletken Filmlerinin Bazı Fiziksel Özellikleri*, Doktora Tezi, Osmangazi Üniversitesi, Fen Bilimleri Enstitüsü, Eskişehir, Türkiye (1996).
- BAHGAT, A.A., EL-SAMANOUDY, M.M. ve SABRY, A.I., *Optical and electrical properties of binary WO<sub>3</sub>-Pb<sub>3</sub>O<sub>4</sub> glasses*, Journal of Physics and Chemistry of Solids, **60**, 1921-1931 (1999).
- BEISER, A., *Modern Fiziğin Kavramları*, (çev. G. ÖNENGÜT), Akademi Yayınları, İstanbul, Türkiye (1997).
- BENRAMDANE, N., MURAD, W.A., MISHO, R.H., ZIANE, M. ve KEBBAB, Z., *A chemical method for the preparation of thin films of CdO and ZnO*, Materials Chemistry and Physics, **48**, 119-123 (1997).
- BİLGİN, V., *ZnO Filmlerinin Elektrik Optik Yapisal ve Yüzeysel Özellikleri Üzerine Kalay Katısının Etkisi*, Doktora Tezi, Osmangazi Üniversitesi, Fen Bilimleri Enstitüsü, Eskişehir, Türkiye (2003).
- BOUZIDI, A., BENREMDANE, N., NAKRELA, A., MATHIEU, C., KHELIFA, B., DESFEUX, R. ve COSTA, A.D., *First synthesis of vanadium oxide thin films by spray pyrolysis technique*, Materials Science&Engineering B, **B95**, 141-147 (2002).
- CORREA-LOZANO, B., COMNINELLIS, C. ve BATTISTI, A.D., *Preparation of SnO<sub>2</sub>-Sb<sub>2</sub>O<sub>5</sub> films by the spray pyrolysis technique*, Journal of Applied Electrochemistry, **26**, 83-89 (1996).
- CULLITY, B.D., *X-İşinleri Difraksiyonu*, (Çev.A.SÜMER), İstanbul Teknik Üniversitesi Yayınları, İstanbul, Türkiye (1996).

## KAYNAKLAR

- DURLU, T.N., *Katıhal Fiziğine Giriş*, Bilim Yayıncıları, Ankara, Türkiye (1996).
- EL-WAHABB, E.A., EL-SAMANOUDY, M.M. ve FADEL, M., *Effect of thickness and heat treatment on the electrical and optical properties of  $(Ge_2S_3)_x(Sb_2Se_3)_y$  thin films*, Applied Surface Science, **174**, 106-117 (2001).
- EL-ZAHED, H., *Optical absorption study of amorphous  $Cu_xGe_{20-x}T_{80}$  films as a function of composition*, Physica B, **307**, 95-104 (2001a).
- EL-ZAHED, H., *The effect of  $\gamma$ -doses on the optical band gap of  $AgInSe_2$  films*, Journal of Physics and Chemistry of Solids., **62**, 641-646 (2001b).
- EL-ZAHED, A., EL-KORASHY, A. ve RAHEM, M.A., *Effect of heat treatment on some of the optical parameters of  $Cu_9Ge_{11}T_{80}$  films*, Vacuum, **68**, 19-27 (2003).
- GAFFAR, M.A., EL-FADL, A.A. ve ANOOZ, S.B., *Electron irradiation-induced effects on optical spectra of  $(NH_4)_2ZnCl_4:x Sr^{+2}$  single crystals*, Crystal Resource Technology, **38**, 83-99 (2003).
- GÜRBULAK, B., *The optical investigation of  $TlGa_{0.999}Pr_{0.001}Se_2$  and  $TlGaSe_2$  single crystals*, Physica B, **B 293**, 289-296 (2001).
- GOOTZBERGER, A., HEBLING, C. ve SCHOCK, H.W., *Photovoltaic materials , history, status and outlook*, Materials Science and Engineering, **R 40**, 1-46 (2003).
- HAUG, F.J., *Development of Cu(In,Ga)Se<sub>2</sub> superstrate thin film Solar Cells*, Doktora Tezi, İsviçre Federal Enstitüsü, Zürih, İsviçre (2001).
- HE, Y.B., POLITY, A., ALVES, H.R., ÖSTERREICHER, I., KREIGSEIS, W., PFISTERER, D., MEYER, B.K. ve HAROT, M., *Structural and Optical Characterization of RF Reactively Sputtered CuInS<sub>2</sub> thin Films*, Thin Solid Films, **403-404**, 62-65 (2002).
- HE, Y.B., POLITY, A., GREGOR, R., PFISTERER, D., Osterreicher, I., HASSELKAMP, D. ve MEYER, B.K., *Characterization of RF reactively sputtered Cu-In-S thin films*, Physica B, **308-310**, 1074-1077 (2001).
- HERMANDEZ, J.G., GORLEY, P.M., HORLES, P.P., VARTSABYUK, O.M. ve VOROBIEV, Y.V., *X-Ray kinetic and optical properties of thin CuInS<sub>2</sub> films*, Thin Solid Films, **403-404**, 471-475 (2002).
- http-1: <http://www.courses.vcu.edu/PHYS320/pdf/7SolidState023.pdf>
- http-2: [http://faculty.eng.fiu.edu/~vllassov/3-1-Bonding\\_forces-slides.pdf](http://faculty.eng.fiu.edu/~vllassov/3-1-Bonding_forces-slides.pdf)
- http-3: <http://www.usafa.af.mil/dfp/classes/315/Readings/Solid%20State%20Primer.pdf>
- http-4: <http://www-rjn.physics.ox.ac.uk/cmplects/seiconnotes.pdf>
- http-5: <http://www.xray2000.f9.co.uk/Site3/history/history.htm>
- http-6: <http://www.vigyanprasar.com/dream/mar2001/X-Rays.htm>
- http-7: <http://www-g.eng.cam.ac.uk/125/achievements/oatley/history.html>
- http-8: <http://www-g.eng.cam.ac.uk/125/achievements/mcmullan/mcm.htm>
- http-9: <http://eep.stanford.edu/seepweb/cee373/lect9.pdf>
- http-10: <http://www.ub.rug.nl/eldoc/dis/science/a.b.kloosterman/c2.pdf>

## KAYNAKLAR

- ITO, K. ve HASHIMOTO, Y., *CuInS<sub>2</sub> Thin Film Solar Cells*, İpap Books, 1, 342-347 (2001).
- KANEKO, S., YAGI, I., MURAKAMI, K. ve OKUYA, M., *Thermal decomposition of di-n-butyltin (IV) diacetate as a precursor for the spray pyrolysis deposition of oriented SnO<sub>2</sub> thin films*, Solid State Ionics, 141-142, 463-470 (2001).
- KITTEL, C., *Katıhal Fiziğine Giriş*, (Çev. B. KARAOĞLU), Güven, İstanbul, Türkiye (1996).
- KUL, M., *Cd(In<sub>2</sub>S<sub>3</sub>)S Yarıiletken filmlerinin Bazı Fiziksel Özellikleri*, Doktora Tezi, Osmangazi Üniversitesi, Fen Bilimleri Enstitüsü, Eskişehir, Türkiye (1996).
- KODOLBAŞ, A.O., *Empirical calibration of the optical gap in a-Si<sub>1-x</sub>C<sub>x</sub>:H(x<0.20) alloys*, Materials Science Engineering B, B98, 161-166 (2003).
- KRUNKS, M., BIJAKINA, O., VEREMA, T., MIKLI, V. ve MELLIKOV, E., *Structural and optical properties of sprayed CuInS<sub>2</sub> films*, Thin Solid Films, 338, 125-130 (1999).
- KRUNKS, M., KIJATKINA, O., REBANE, H., OJA, I., MIKLI, V. ve MERE, A., *composition of CuInS<sub>2</sub> thin films prepared by spray pyrolysis*, Thin Solid Films, 403-404, 71-75 (2002).
- KRUNKS, M., MIKLI, V., BIJAKINA, O., REBANE, H., MERE, A., VAREMA, K. ve MELIKOV, E., *Composition and structure of CuInS<sub>2</sub> films prepared by spray pyrolysis*, Thin Solid Films, 361-362, 61-64 (2000).
- MANDALE, A.B., SATHAYE, S.D. ve PATIL, K.R., *Preparation of Q-copper indium sulfide thin films by liquid-liquid interface reaction technique (LLIRT)*, Materials Letters, 55, 30-33 (2002).
- MATSUSHITA, H. ve KATSUI, A., *Cu-Based Ternary and Quaternary Compounds Derived from Chalcopyrite-Rule and Their Crystal Growth*, İpap Books, 1, 62-67 (2001).
- McKELVEY, J.P., *Solid State and Semiconductor Physics*, Harper & Row Ltd., London, UK (1966).
- MIYAKE, H. ve HIRPNATSU, K., *THM Growth of Cu-III-VI<sub>2</sub> Chalcopyrite Semiconductors*, İpap Books, 1, 45-50 (2003).
- MOON, W.S., WHOO, S.I. ve PARK, S.B., *Preparation and characterization of lead zirconate titanate thin films by liquid source misted chemical deposition*, Thin Solid Films, 359, 77-81 (2000).
- NASSER, S.A., AFİFY, H.H., EL-HAKİM, S.A. ve ZAYED, M.K., *Structural and physical properties of sprayed copper-zinc oxide films*, Thin Solid Films, 315, 327-335 (1998).
- NATSUME, Y. ve SAKATA, H., *Electrical and optical properties of zinc oxide films post-annealing in H<sub>2</sub> after fabrication by sol-gel process*, Materials Chemistry and Physics, 78, 170-176 (2002).
- NIKIFOROV, K.G., *Magnetically Ordered Multinary Semiconductors*, Progress in Crystal Growth and Characterization of Materials, 1-104 (1999).

## KAYNAKLAR

- NOMURA, S. ve ENDO, S., *Lattice dynamics of the chalcopyrite and defect stannite phases in the Cu-(In,Ga)-Se system*, Thin Solid Films, **237**-239, 2014-2018 (2002).
- OLVERA, M.L., MALDONODO, A. ve ASOMOZA, R., *Propiedades fisicas de peliculas delgadas de CuInS<sub>2</sub> obtenidas mediante la tecnica de rocio quimico*, Sociedad Mexicana de Ciencias de Superficies y de Vacio, **8**, 109-113 (1999).
- ORAL, M., *Güneş Pilleri*, İlker Matbaası, İzmir, Türkiye (1979).
- ORTEGA-LOPEZ, M. ve MORALES-ACEVEDO, A., *Characterization of CuInS<sub>2</sub> thin films for solar cells prepared by spray pyrolysis*, Thin Solid Films, **330**, 96-101 (1998).
- PATIL, P.S., *Versality of chemical spray pyrolysis technique*, Materials Chemistry and Physics, **59**, 185-198 (1999).
- REDDY, K.T.R. ve CHALAPATHY, R.B.V., *Structural Properties of CuGa<sub>x</sub>In<sub>1-x</sub>Se<sub>2</sub> Thin Films deposited by Spray Pyrolysis*, Crystal Resource Technology, **34**, 127-132 (1999).
- RIYAD, N. ve AHMAD-BITAR., *Effect of doping and heat treatment on the photoluminescence of CdS films deposited by spray pyrolysis*, Renewable Energy, **19**, 579-586 (2000).
- SCHONMAN, J., *Nanostructured materials in solid state ionics*, Solid State Ionics, **135**, 5-19 (2000).
- SEEBER, W.T., ABOU-HELAL, M.O., BARTH, S., BEIL, D., HÖCHE, T., AFIFY, H.H. ve DEMEIAN, S.E., *Transparent semiconducting ZnO:Al thin films prepared by spray pyrolysis*, Materials Science Semiconductor Processing, **2**, 45-55 (1999).
- SIEFERT, W., *Properties of Thin In<sub>2</sub>O<sub>3</sub> and SnO<sub>2</sub> Films Prepared by Corona Spray-Pyrolysis and a discussion of the Spray-Pyrolysis Process*, Thin Solid Films, **121**, 275-282 (1984).
- SINGH, J., *Semiconductor Optoelectronics*, McGraw-Hill, Inc, USA (1995).
- SKOOG, D.A., HOLLER, F.J. ve NIEMAN, T.A., *Enstrümental Analiz İlkeleri*, (Çev.E.KILIÇ, F.KÖSEOĞLU, H.YILMAZ), Bilim Yayınları, Ankara, Türkiye (1998).
- SU, D.S., NEUMANN, W. ve GIERSIG, M., *Structure Modifications in chalcopyrite semiconductor*, Thin Solid Films, **361**-362, 218-222(2000).
- SZE,S.M., *Semiconductor Devices*, John Wiley&Sons, New York, USA (1985).
- TURAN, S., AÜ, *Mühendislik Fakültesi, Doç.Dr. Ders El Notları*, Eskişehir, Türkiye.
- WEINSTEIN, I.A., ZATSEPIN, A.F. ve KORTOV, V.S., *Effect of structural disorder and Urbach's rule in binary lead silicate glasses*, Journal of Non-Crystalline Solids, **279**, 77-87 (2001).
- YAMAMOTO, T., LUCK, I.V. ve SCHEER, R., *Materials design of n-type CuInS<sub>2</sub> thin films using Zn or Cd species*, Applied Surface Science, **159**-**160**, 350-354 (2000).

## KAYNAKLAR

ZHAOCHUN, Z., RUTWU, P. ve NIANYI, C., *Artifical neural network prediction of the bant gab and melting point of binary and ternary compound semiconductors*, Materials Science&Engineering B, **B54**, 149-152 (1998).

ZOR, M., *Spray-Pyrolysis ile elde edilen AgInS<sub>2</sub> Bileşığının Bazı Fiziksel Özellikleri*, Doçentlik Tezi, Hacettepe Üniversitesi, Ankara, Türkiye (1982).